

Národní Ústav Duševního Zdraví (NUDZ)

Témata zapojení studentů do výzkumu

BIODEN, 24. 5. 2024

Fakulta elektrotechnická,
České vysoké učení technické v Praze



1

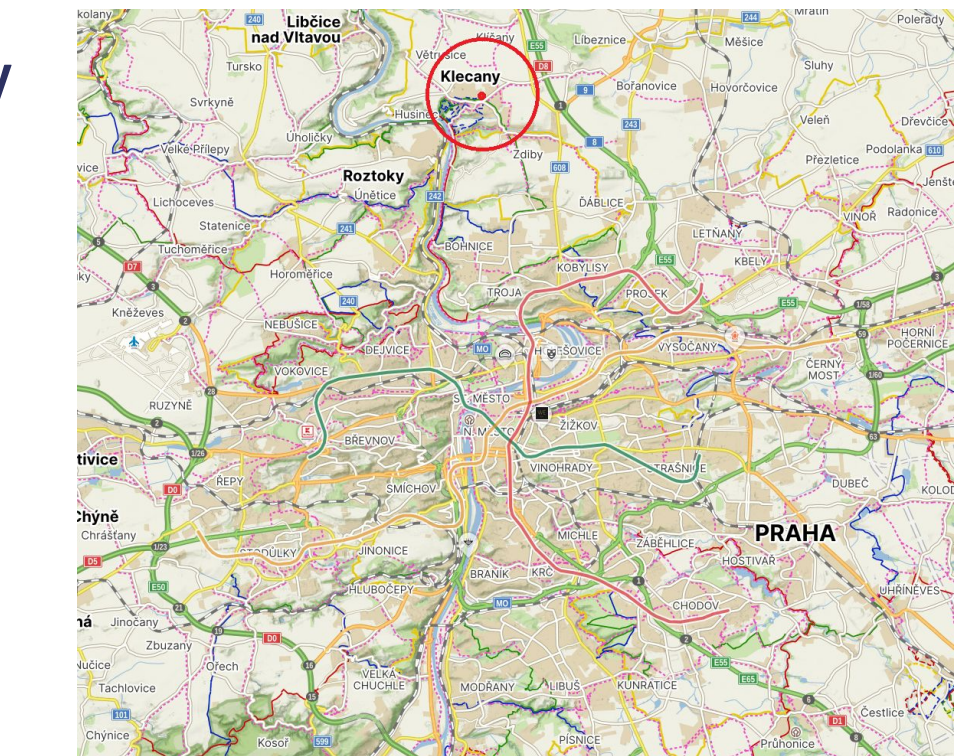
Úvod: o NÚDZ

NÚDZ

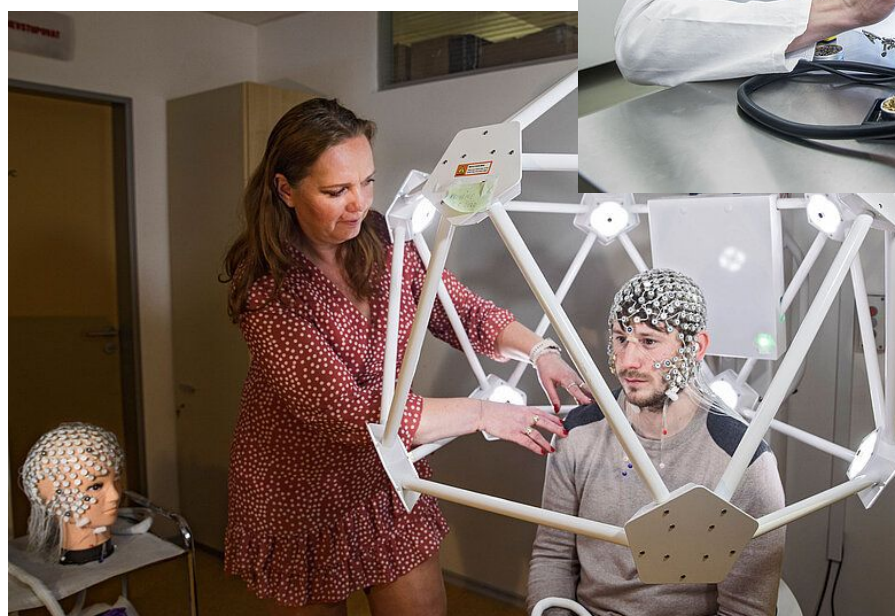


Základní info

- Veřejná výzkumná instituce
- Spadá pod Ministerstvo Zdravotnictví ČR
- Vznikl 1.1.2015 (financováno EU/ OP VaVPI)
- Navazuje na Psychiatrické centrum Praha
- Sídlí v Klecanech u Prahy
- 15 min bus z Kobylis
- www.nudz.cz



ROLE NÚDZ



1 Výzkumná činnost

- Od preklinického výzkumu (animální modely, laboratoře), přes klinický (MRI, hdEEG, polysomnografie, farmakologie), až po epidemiologii, výzkum služeb a aplikovaný výzkum

2 Klinická péče

- Psychiatrická ambulance
- 3 lůžková oddělení (úzkostné, poruchy nálady a psychotické poruchy)
- Denní stacionáře

3 Výuka

- Zejm. studenti 3.LF UK, Celoživotní vzdělávání lékařů
- Přednášky, konference, odborné semináře a workshopy

Measurable psychiatry

Eduard Bakštein

Goals

Development of objective biomarkers and tools for clinical decision making and therapy in psychiatry

Example problems

- **Prediction of functional outcome** in first-episode schizophrenia
- Long-term clinical status monitoring in bipolar disorder using actigraphy and self-assessment

ESO Study

Early-stage Schizophrenia Outcome

- Longitudinal study, 3 visits
- First-episode schizophrenia patients

~500, 260 and 70 patients at each visit

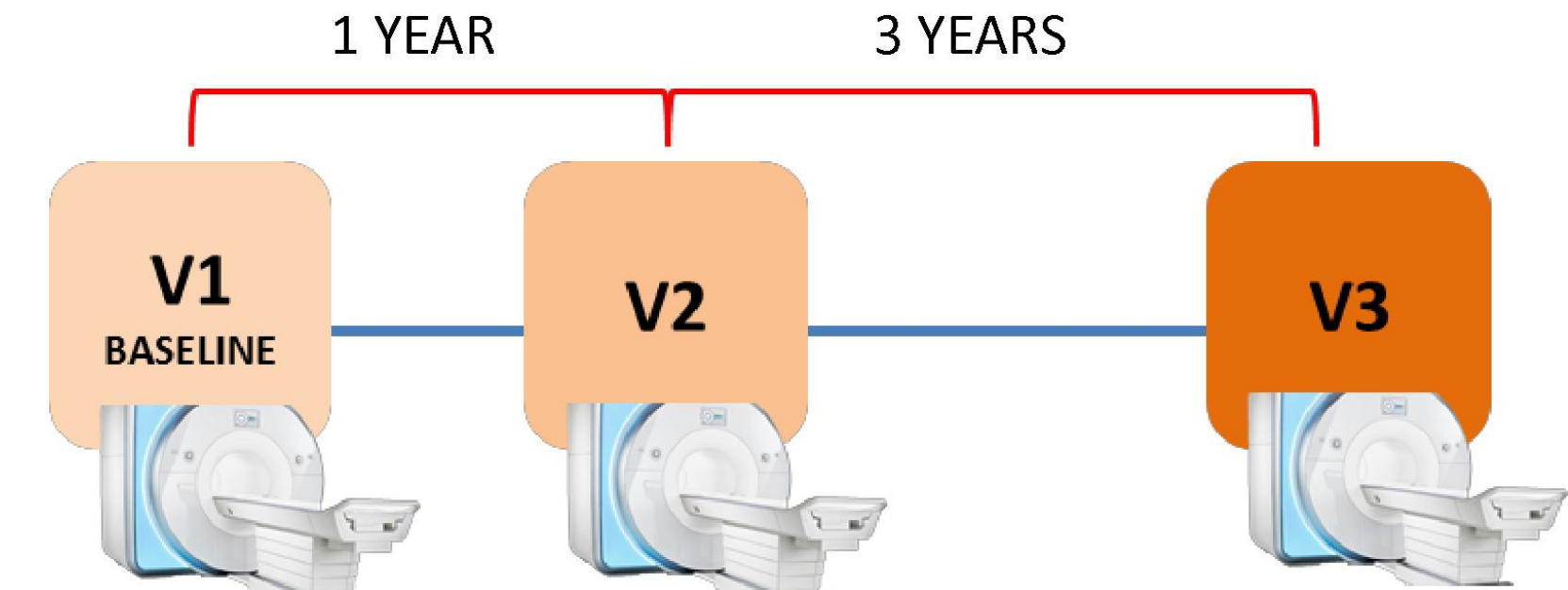
~300 Healthy controls

Hundreds of variables, Multiple modalities

MRI (structural, fMRI, DWI),

Sociodemography, Clinical scales

Laboratory measurements



Main aims

- 1 Understanding clinical heterogeneity of schizophrenia (phenotyping)
- 2 Development of tools for clinical decision-making
- 3 Integrated care center for patients with first episode of schizophrenia

Clinical episode prediction

Bipolar disorder:

- Study AKTIBIPO: 369 patients,
- follow-up 18+ months
- wrist-worn actigraphy and self-assessments in a mobile application
- (collaboration with a startup Mindpax)

Schizophrenia:

- Digital monitoring with self-assessments
- Automatic alerts sent to psychiatrist
- ILIA multi-centric RCT study starting in Q3/2024 in Germany (PI prof. Stefan Leucht), 60+60 patients



Contact us

Eduard.Bakstein@nudz.cz

Eduard.Bakstein@**fel.cvut.cz**

<http://neuro.felk.cvut.cz>

Time Perception

Tereza Nekovářová

Time perception

One "internal clock" vs. Several timers

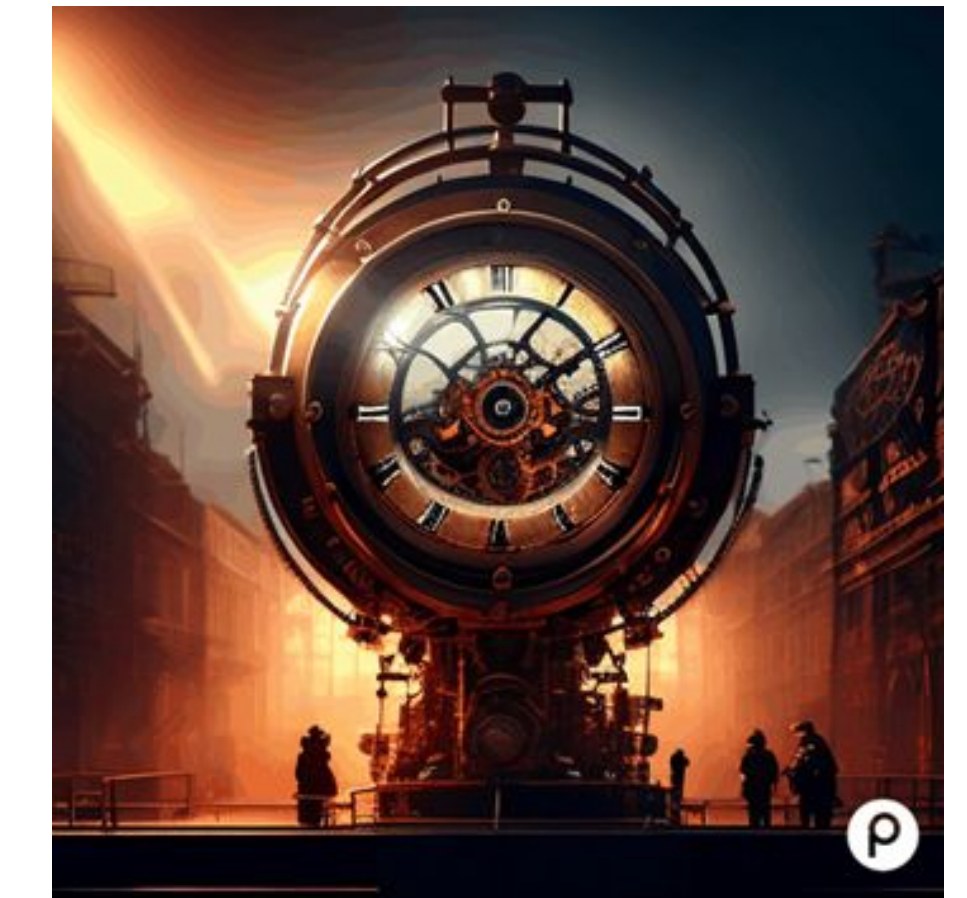
Structures dedicated purely for timekeeping vs. secondary functions

Time receptors

Time on different scales

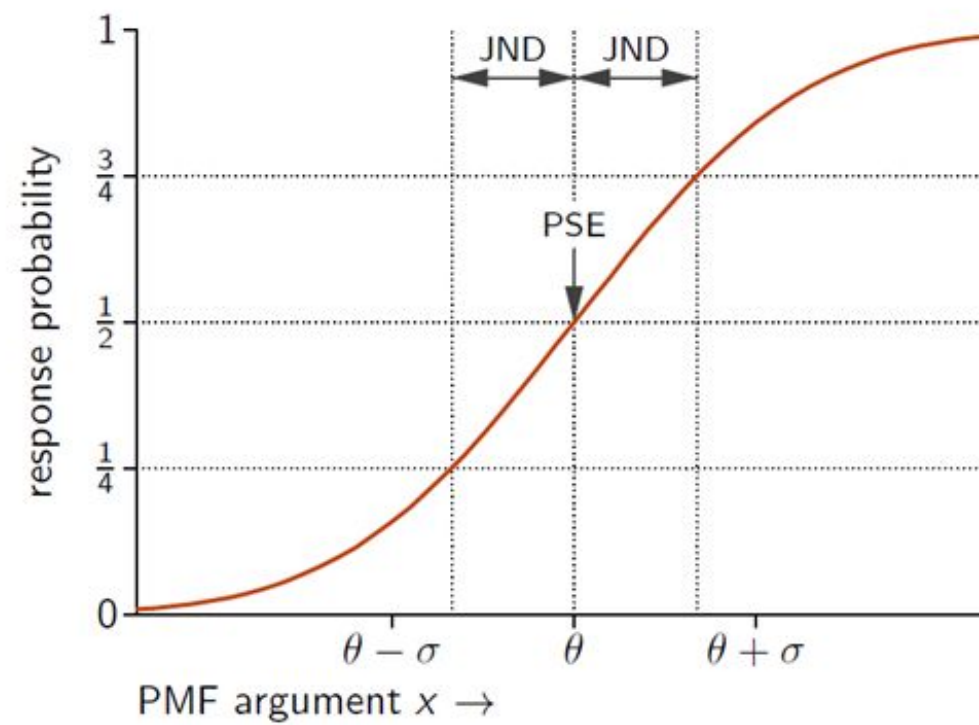
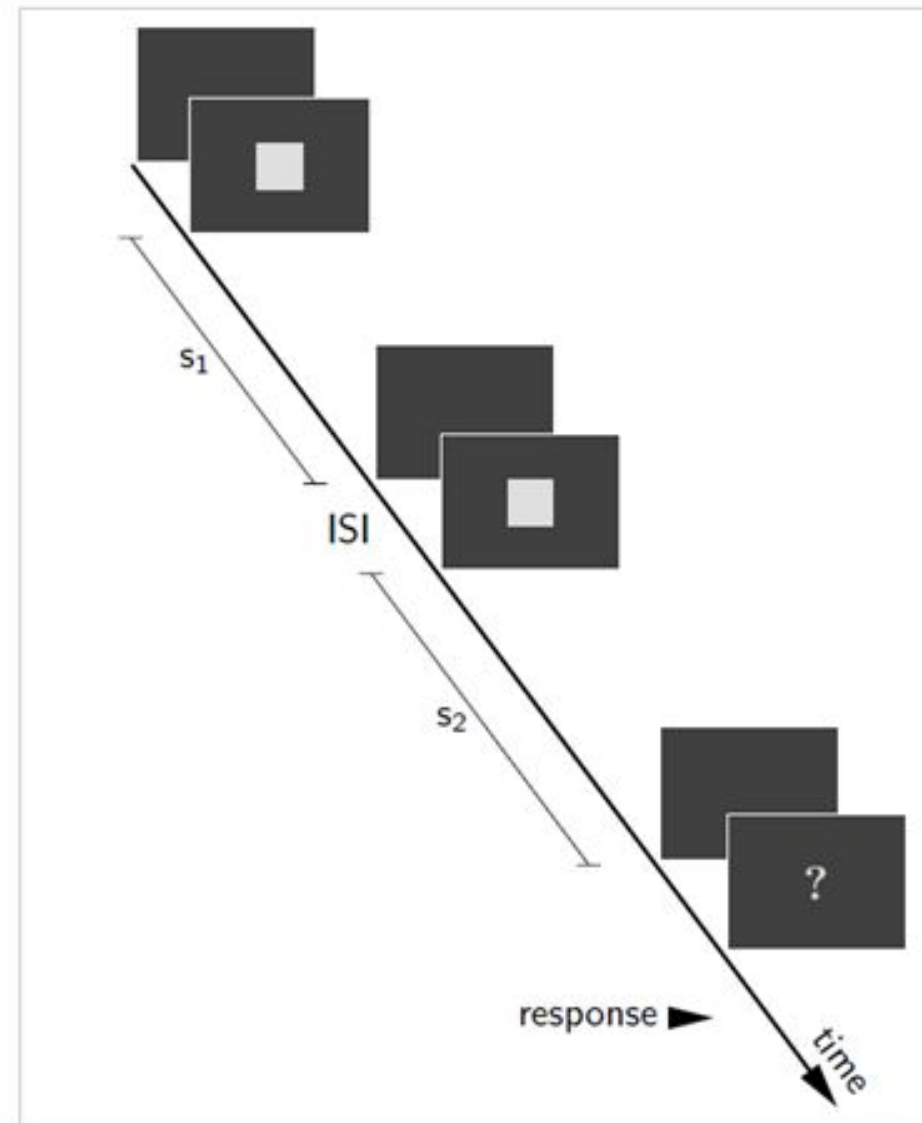
Different neurobiological and cognitive mechanisms

Interval timing



Time perception

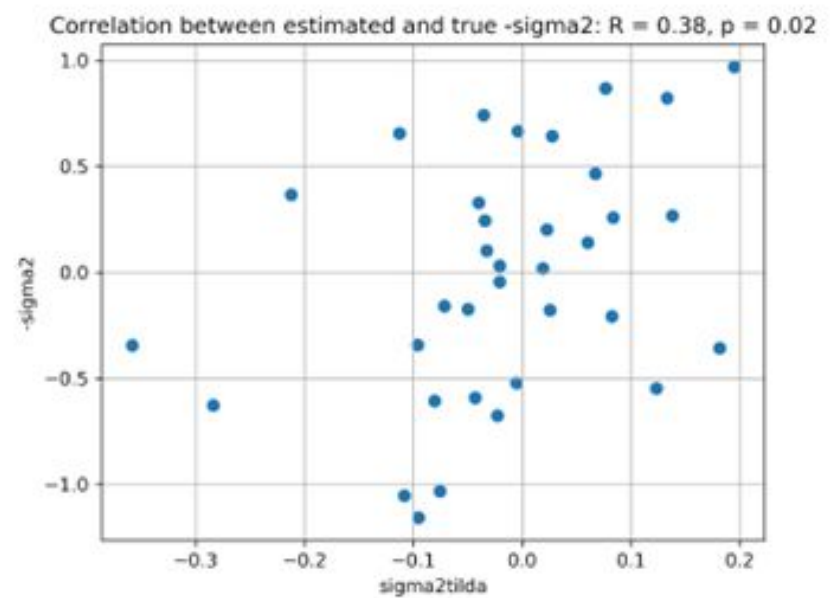
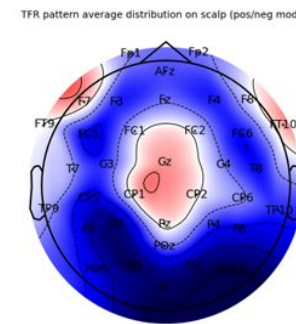
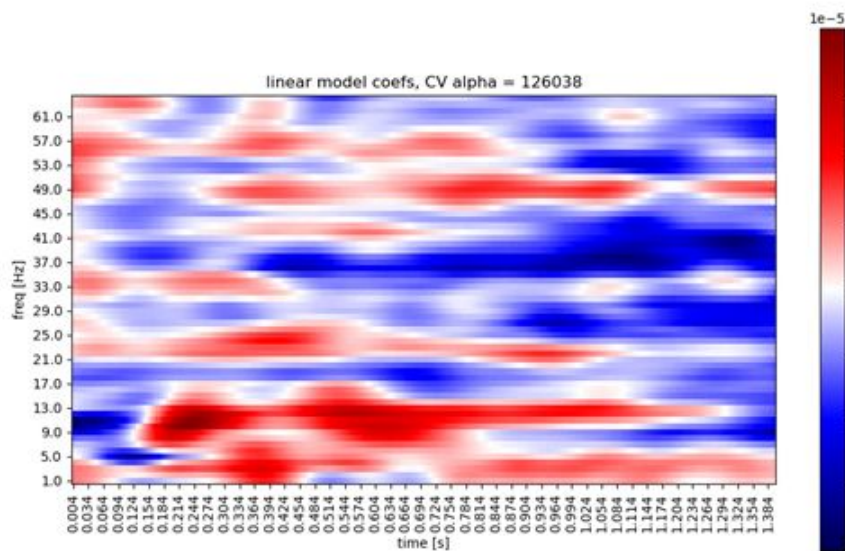
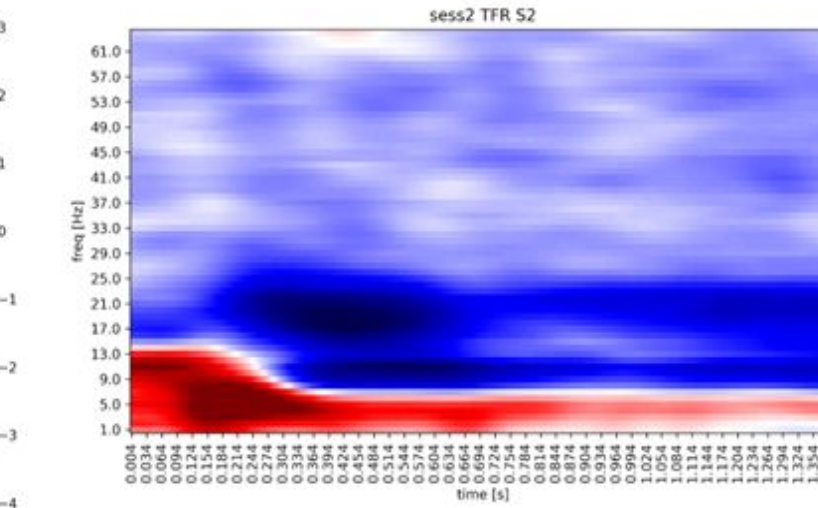
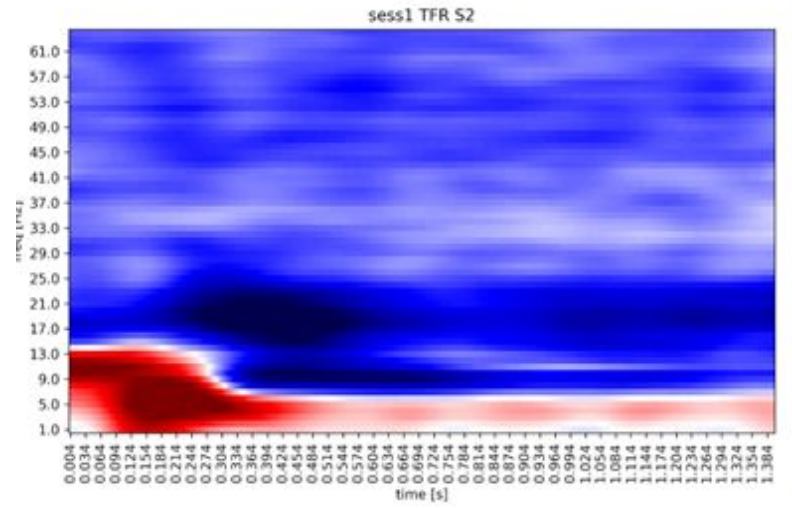
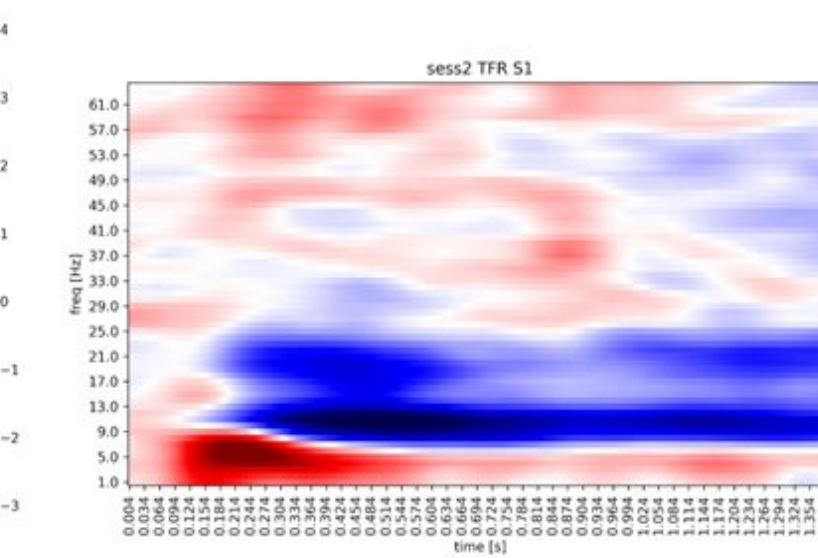
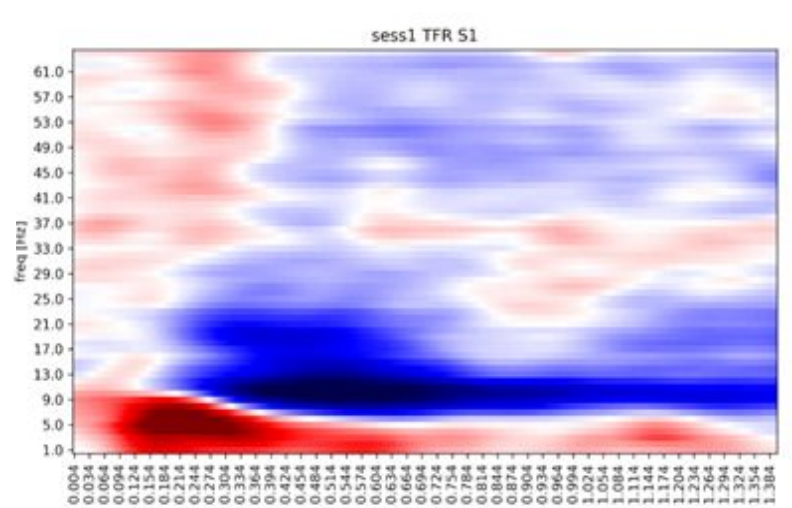
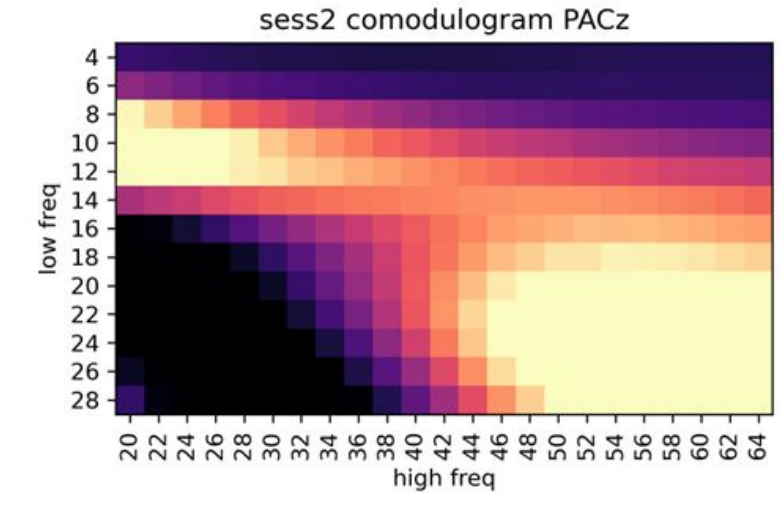
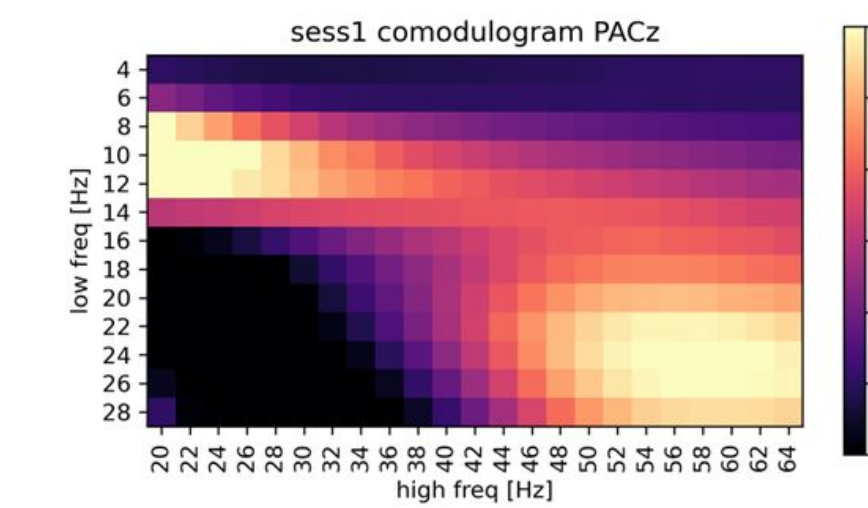
Intrinsic oscillatory brain activity as a basis for time perception



Θ : Point of subjective equality ("accuracy")
 σ : a measure of the "unsharpness" of the discrimination ("precision"/"acuity")

Time perception

Stimulus 1



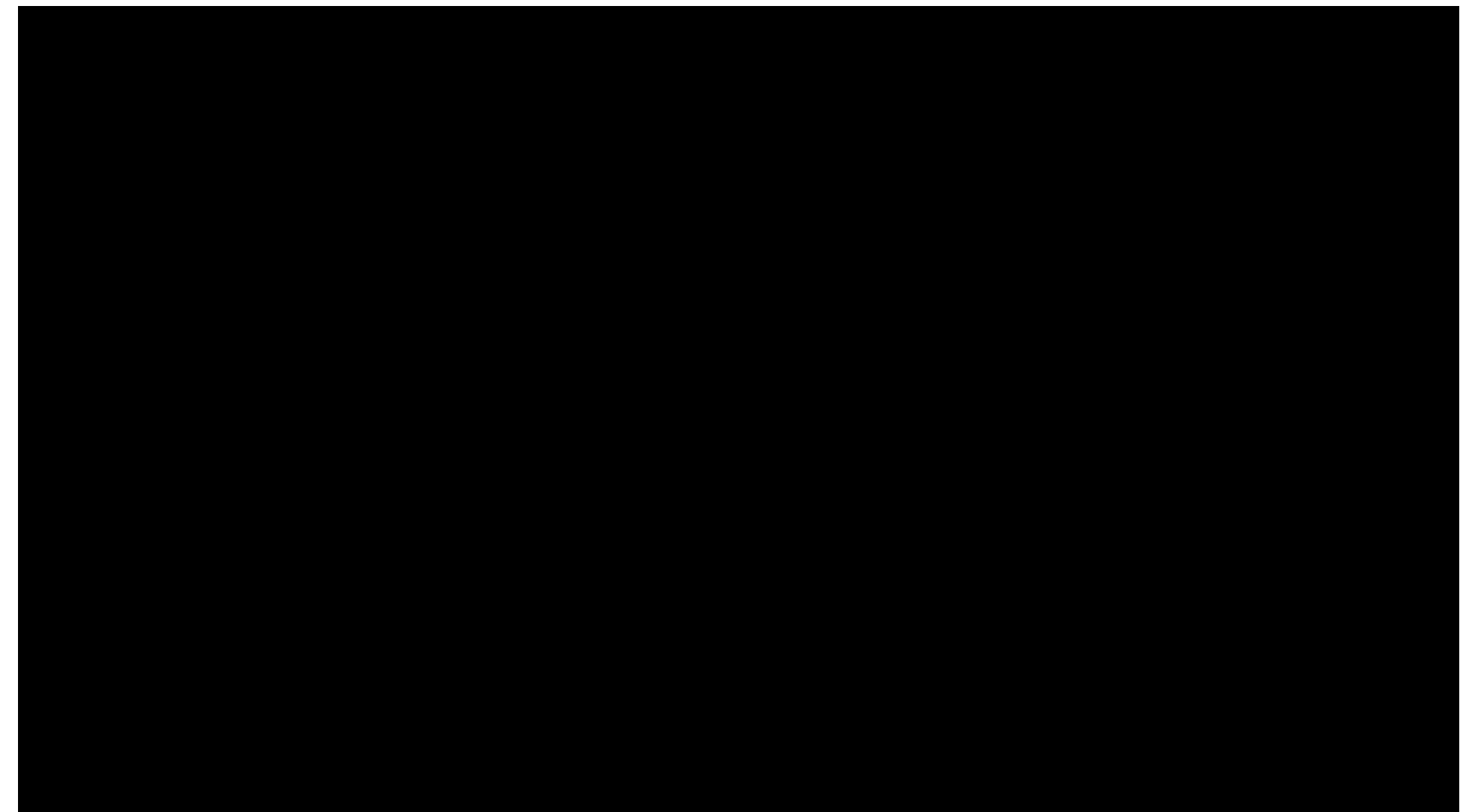
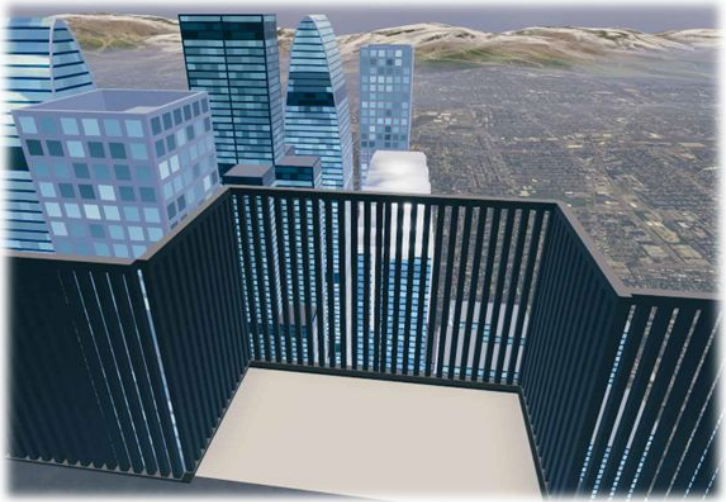
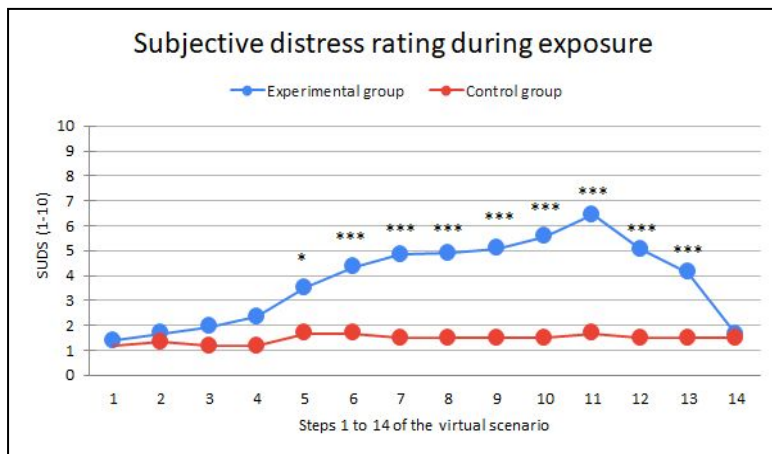
Virtual Reality

Iveta Fajnerová

Exploring the link between objective physiological measures (ECG,EDA) & subjective anxiety ratings during VRET in phobias

VRET - Exposure therapy in VR

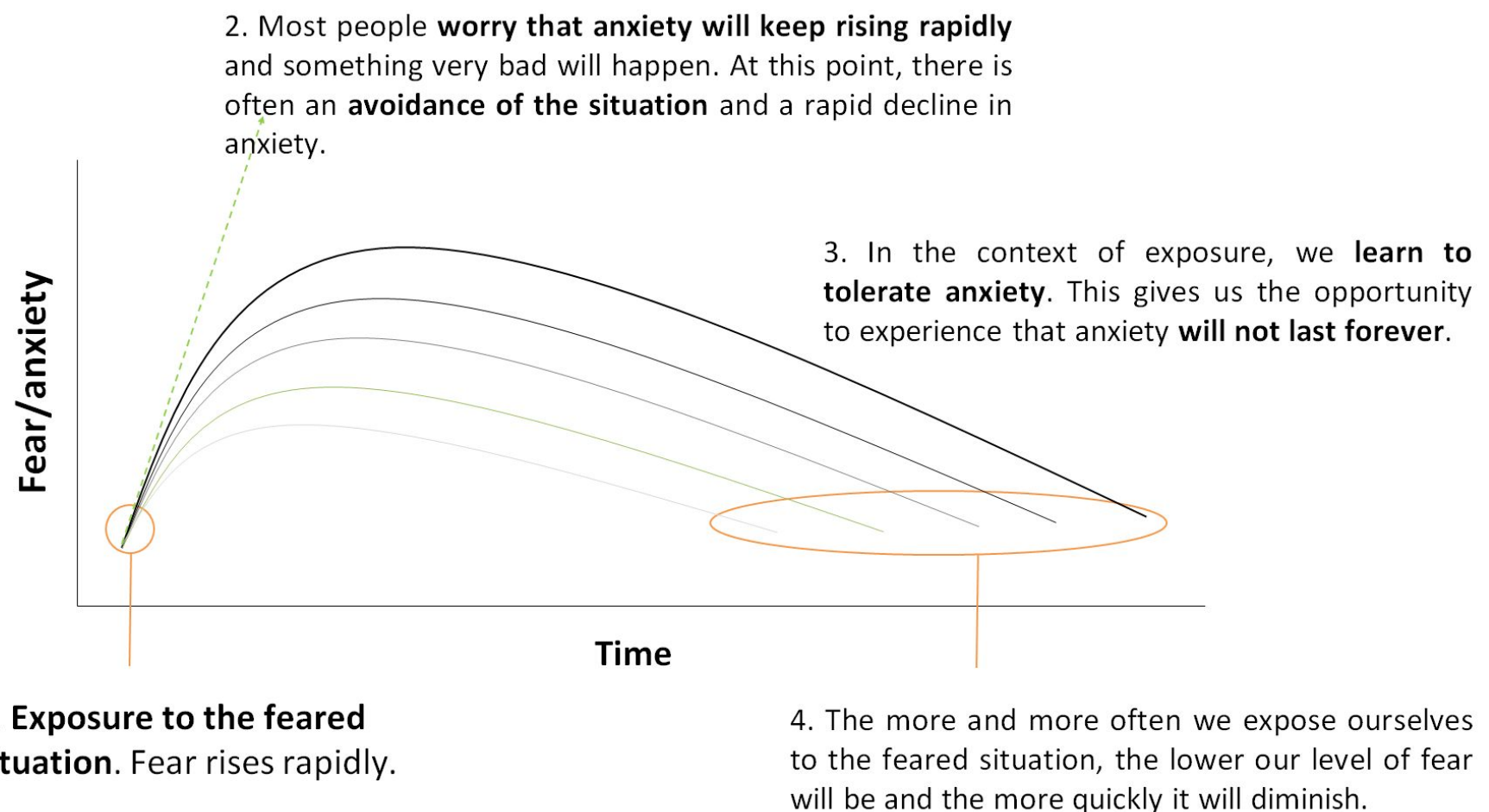
- exposure to feared stimulus
- Various exposure scenarios
- Increasing intensity
- **subjective ratings**



Exploring the link between objective physiological measures (ECG,EDA) & subjective anxiety ratings during VRET in phobias

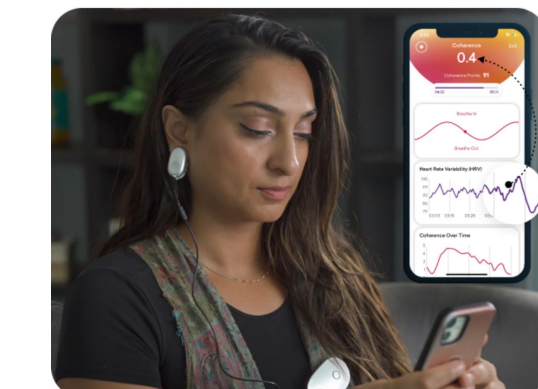
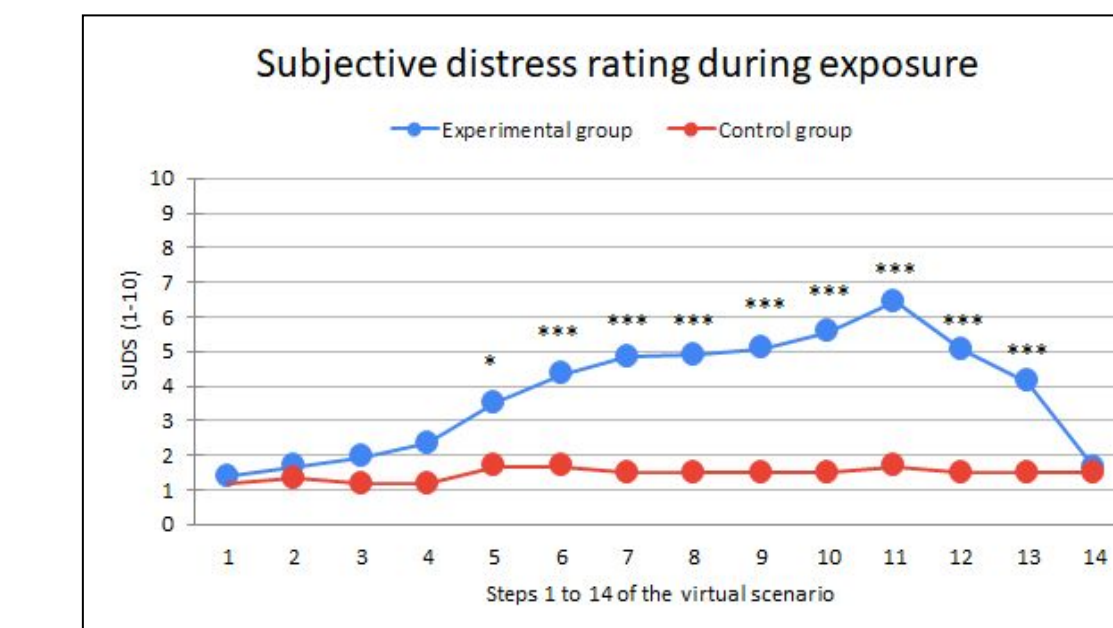
VRET - Exposure therapy in VR

- Various exposure scenarios
- Increasing intensity within/between sessions
- **subjective ratings in specific events**
- **recording of position/orientation and all interactions in VR**



Physiological response during VR exposure

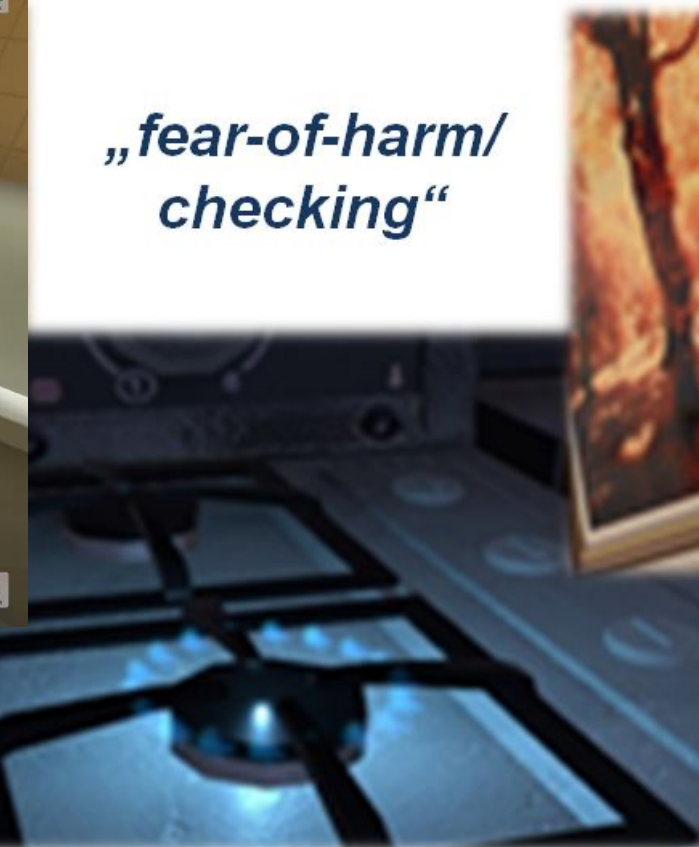
- Indicators of cognitive load (stress response).
- CL assessment using HRV, EDA....
- AI methods for **Artifacts removal** and automatic detection/**identification of the targeted events** provoking fear response
- **Comparing subjective and objective responses**



Behavioral activity during virtual exposure in obsessive-compulsive disorder (heatmaps, position tracking, interactions in VR environments)



“contamination/
cleaning”



„fear-of-harm/
checking“



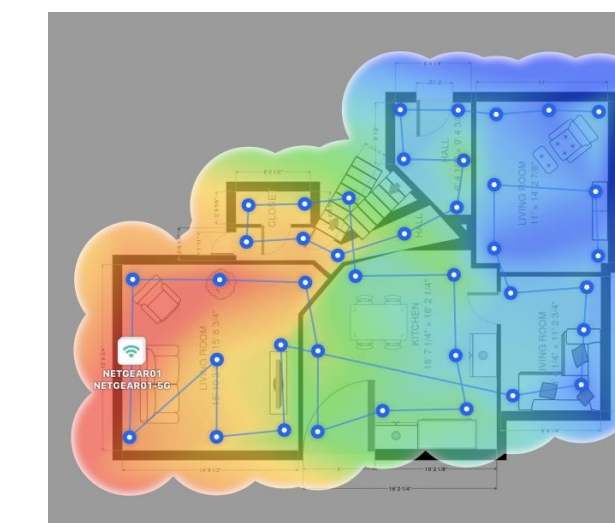
“symmetry”



“hoarding”



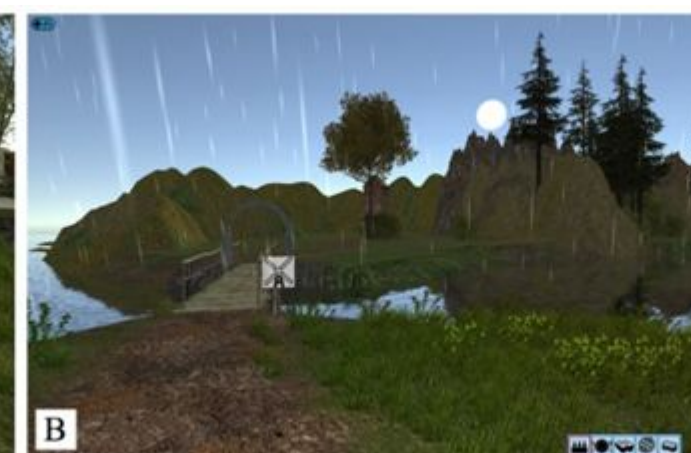
Fajnerová, I., Francová, A., Taranzová, K. et al.. *Virtual Reality* 27, 2691–2701 (2023)



Behavioral analysis & Heatmaps>

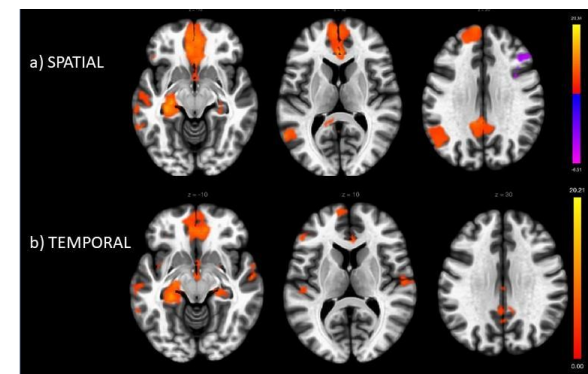
- position based
- interactions with virtual objects
- reactivity to individual stimuli (attention, vs. interactions)
- time spent in compulsive activity, number of repetitions

Neural correlates of episodic memory retrieval: MRI-based functional connectivity



- Healthy and schizophrenic subjects
- Training in 3-5 islands (collecting 5 objects per island)**
- Functional connectivity (fMRI) during memory retrieval**

1. *object selection*
2. *selection of location (original order)*
3. *object placed in the original position*



Design combining events and blocks of activity (decision making, movement, interactions)

Preclinical Research

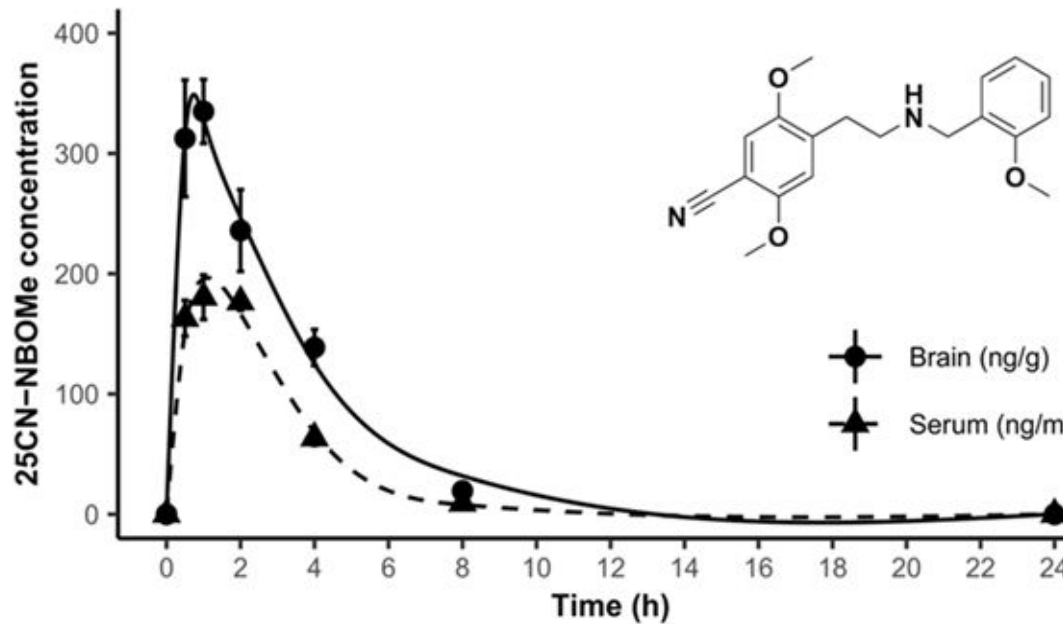
Čestmír Vejmola

Novel psychoactive drugs

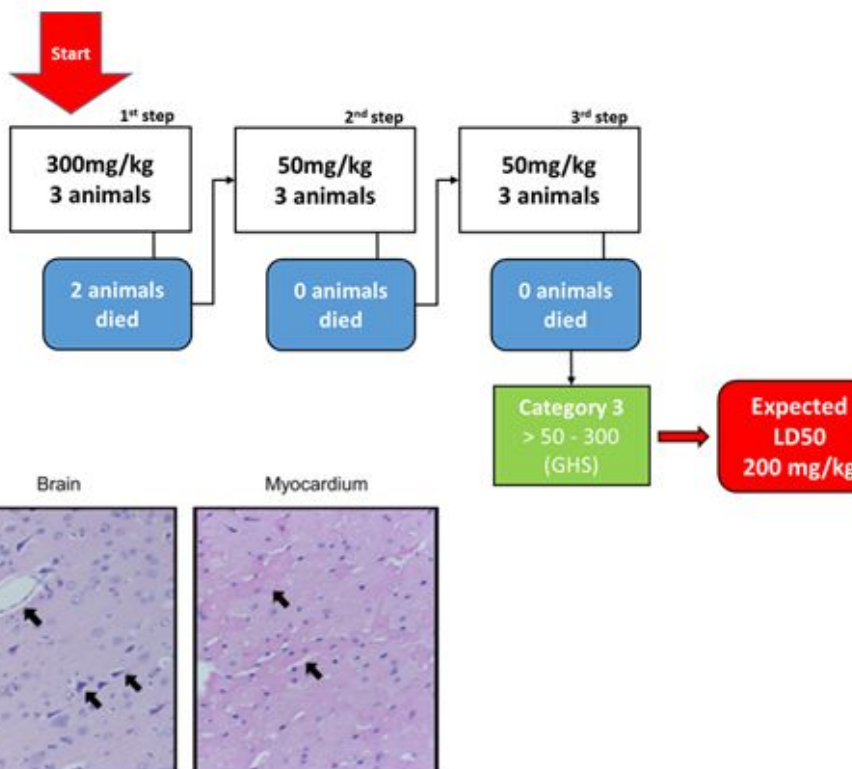
EEG



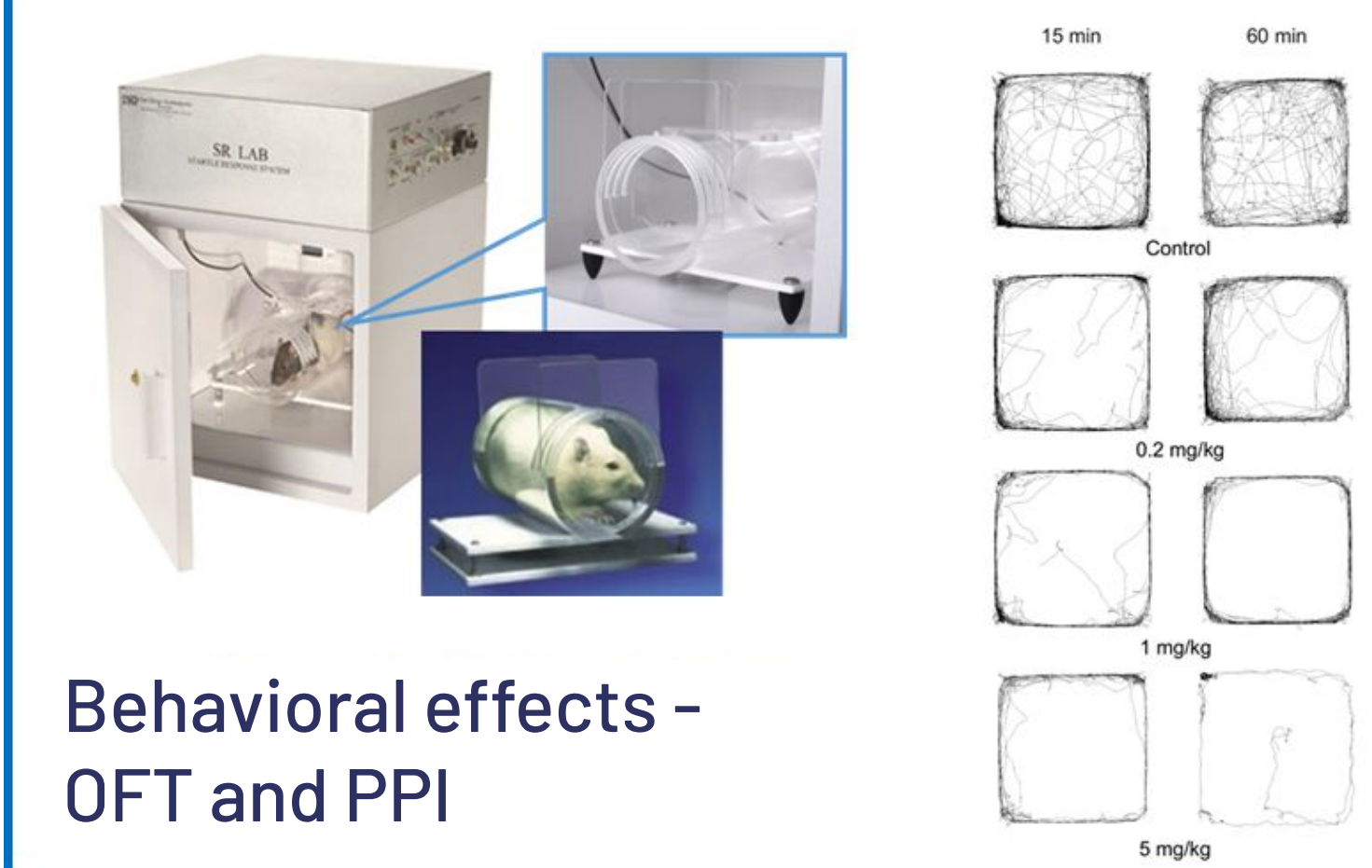
Pharmacokinetic profile



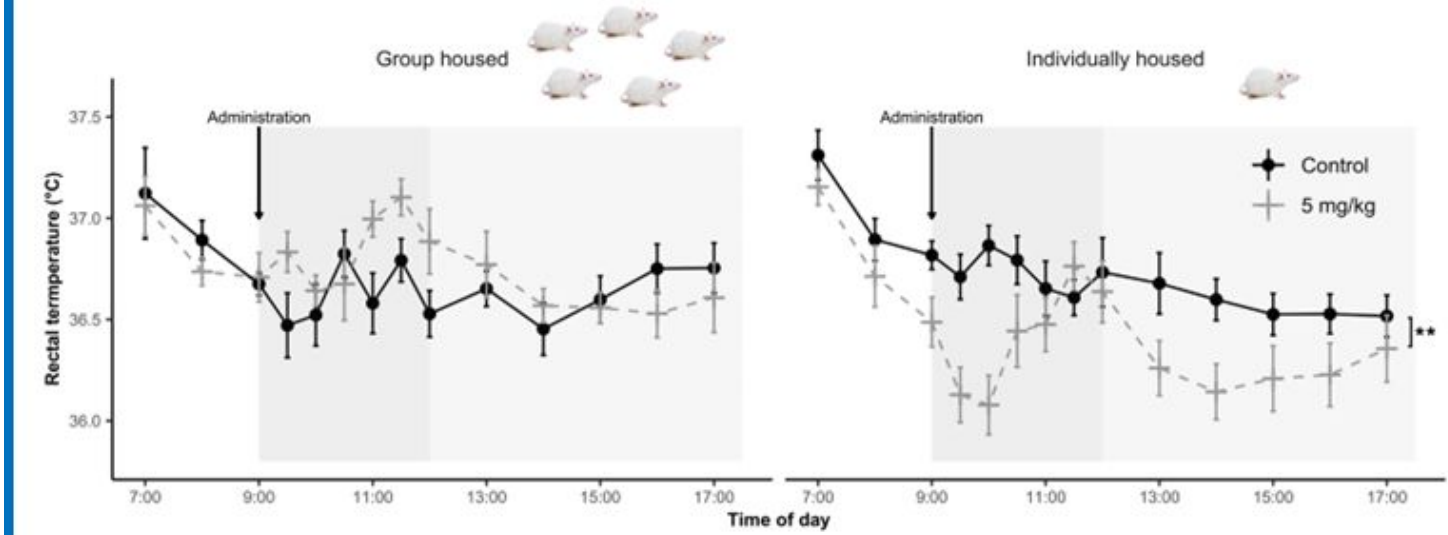
Acute toxicity



Behavioral effects - OFT and PPI



Thermoregulation changes



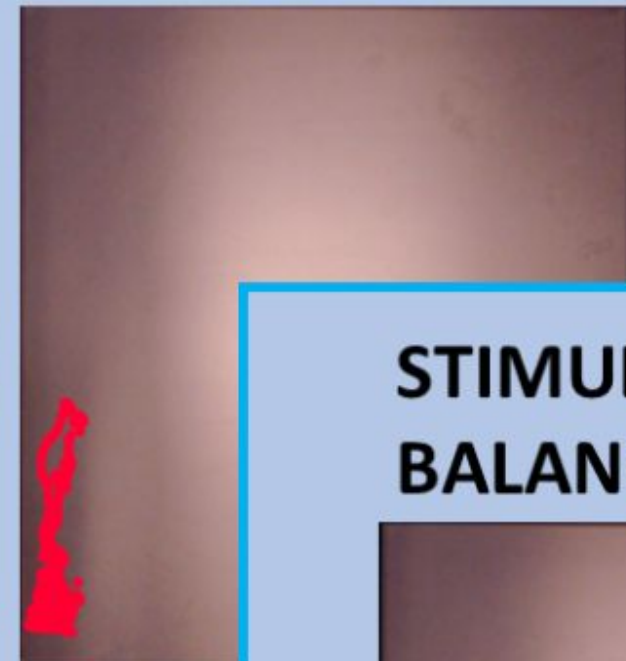
OPIOIDS

heroin



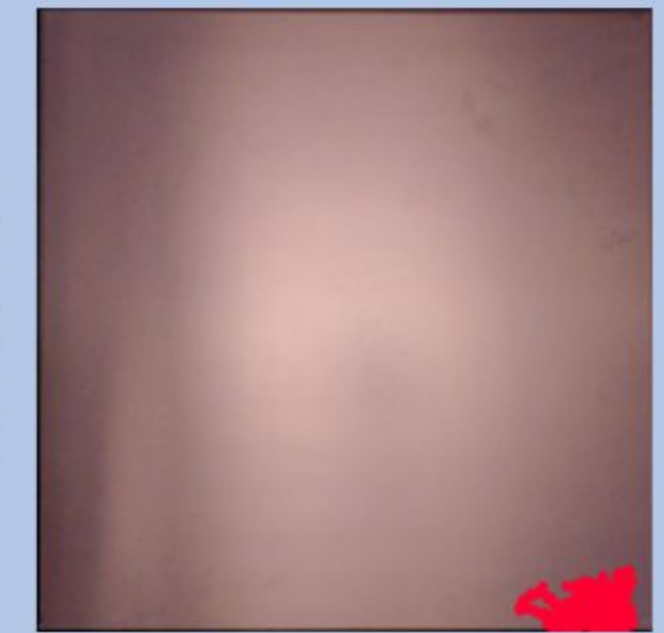
CANNABINOID

CBD



STIMULANTS – BALANCED

cocaine



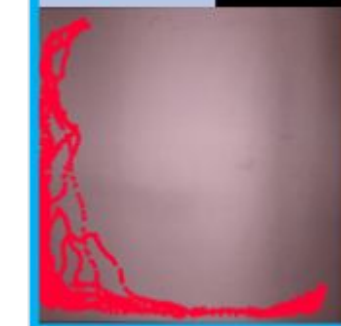
PLACEBO

VEH, VEHET



PSYCHEDELICS

psilocybin

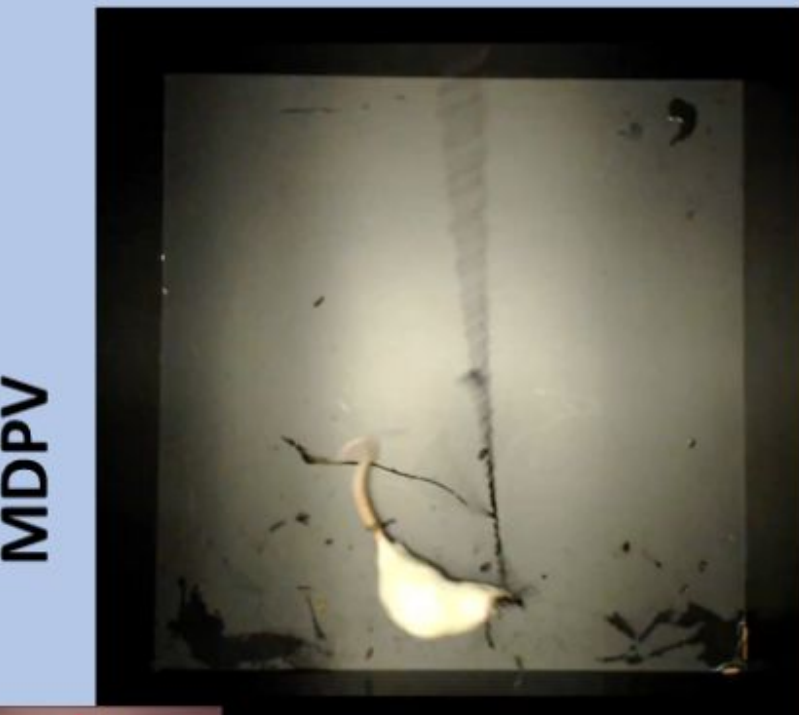


PSYCHEDELICS



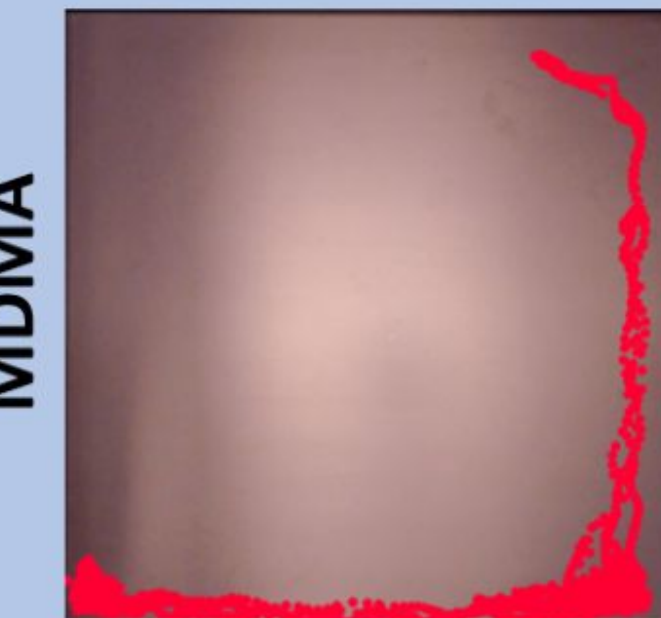
STIMULANTS - DAT

MDPV



STIMULANTS – SERT

MDMA



CANNABINOID

HHC

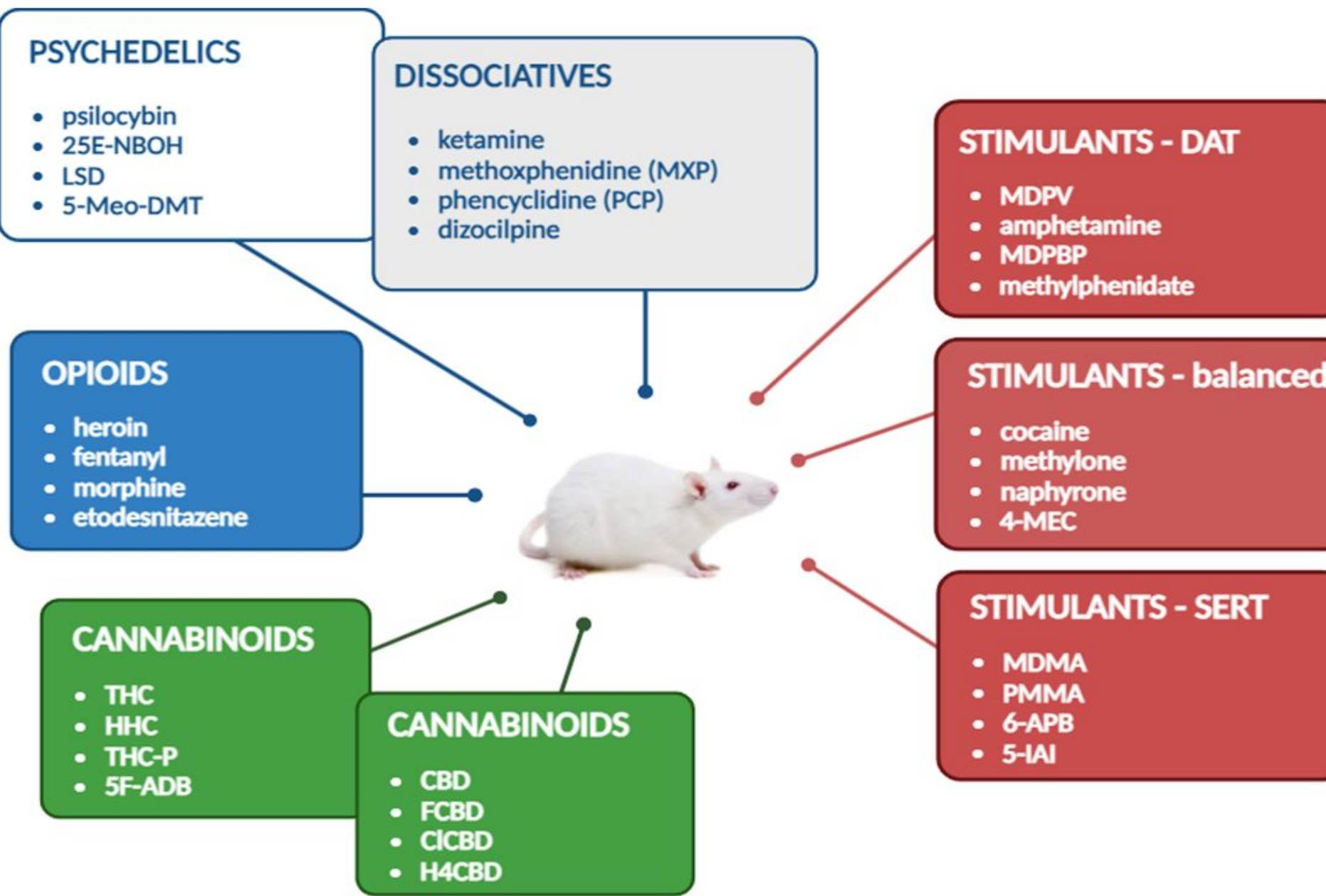


DISSOCIATIVES

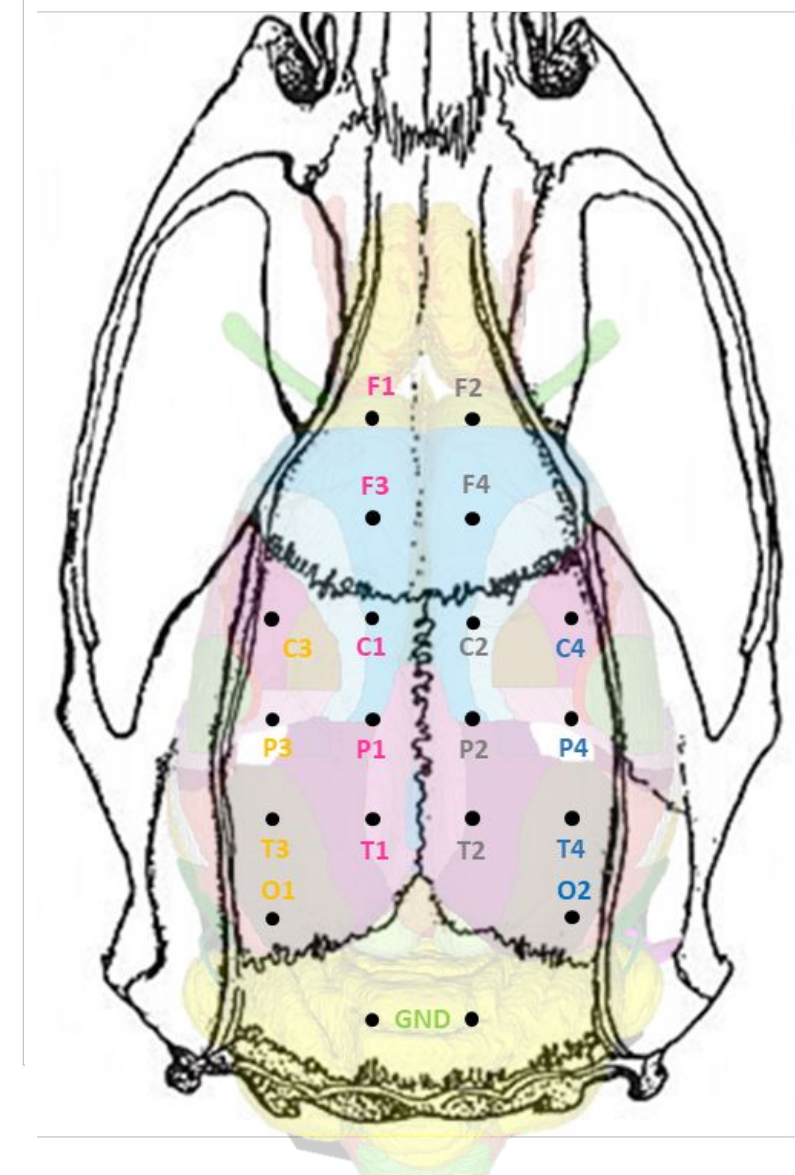
MXP



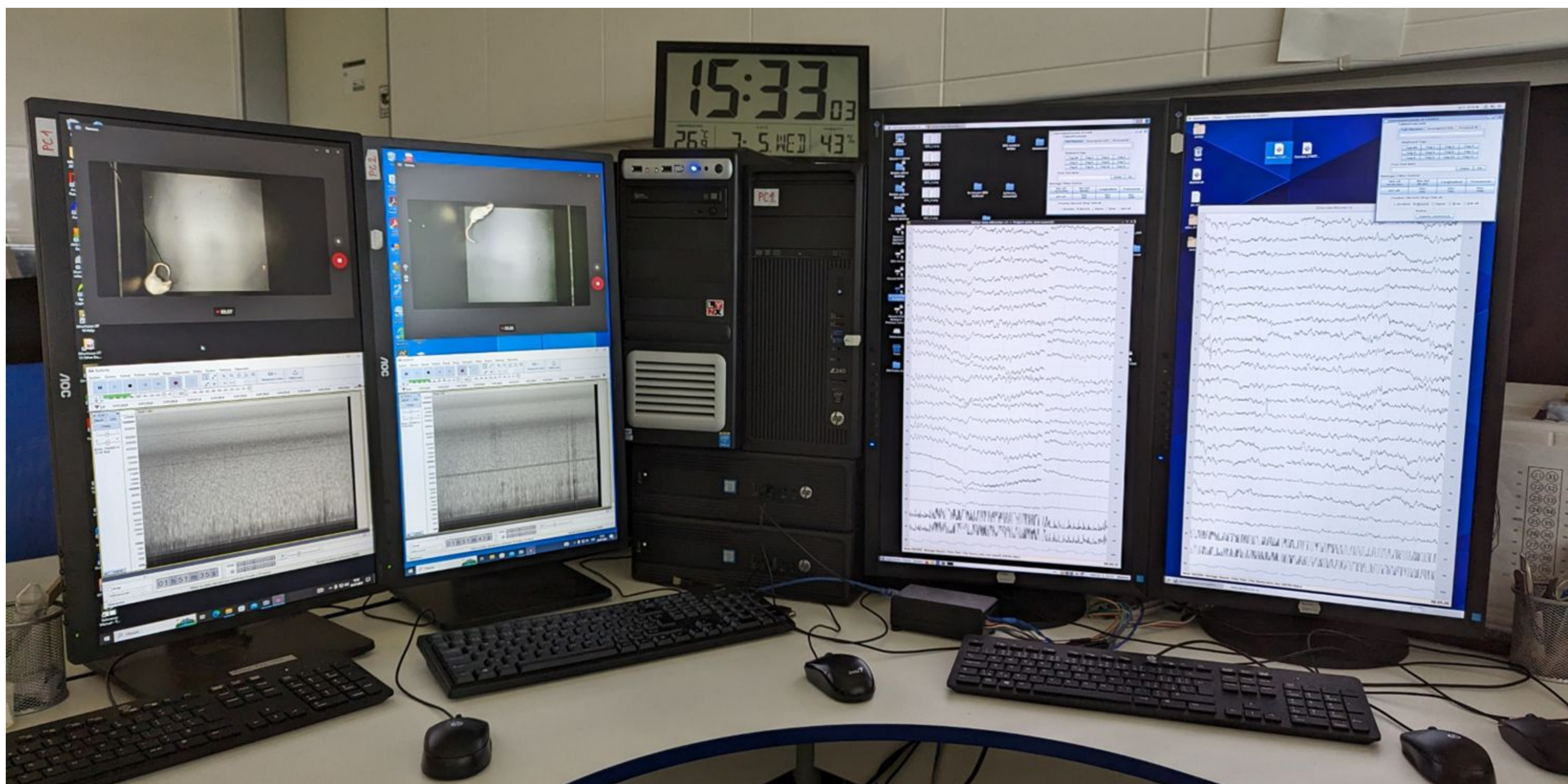
Creating database



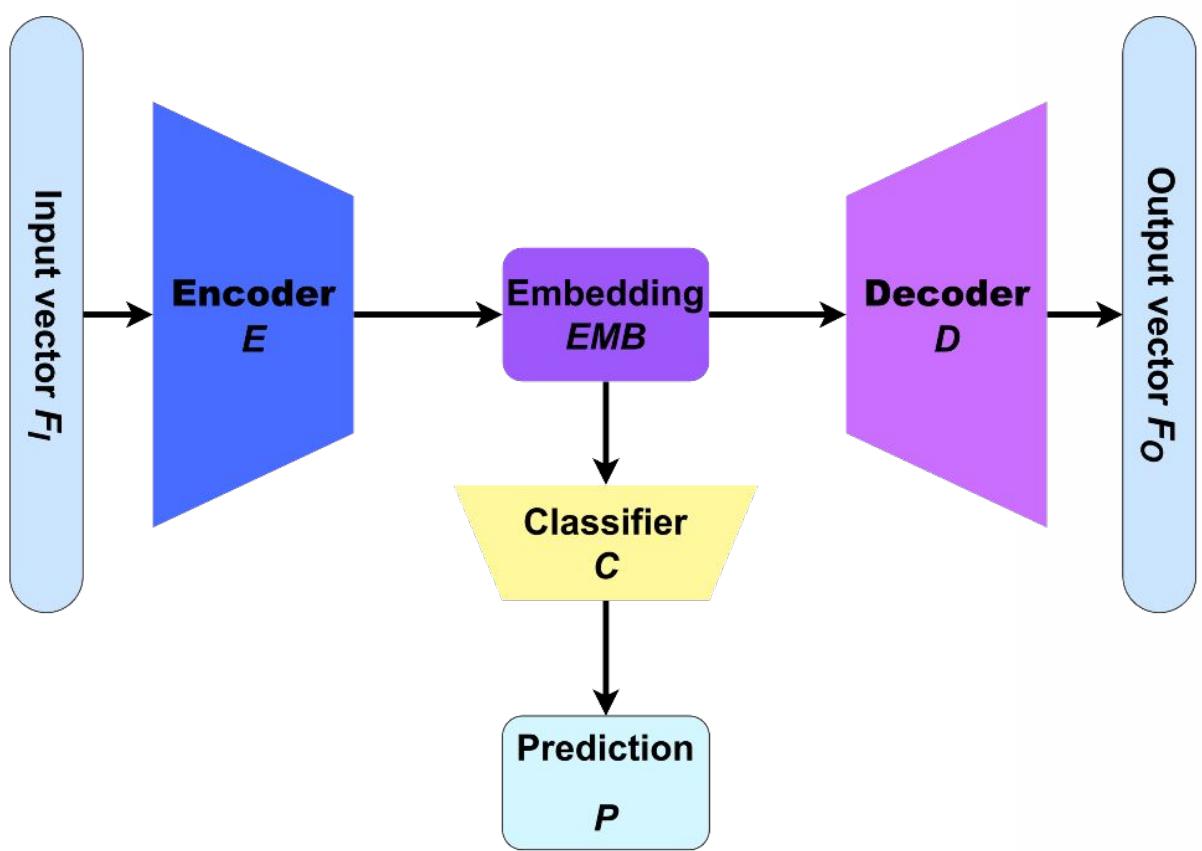
GROUP	TREATMENT	dose mg/kg	RUN 1		RUN 2		RUN 3	
			TREATMENT	dose mg/kg	TREATMENT	dose mg/kg	TREATMENT	dose mg/kg
VEH	SAL+deionized	x	SAL+deionized	x	SAL+deionized	x	SAL+deionized	x
VEHET	SAL+eth+Tween	x	SAL+eth+Tween	x	SAL+eth+Tween	x	SAL+eth+Tween	x
psychedelics	psilocybin	5	25E-NBOH	5	psilocybin	0,5/2		
SERT	MDMA	5	PMMA	20	MDMA	2,5/10		
BALANCED	cocaine	20	methylone	10	cocaine	5/10		
DAT	MDPV	2	apmphetamine	5	MDPV	1/4		
dissociatives	MXP	20	ketamin	30	MXP	10/40		
opioids	heroin	0,25	fentanyl	20ug	heroin	0,05/2		
CB1 antagonist	CBD	10	FCBD	10	CBD	1/5		
CB1 agonist	HHC	10	THC	10	HHC	1/5		



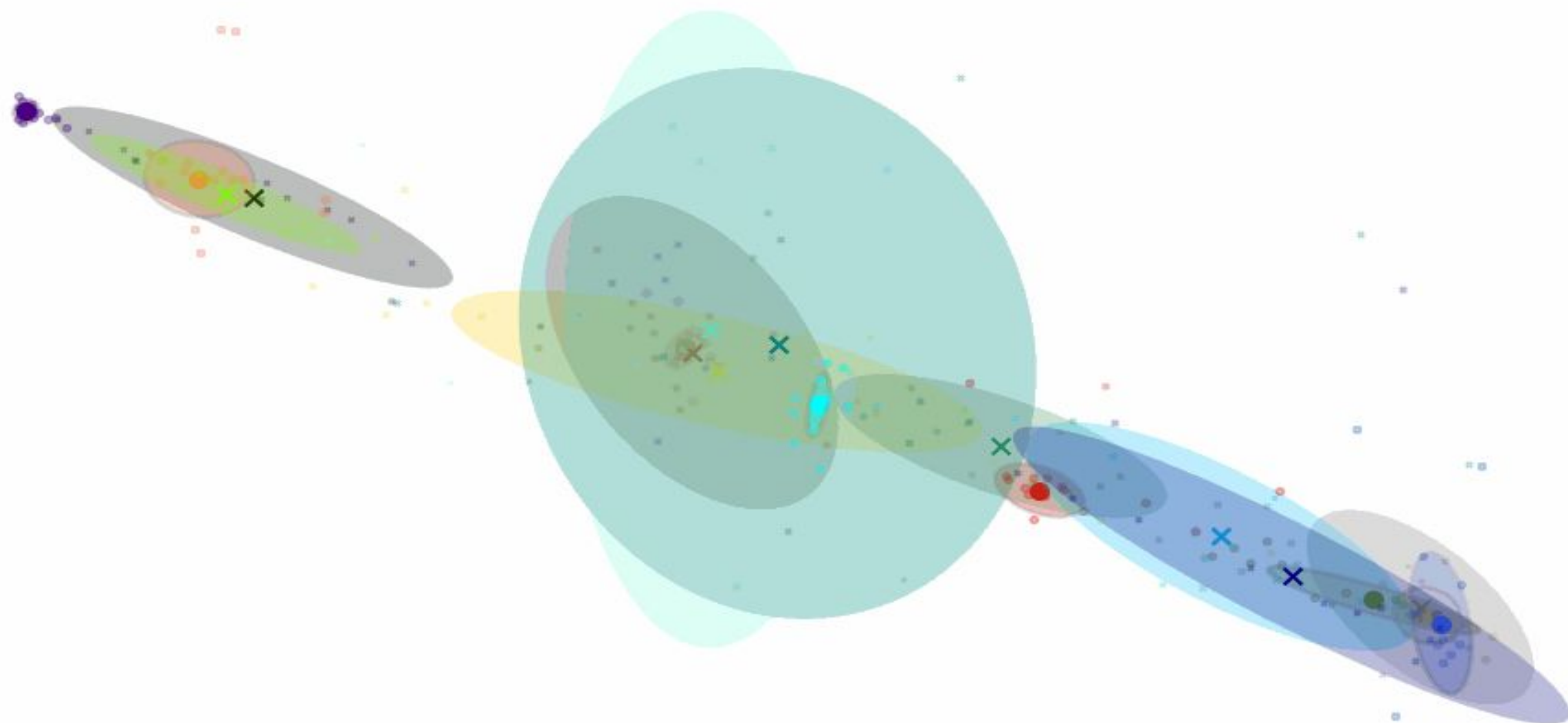
1	F1	frontal association cortex
11	F2	
2	F3	secondary motor cortex
12	F4	
3	C1	primary motor cortex
13	C2	
4	C3	primary somatosensory
14	C4	cortex, forelimb area
5	P1	medial parietal association
15	P2	cortex
6	P3	primary somatosensory
16	P4	cortex, trunk area
7	T1	secondary visual cortex,
17	T2	mediomedial area
8	T3	primary visual cortex,
18	T4	binocular area
9	O1	primary visual cortex,
19	O2	binocular area
10	GND	
20	GND	



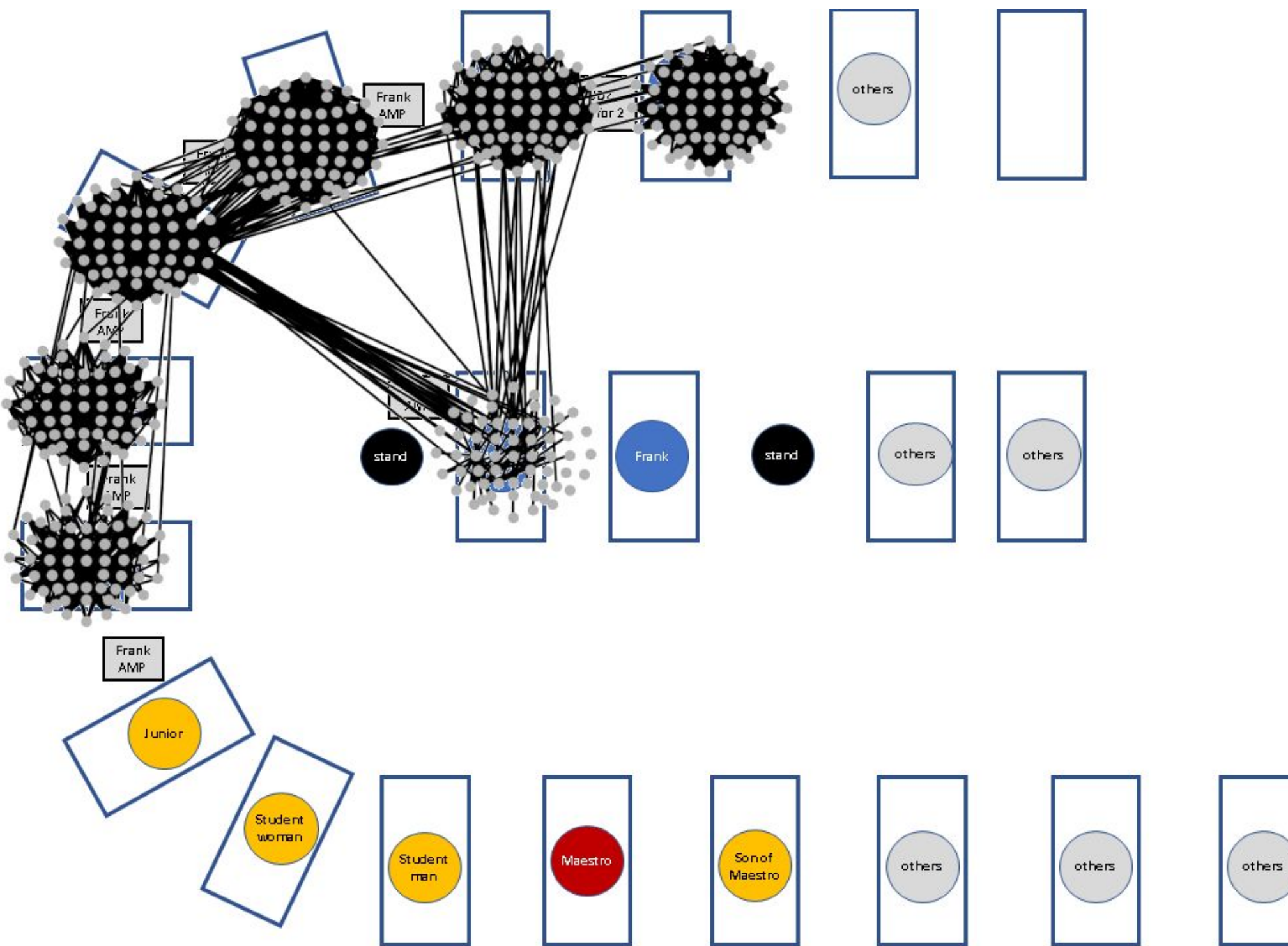
Neural network clustering of drugs based on EEG



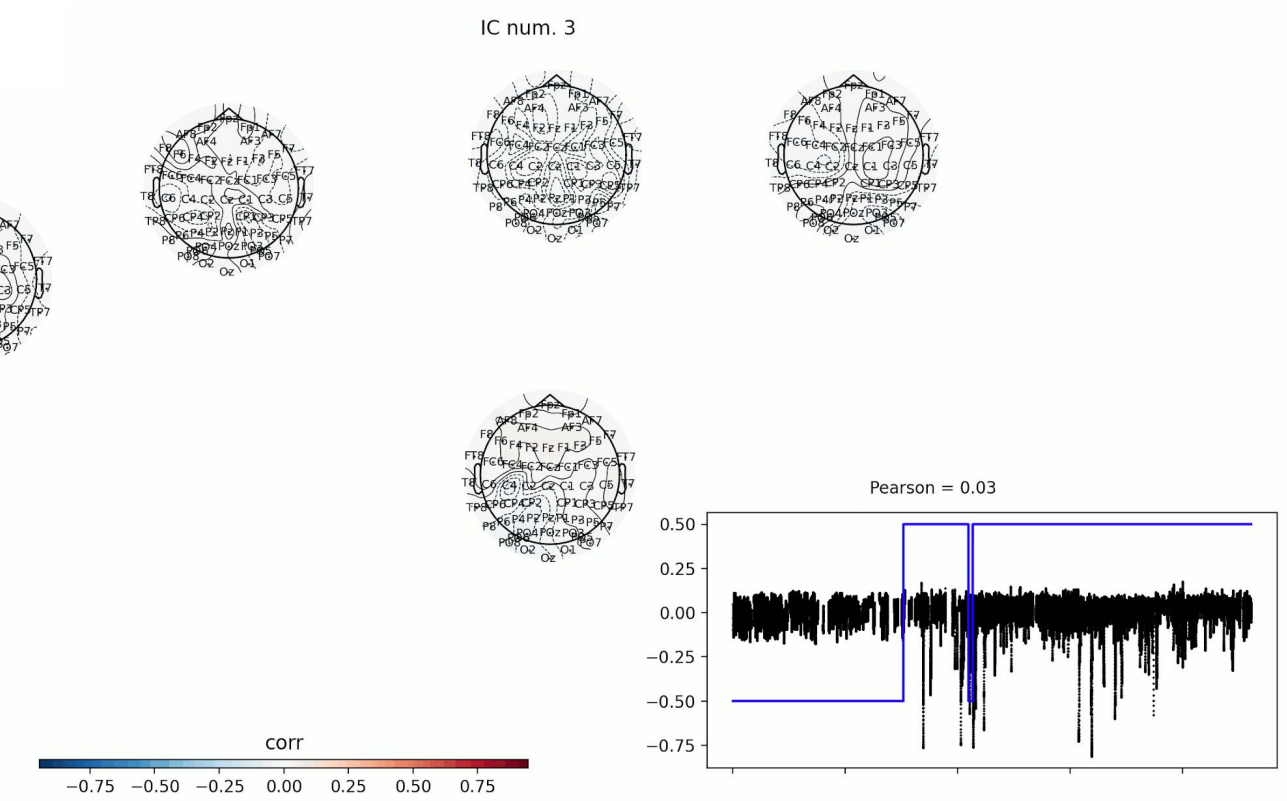
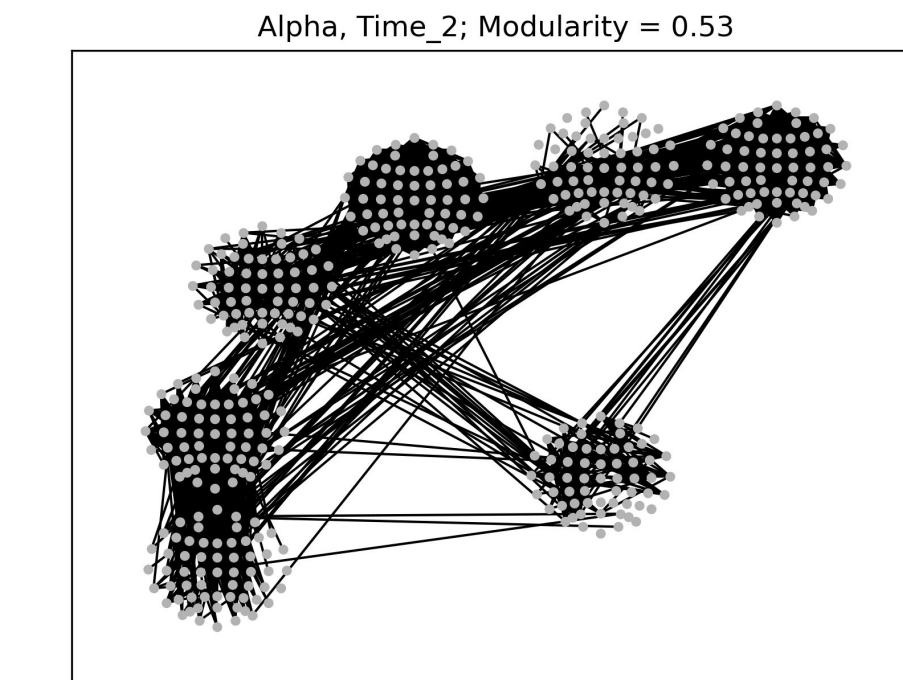
Training data Validation data	
CBD	25E
HHC	AMP
MDMA	FCBD
MDPV	MDMC
MXP	PMMA
Cocaine	THC
Heroin	VEH
Psilocybin	VEHET
	Fentanyl
	Ketamine



Rat brains synchrony

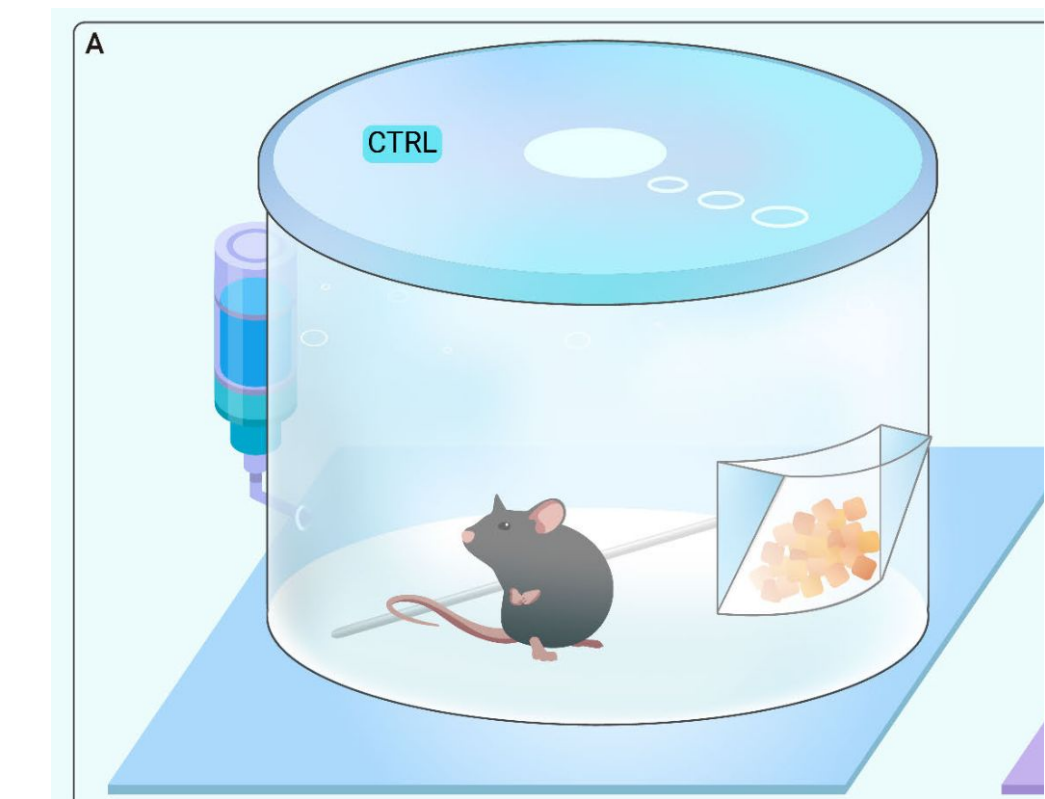
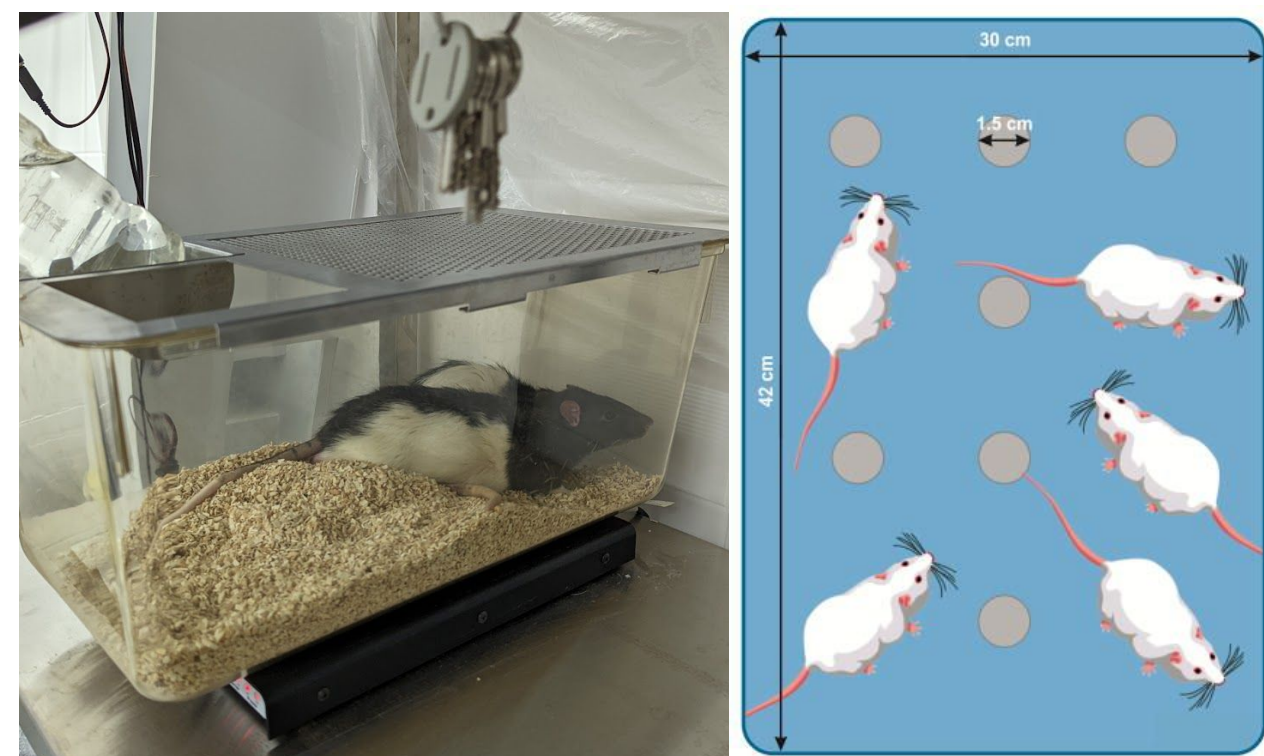
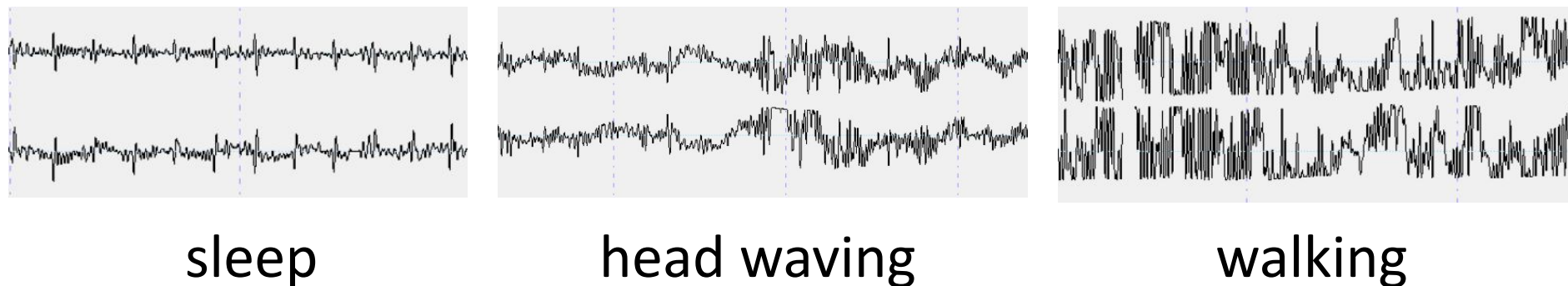


1st session

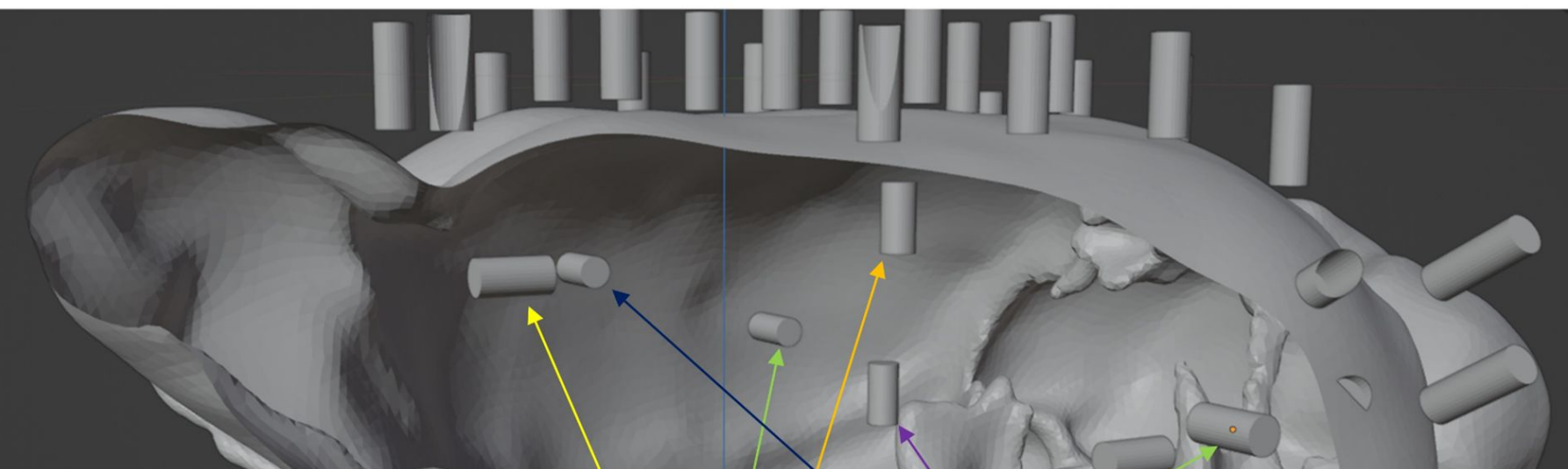
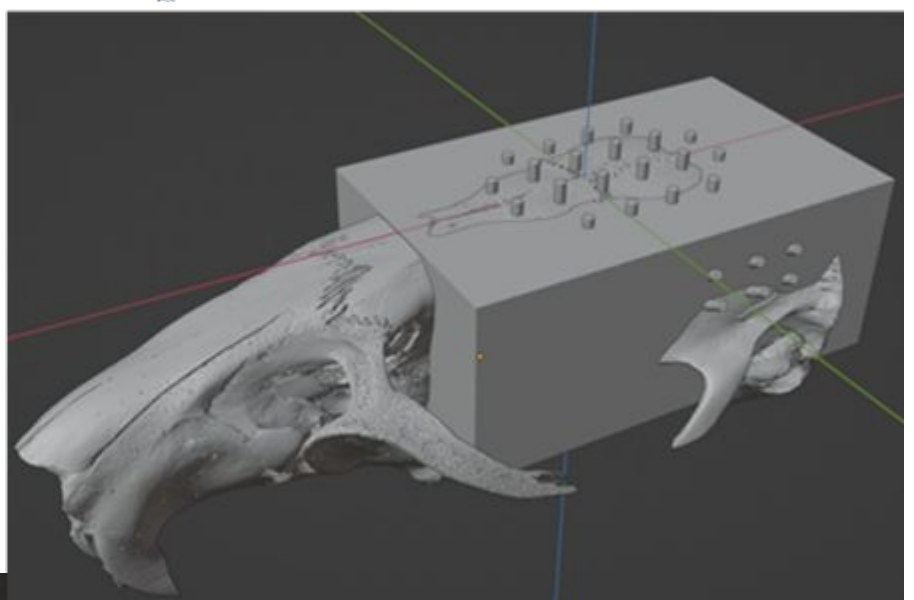
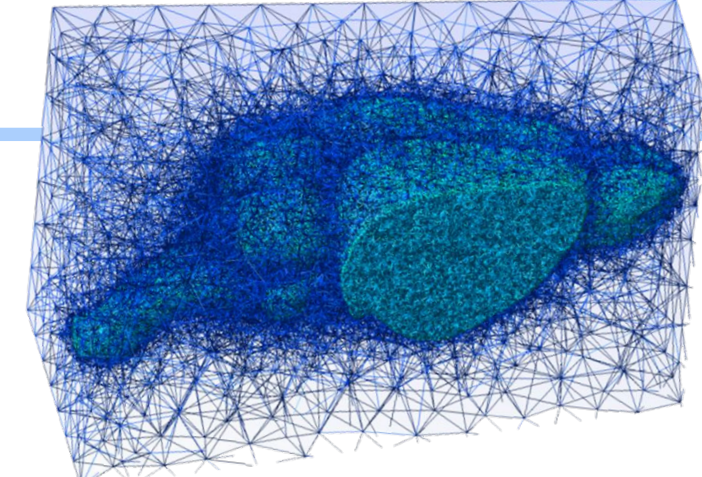
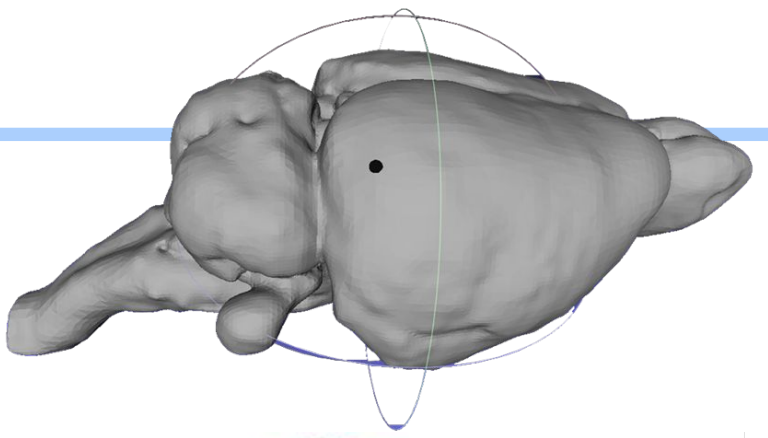
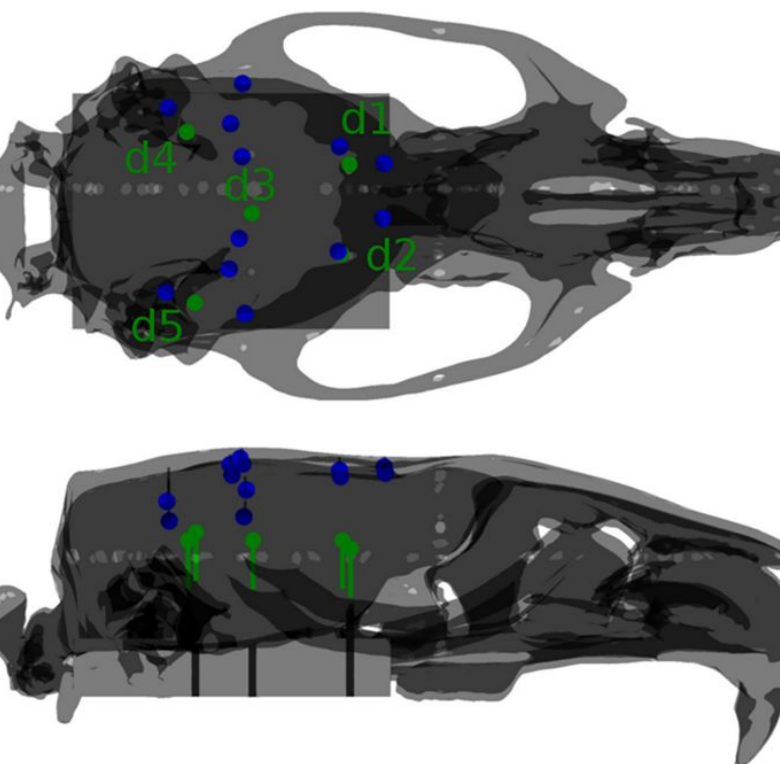
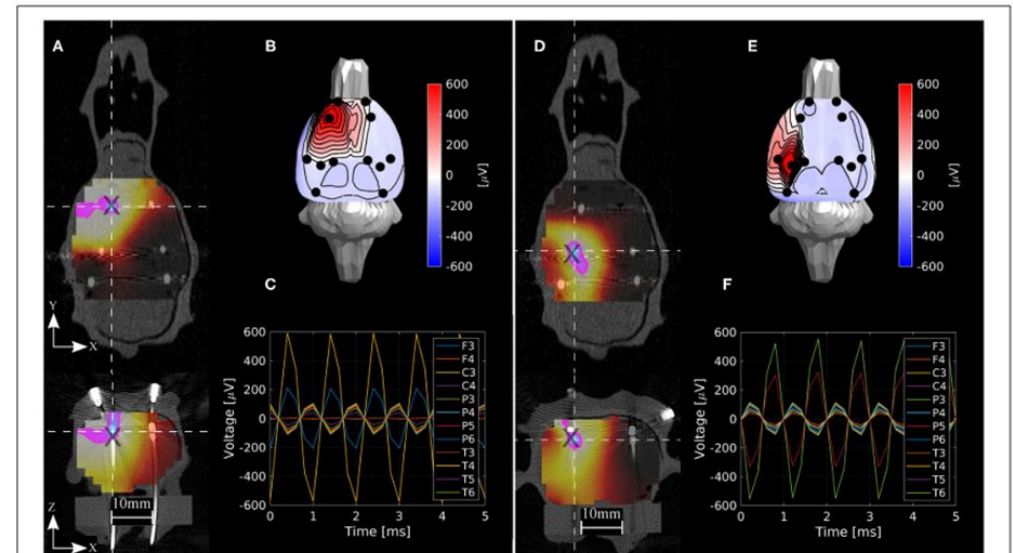


Automated accelerometer-vibration-based method for rat sleep deprivation

- Currently available procedures for sleep deprivation in rodents:
- gentle handling and forced locomotion
- gentle handling is not very standardized and its practical applicability and effectiveness over prolonged periods of sleep deprivation are limited; rats manage to sleep, e.g. 6% of the time (Deboer et al., 2007)
- Protocols that are used for forced locomotion are standardized within laboratories but may induce high levels of locomotor activity while still allowing for brief naps in between periods of forced activity (e.g. Gong et al., 2004; GuzmanMarin et al., 2005, 2006).

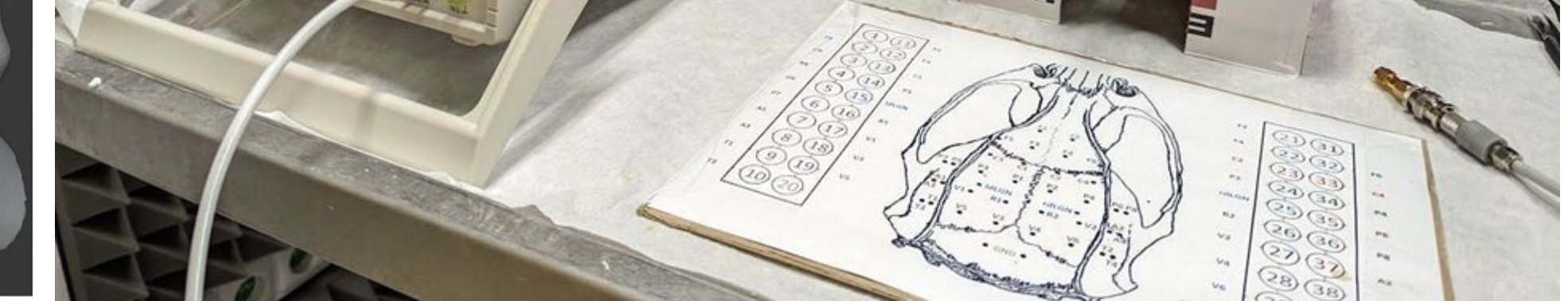
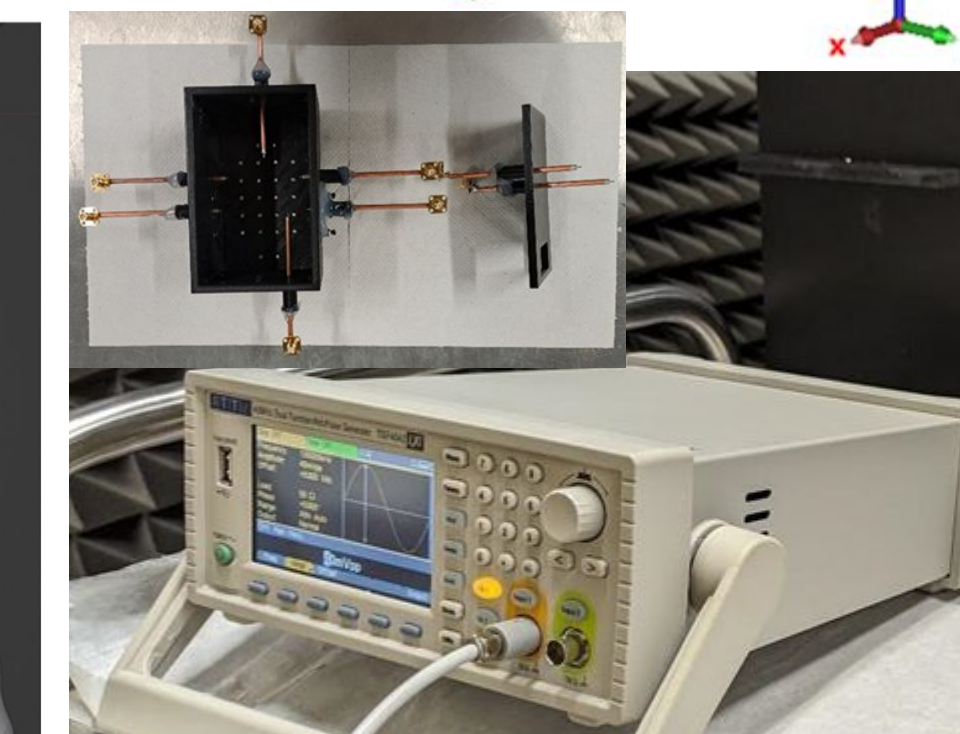


RatCon

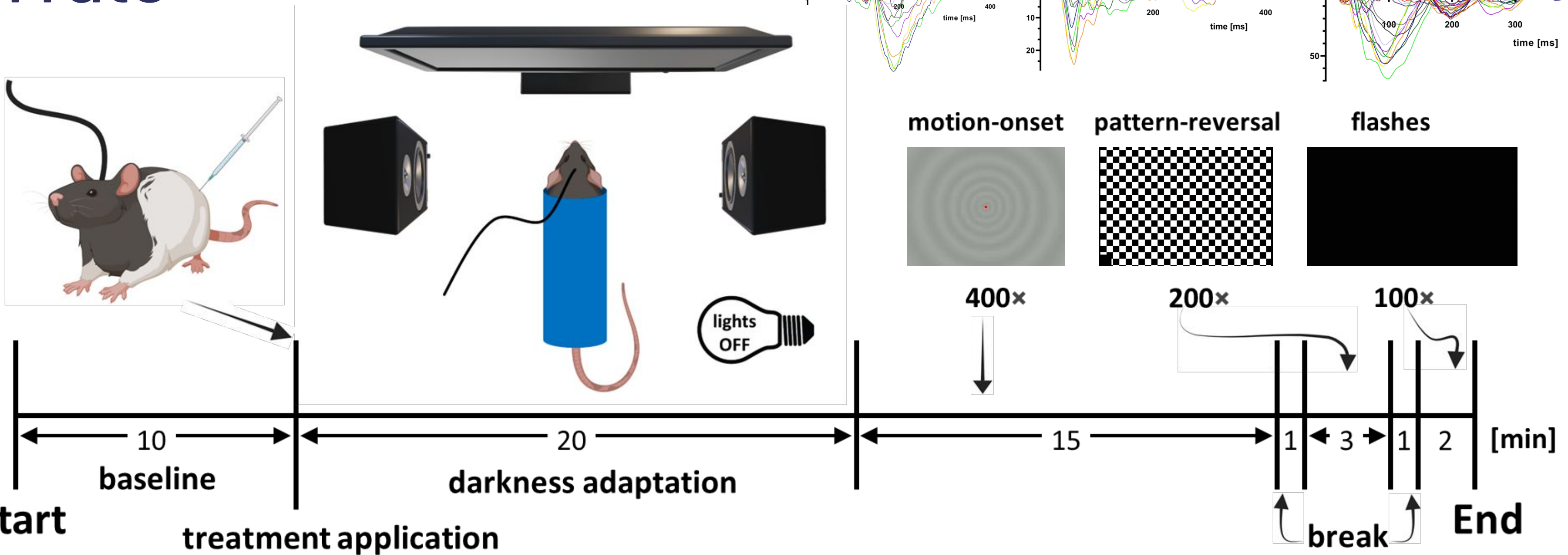


Region	Paxino's atlas		
	M-L	D-V	A-P
Orbital ctx (VO, LO, rMO)	±1.8	5.2	3.64
Prelimbic ctx (CG1/CG2)	±0.6	3.0	3.64
	±0.4	2.0	0.64
Auditory/temporal association ctx	-7.0	5.8	-4.68
	7.4	5.4	-4.68
Post parietal ctx (PtPR, PtPD, V2M)	3.2	1.0	-4.36
	-4.4	1.4	-4.36
Retro splenial ctx (RSD/RSG)	±0.4	2.3	-3.36
Dorsal hipp	±1.0	4.0	-4.36

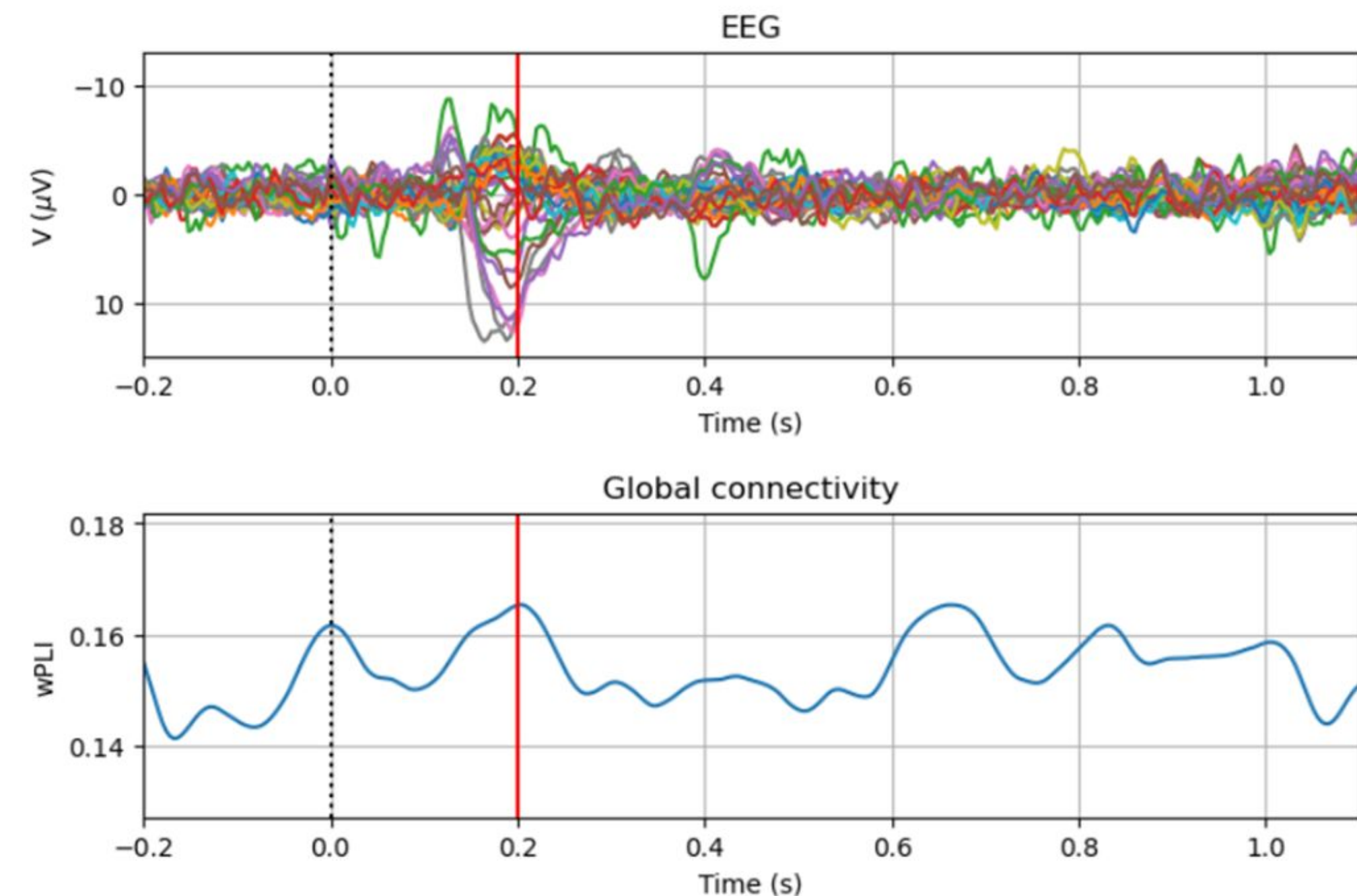
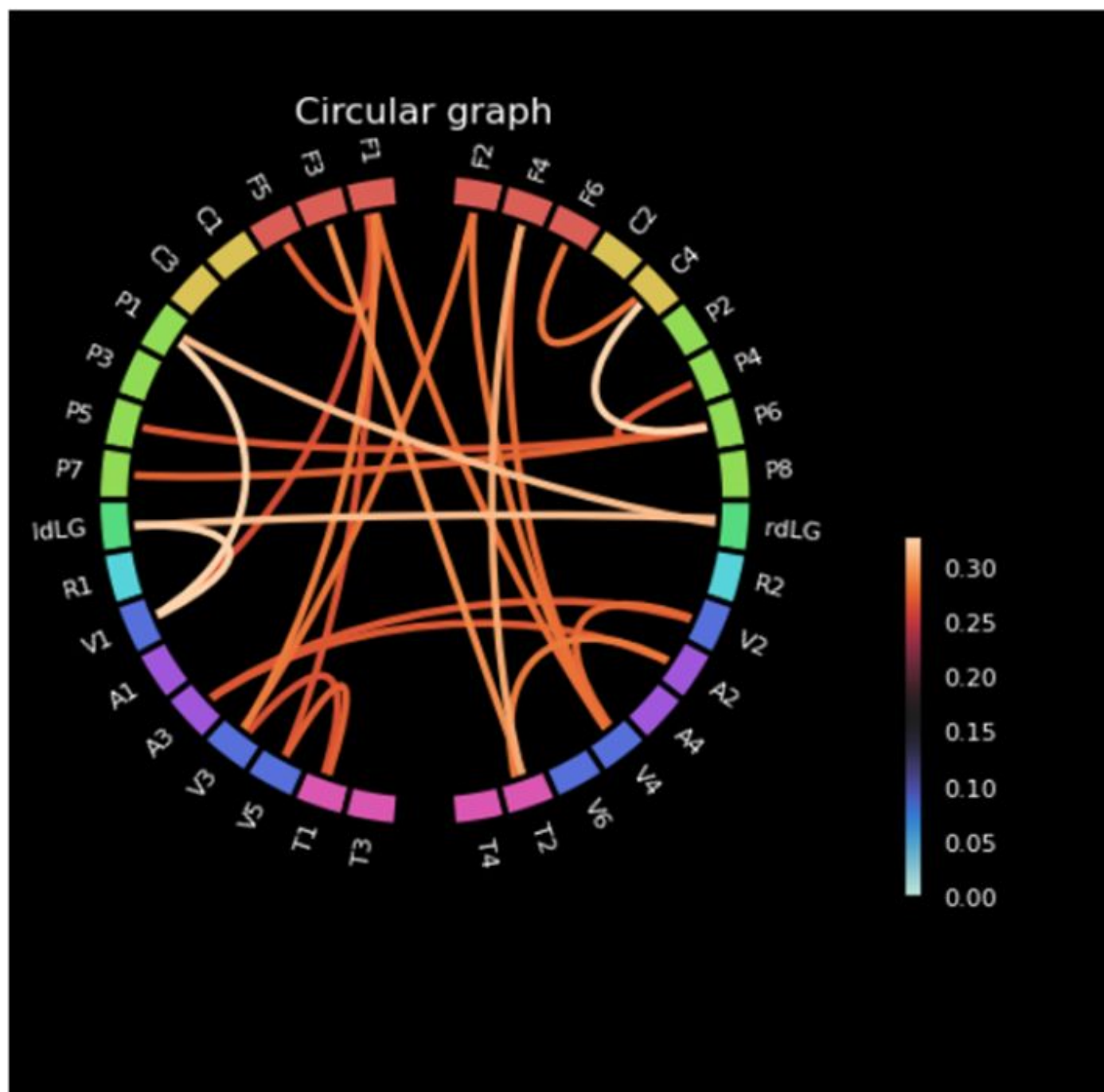
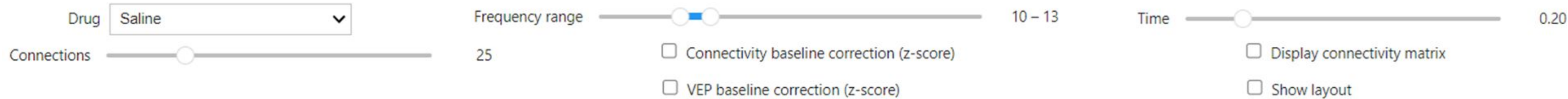
Primary somatosensory cortex – upper lip area
Audity thalamus – medial geniculate nucleus



Drug-induced visual alterations in rats

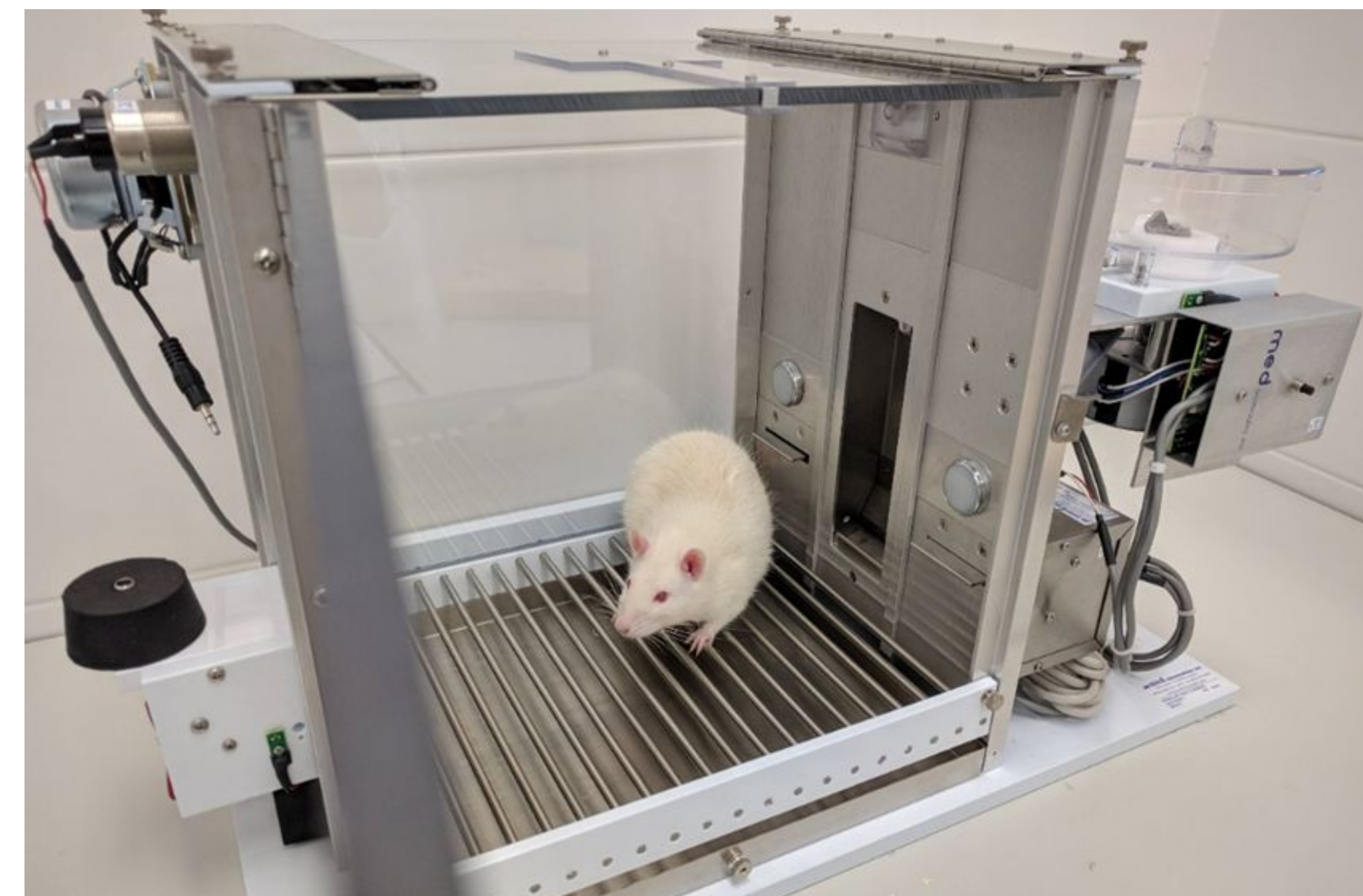
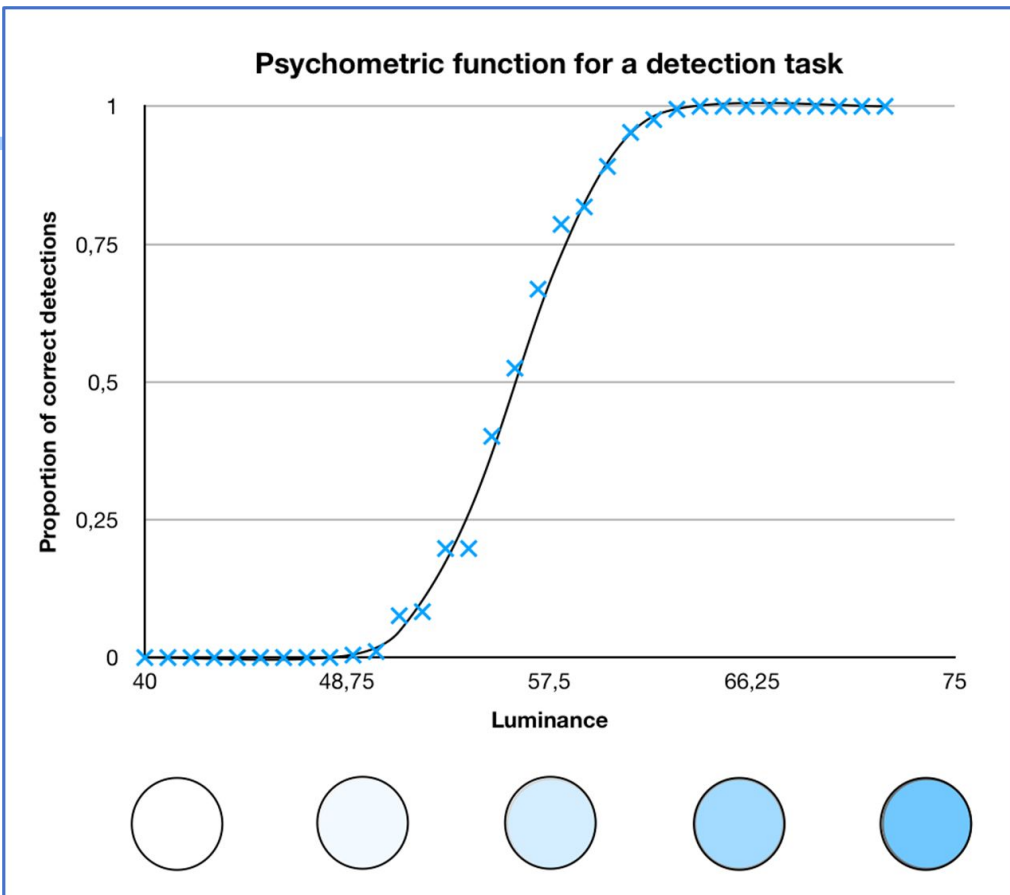
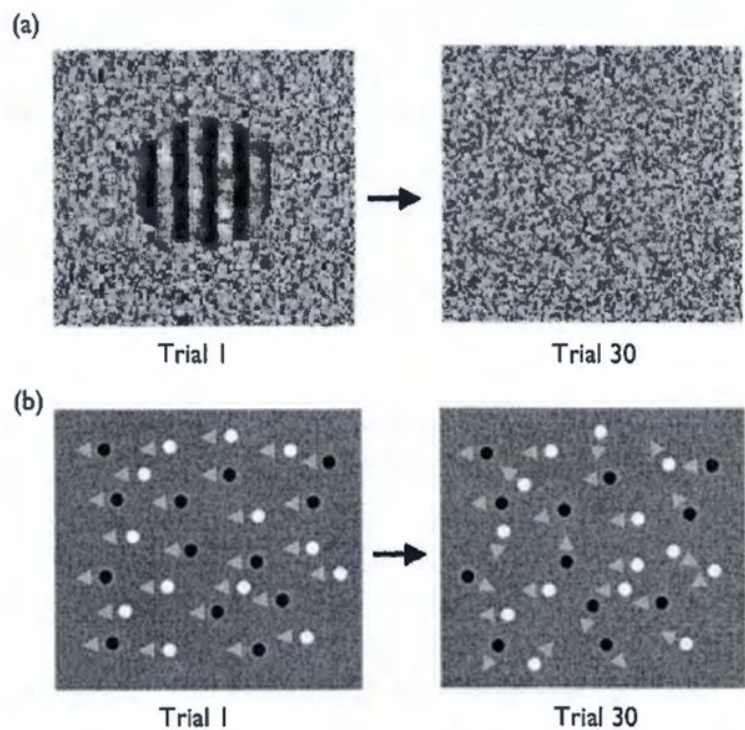


- Generating stimuli for VEP paradigms
- Can we track evoked potential from retina up to the visual cortices?
- Analyzing VEP parameters



Drug-induced visual alterations in rats

- Implementing behavioral testing in skinner boxes

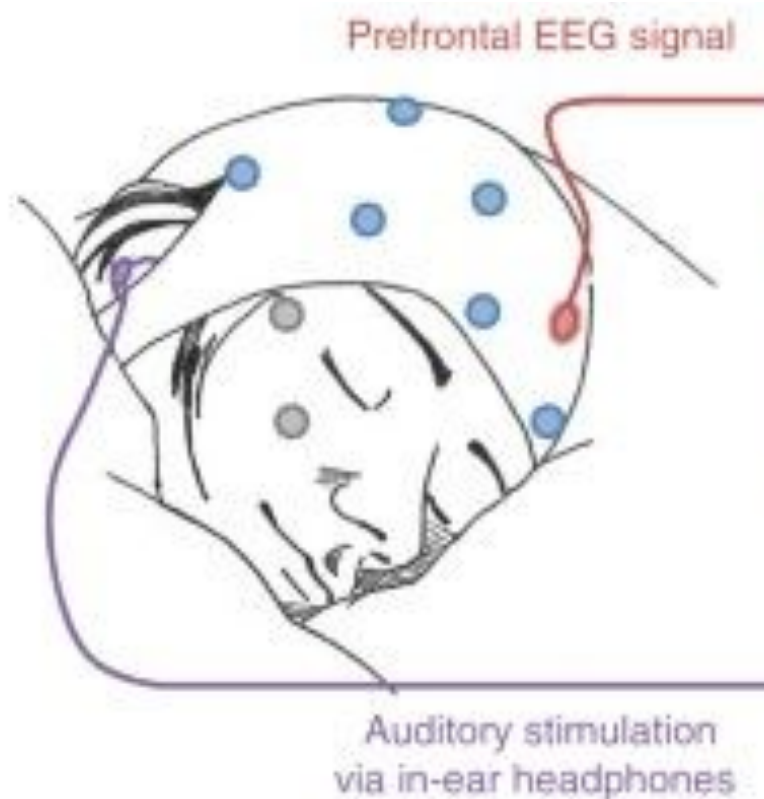


Sleep Research

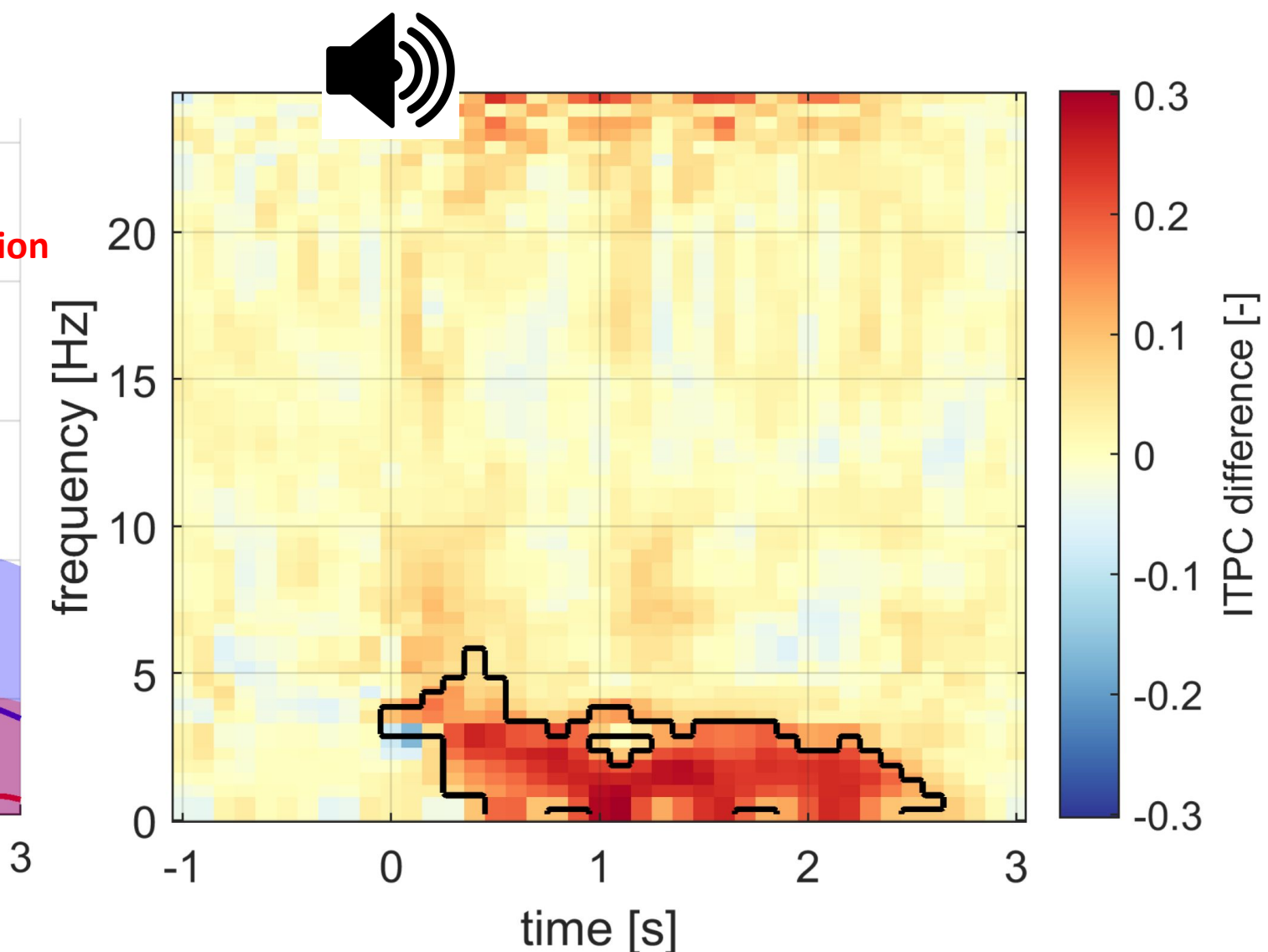
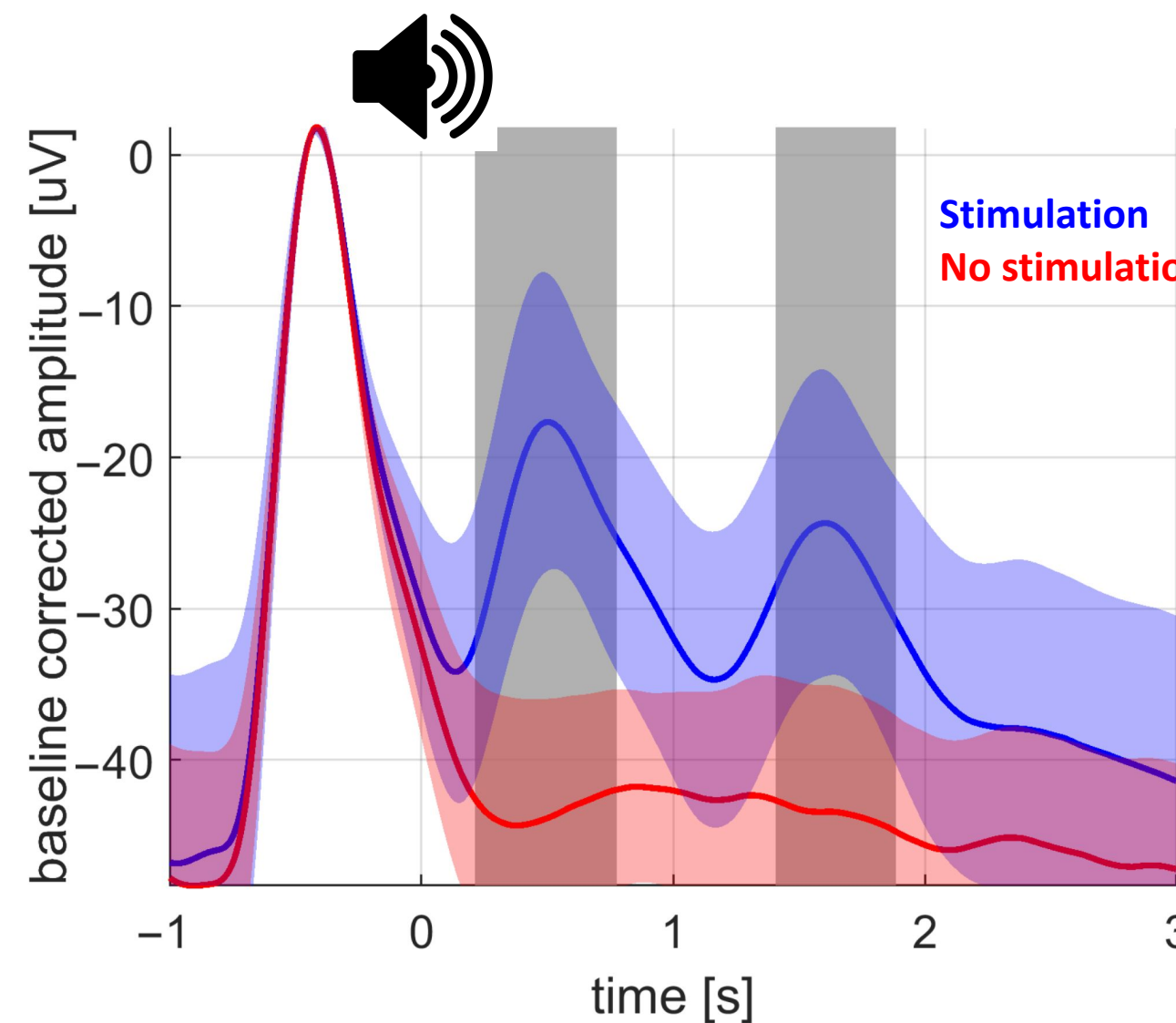
Filip Černý

CLAS - closed loop acoustic stimulation of deep sleep

- Memory consolidation
- Sleep deepening
- Effect of the phase of stimulation
- Different length of sounds



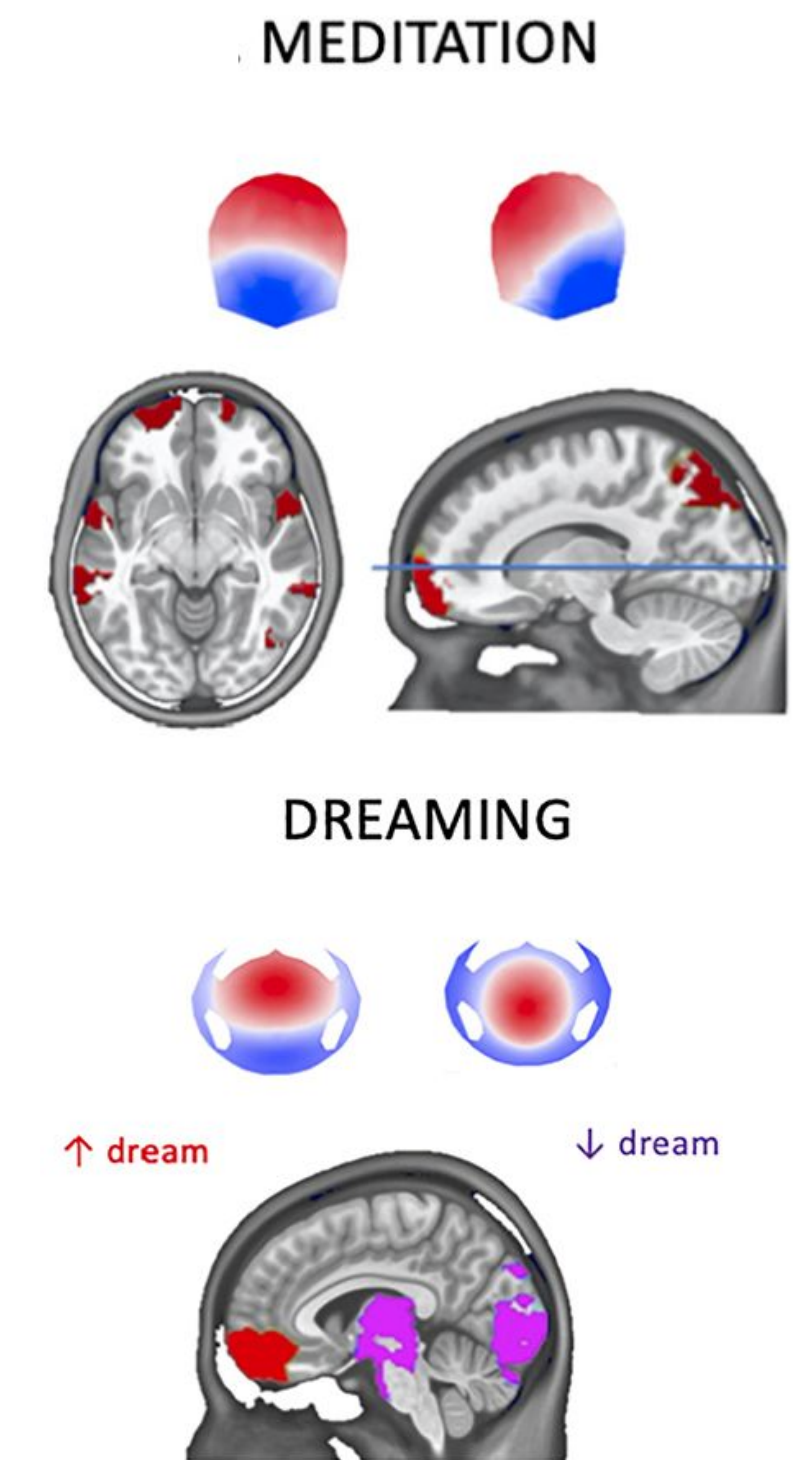
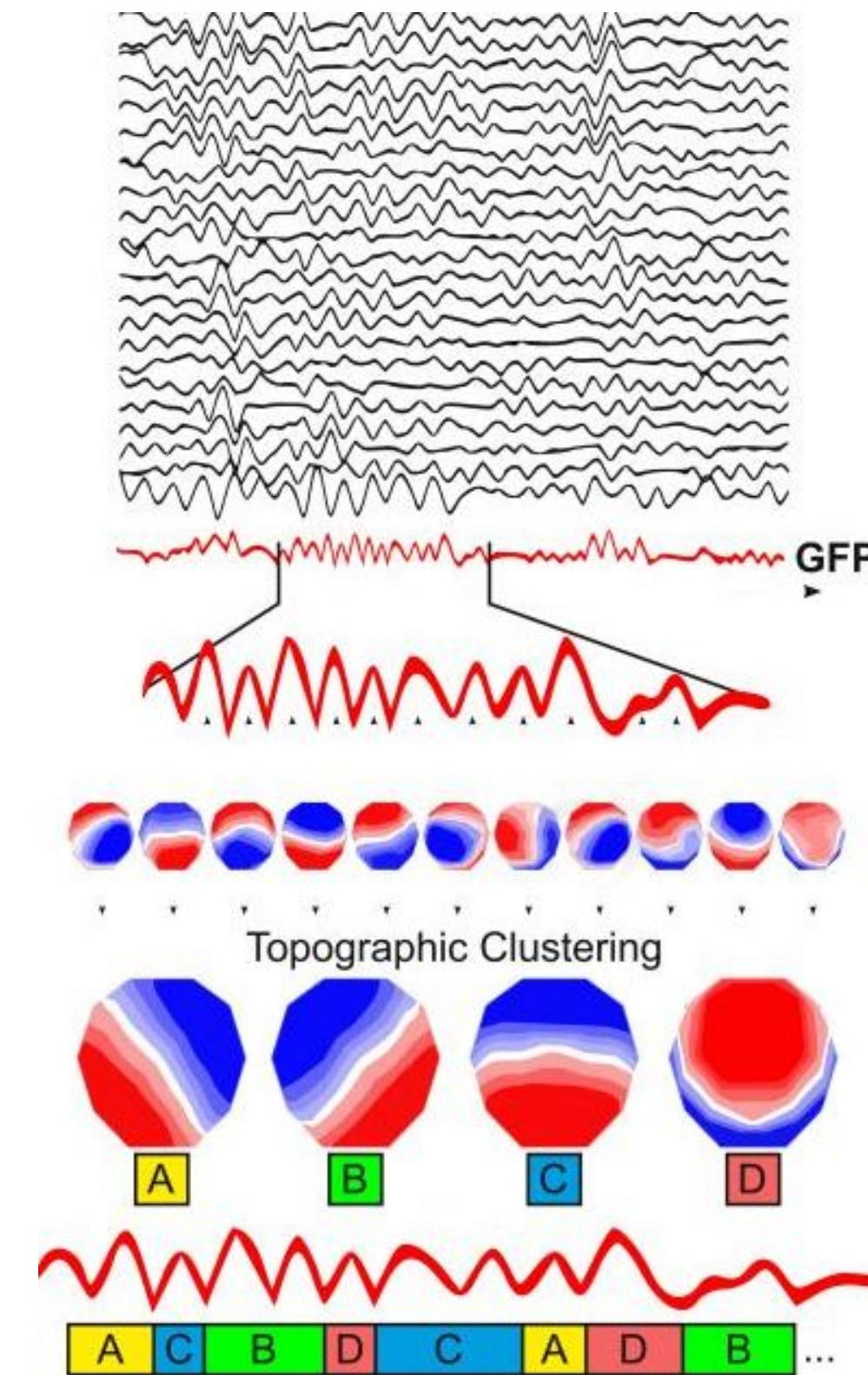
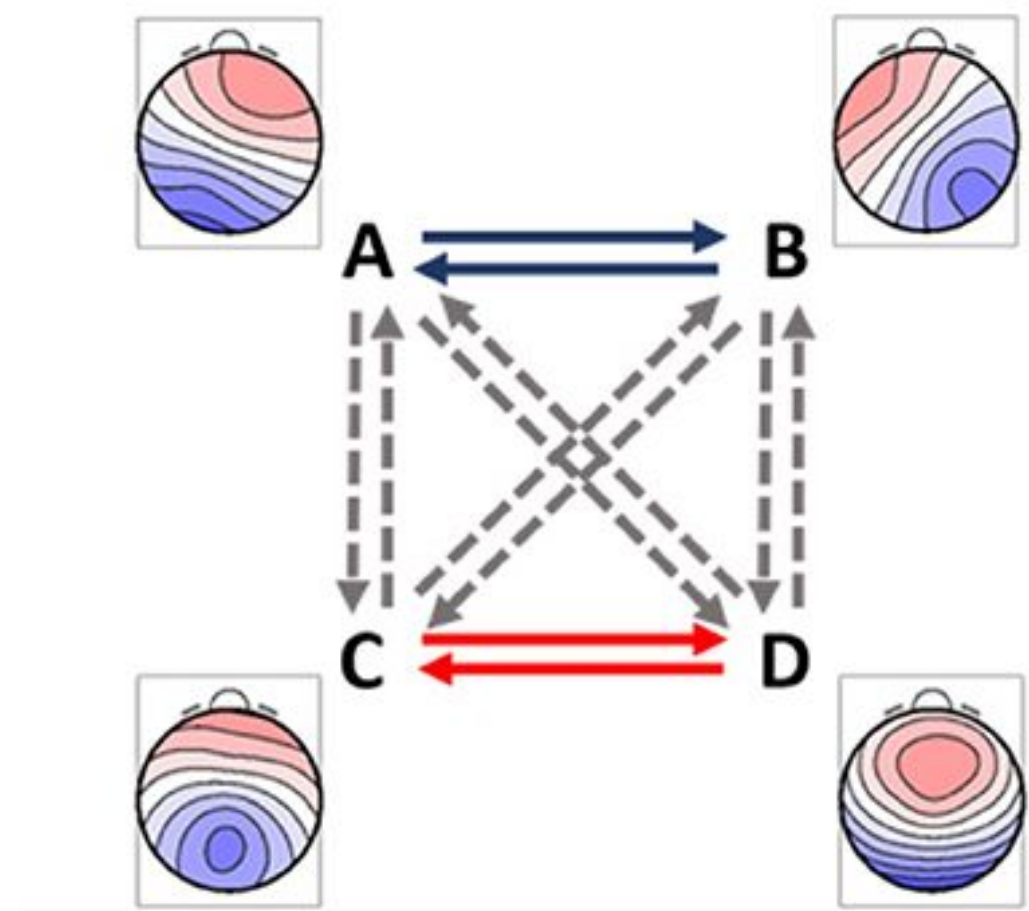
Real-time EEG evaluation



Sleep Research

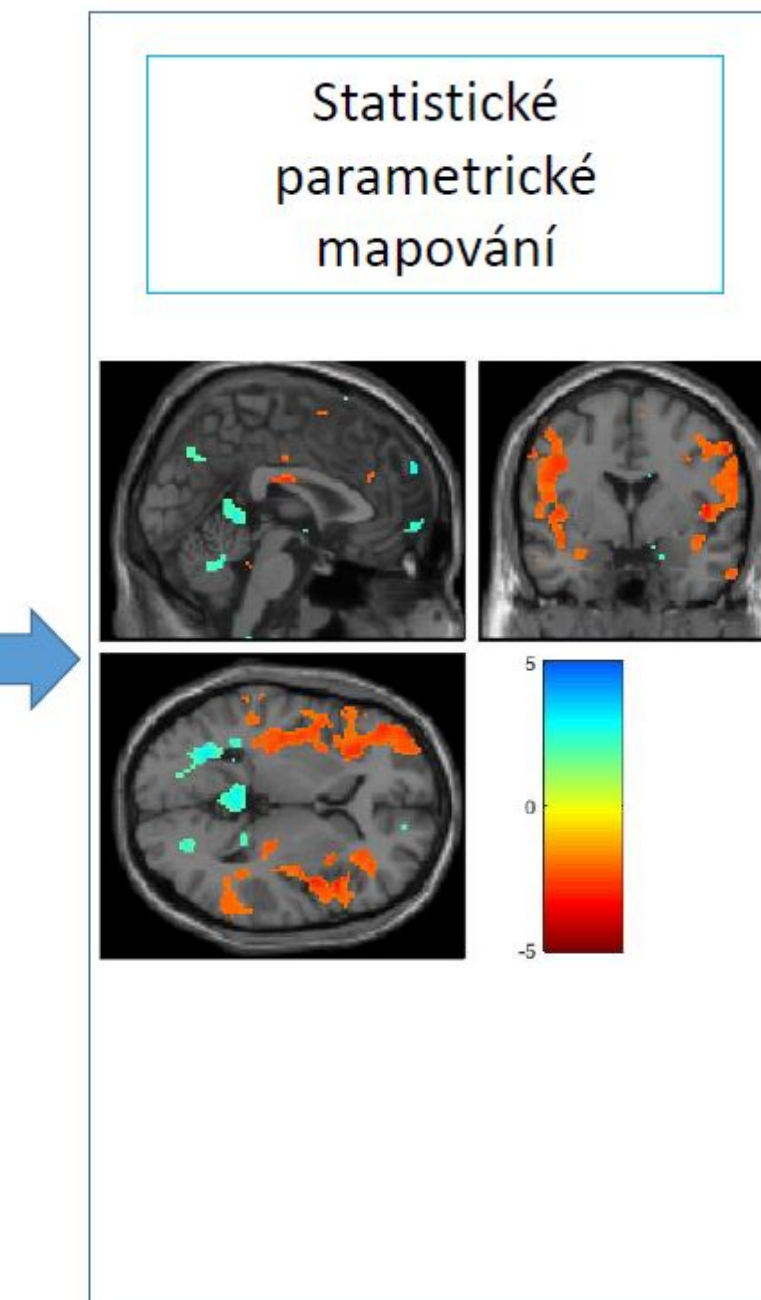
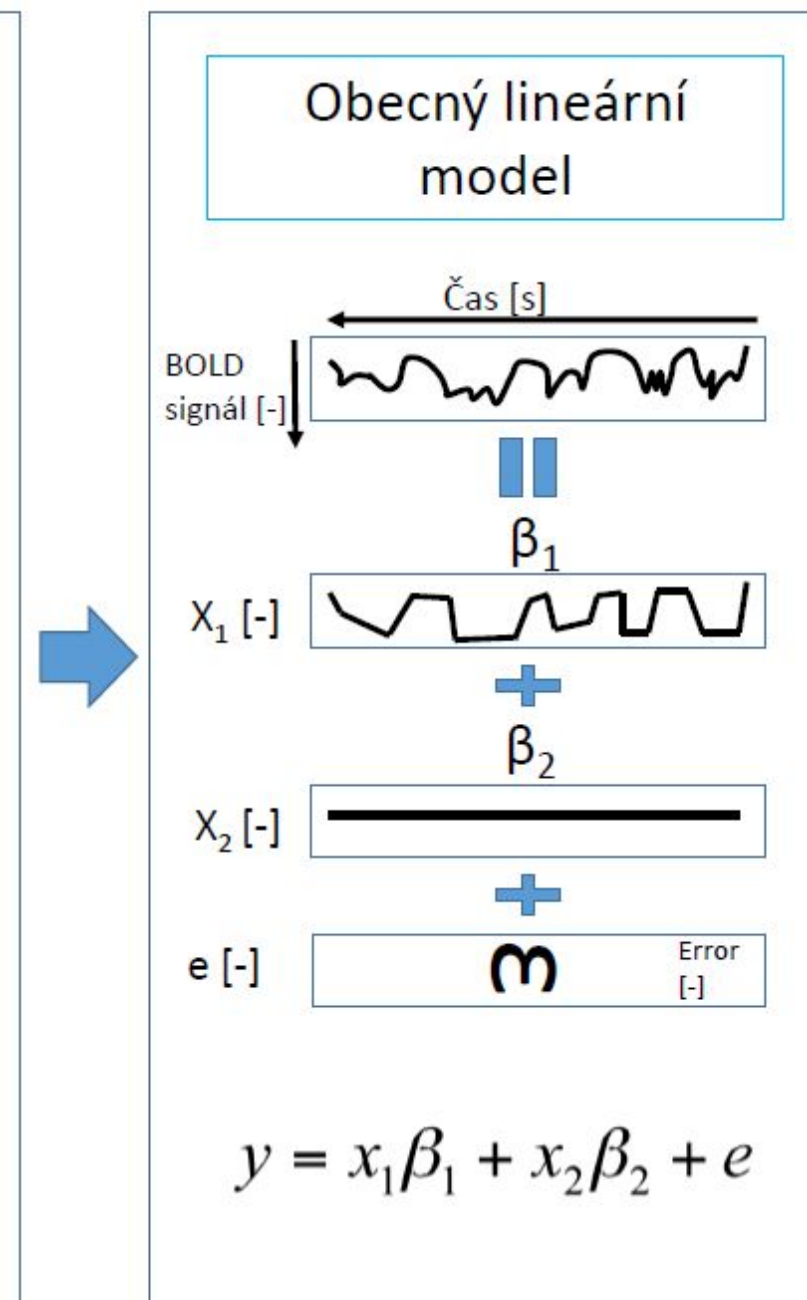
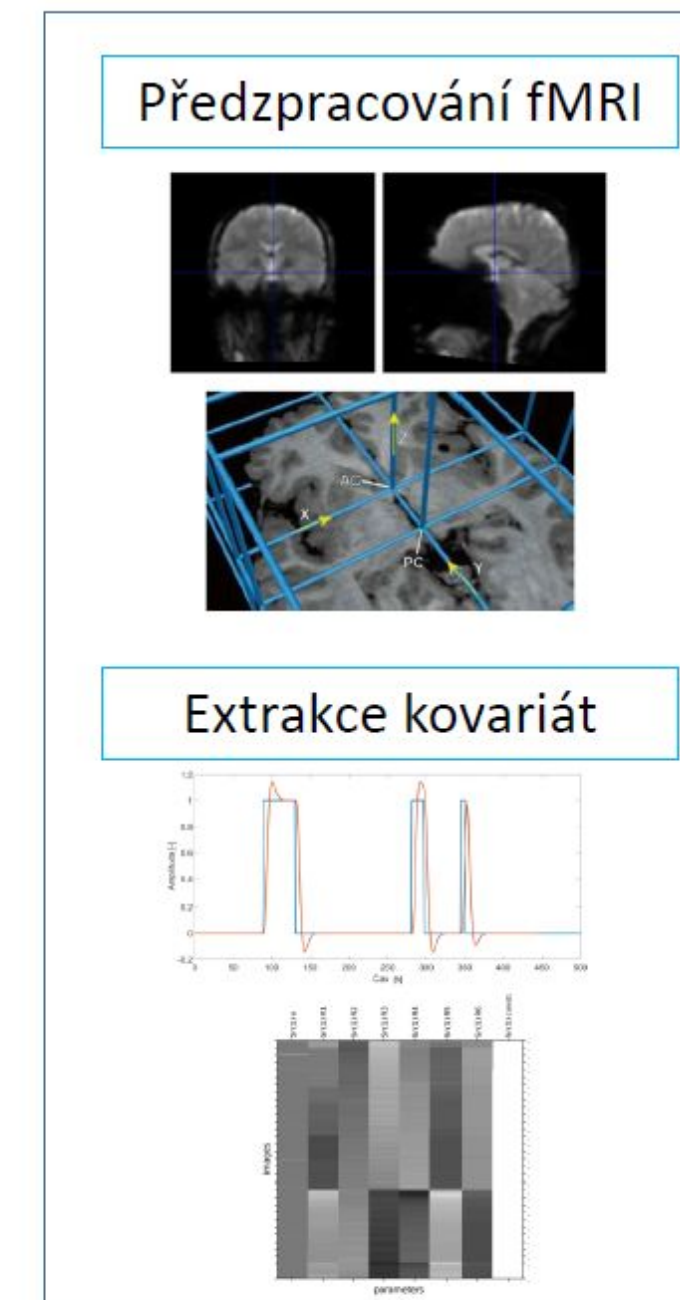
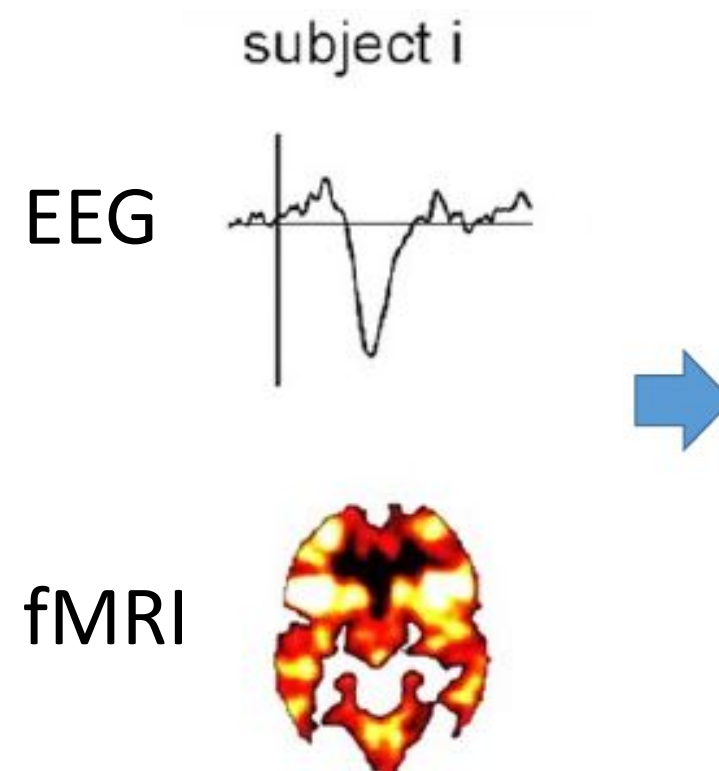
EEG Microstates analysis

- Clustering of EEG into several topographies
- Descriptions/diagnostic?



Simultaneous EEG-fMRI

- High temporal and spatial resolution
- Asymmetric integration
- Artifact removal
- Parameter extraction



Brain Dynamics

Jaroslav Hlinka

COBRA ve tvářích

BMW a COBRA

Jaroslav Hlinka, hlinka@cs.cas.cz

<https://cobra.cs.cas.cz>



You



Antonín Škoch



David Hartman



Jaroslav Hlinka



Pavel Šanda



Tomáš Hampejs Marián Kolenič



Nikola Jajcay



Jan Mareš



Jakub Kopal



You!



Anna Pidnebesna You!



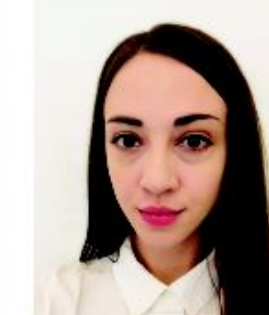
You



Jakub Kořenek



Alberto Perez



Lucia Jajcay



Barbora Bučková



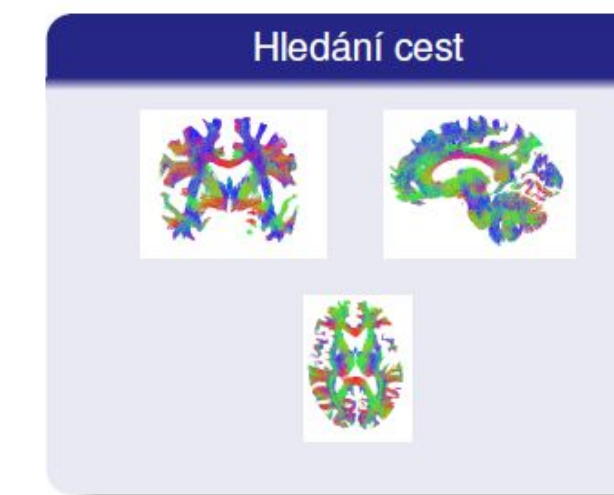
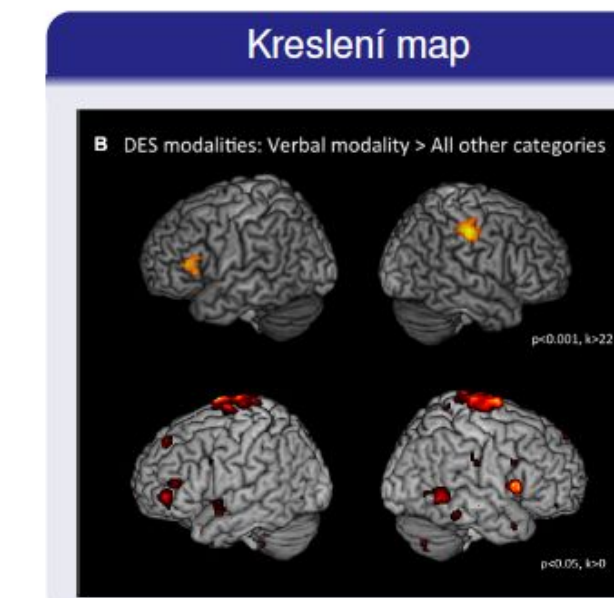
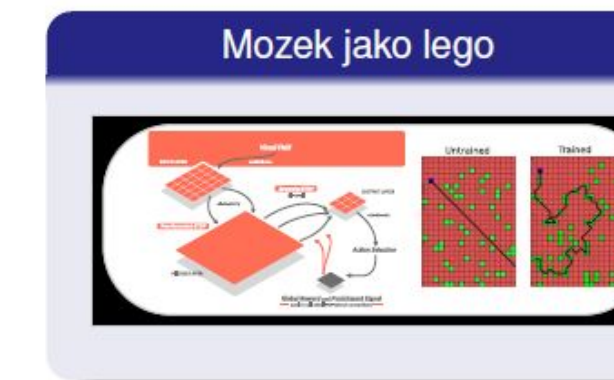
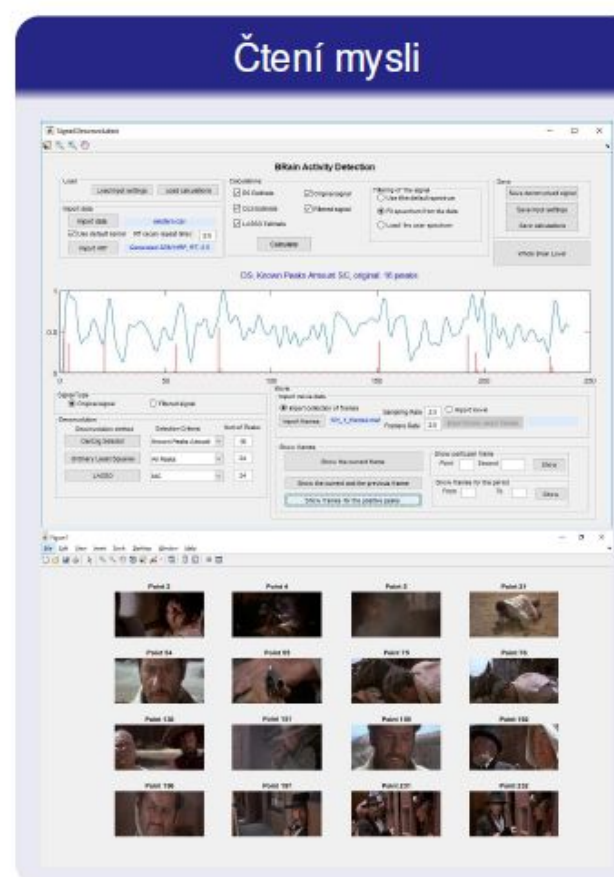
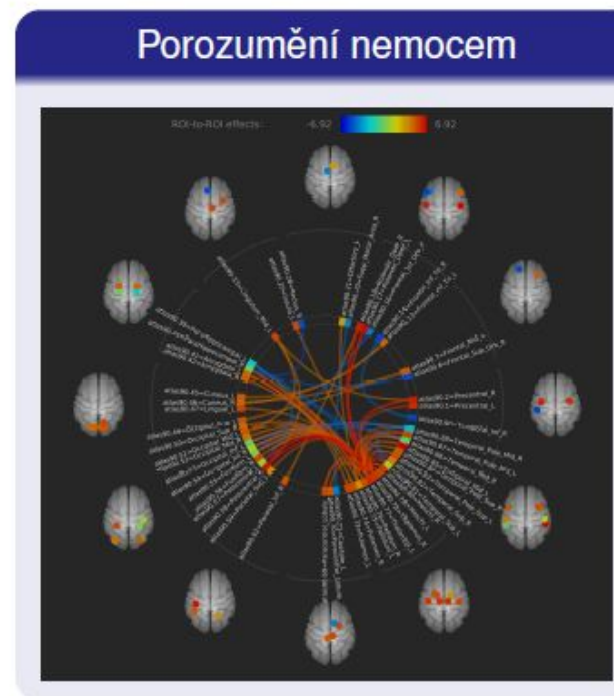
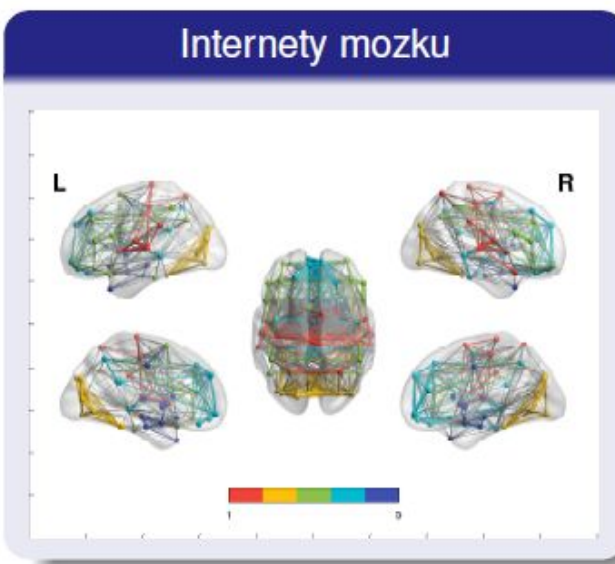
Isa Dallmer-Zerbe Luigi Caputi



Stanislav Jiříček



COBRA v obrazech

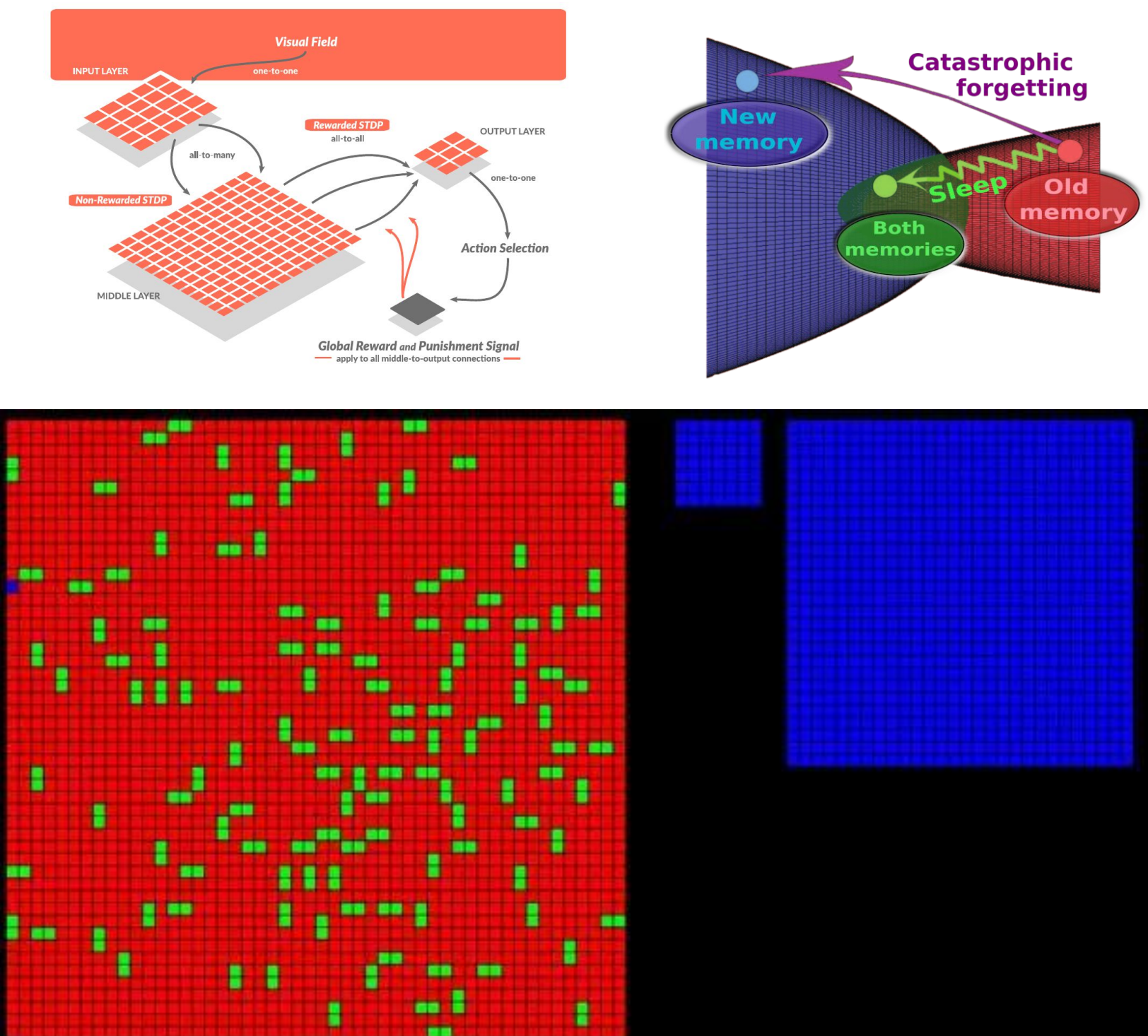


COBRA ve slovech

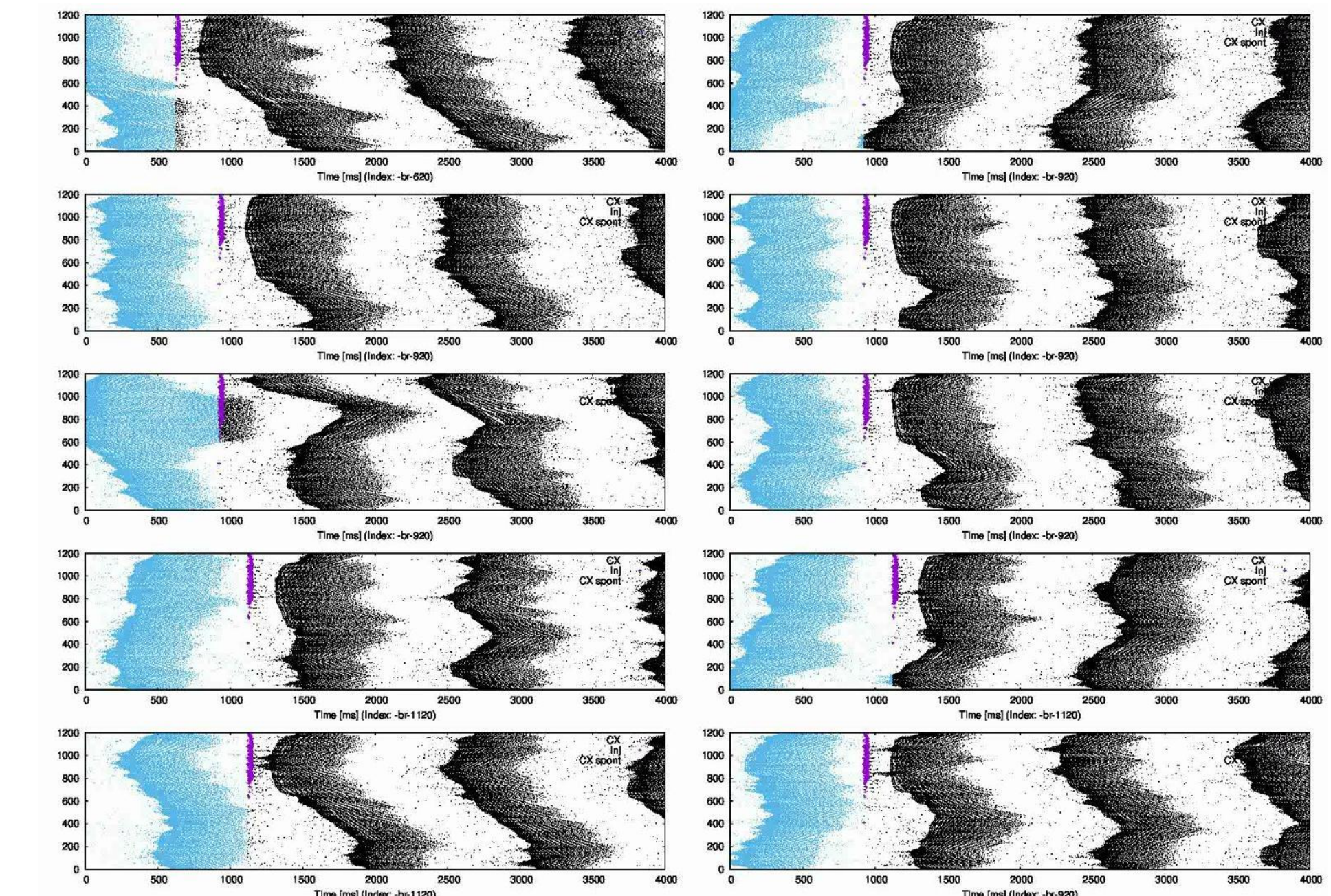
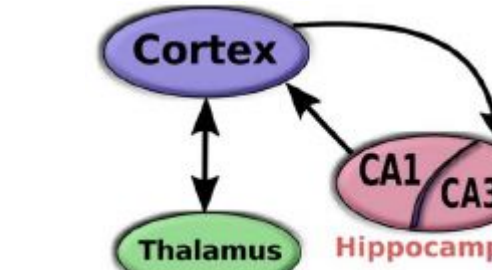
- Brain networks
 - Neuroimaging data analysis (Pidnebesna, Buckova, Jiricek, Jajcay, Dallmer-Zerbe, Kopal, Billings, Jajcay, Jajcay)
 - Brain dynamics modelling (Sanda, Schmidt, Jajcay)
- Causal interaction inference
 - Causality and information flow inference (Korenek, Pidnebesna, Jajcay)
 - Nonlinearity and nonstationarity (Korenek, Tani Raffaeli, Hartman)
- Complex network analysis - development/optimization/**application**
 - Graph theory (Hartman, Korenek, Billings, Jajcay, Cinardi)
 - Machine learning and multivariate statistics (Pidnebesna, Buckova, Jiricek, Jajcay)
 - Application in neuroscience, climate research, economics,
... ALL

COBRA v simulacích

Decision making and memory consolidation

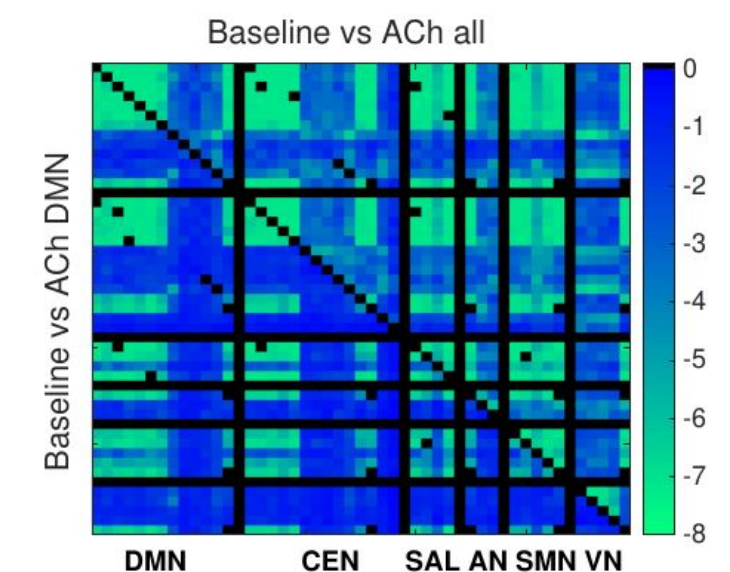
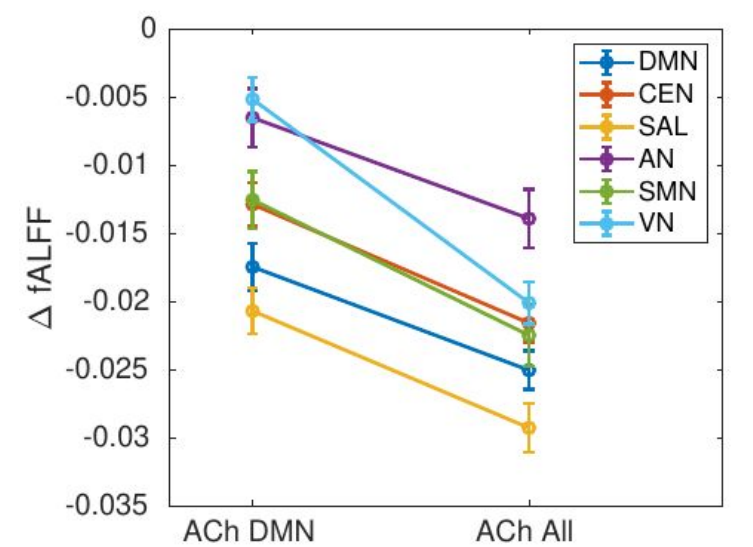
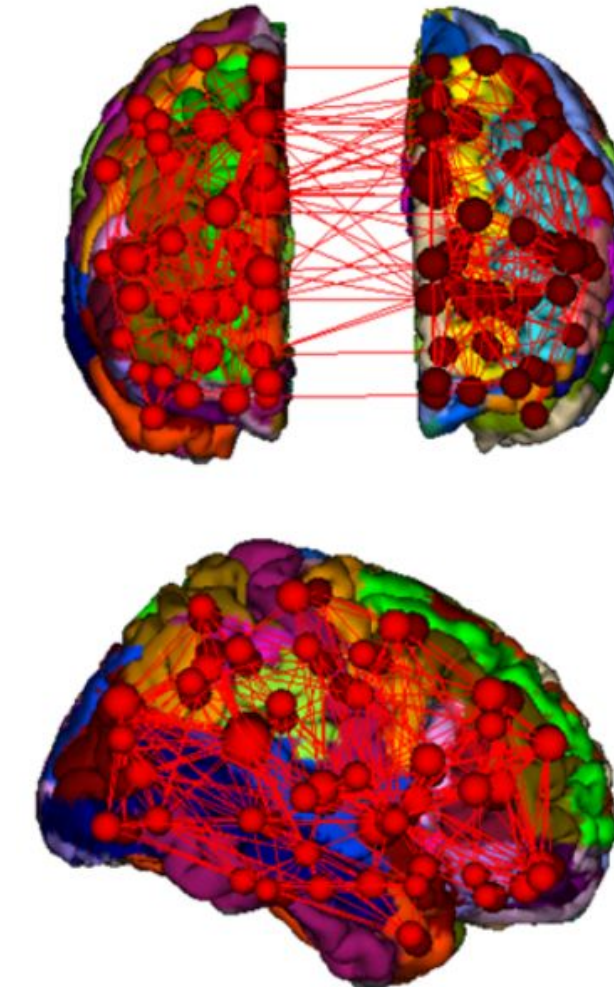
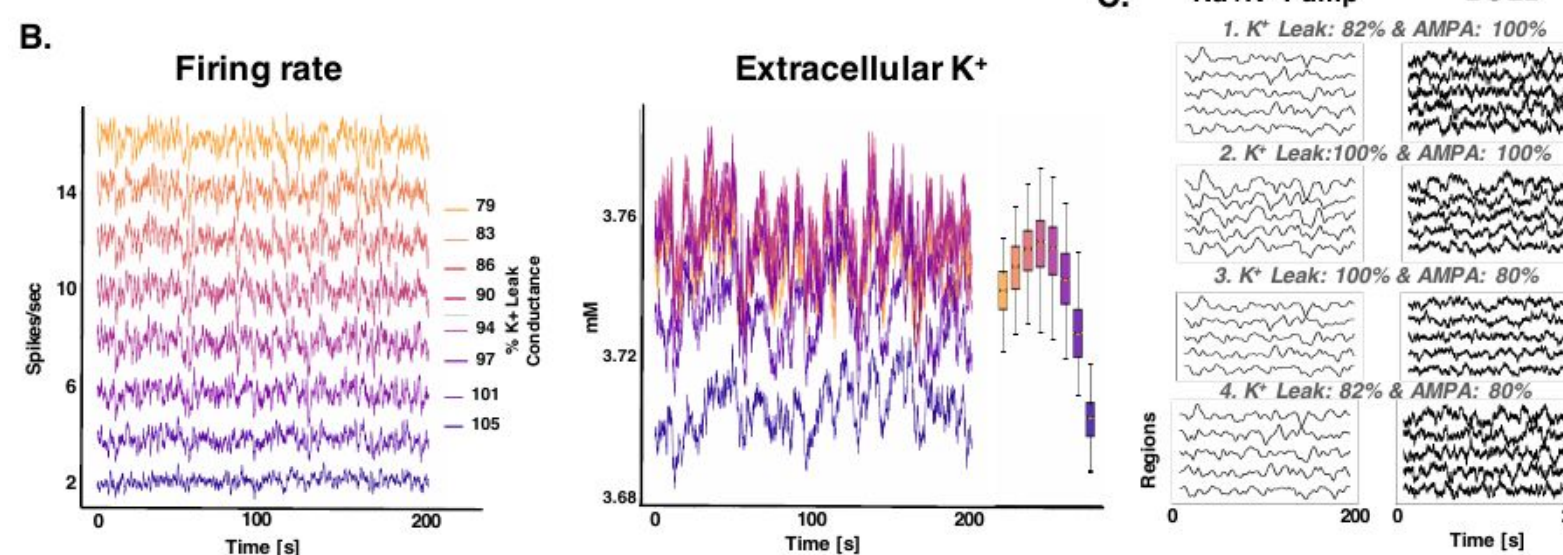
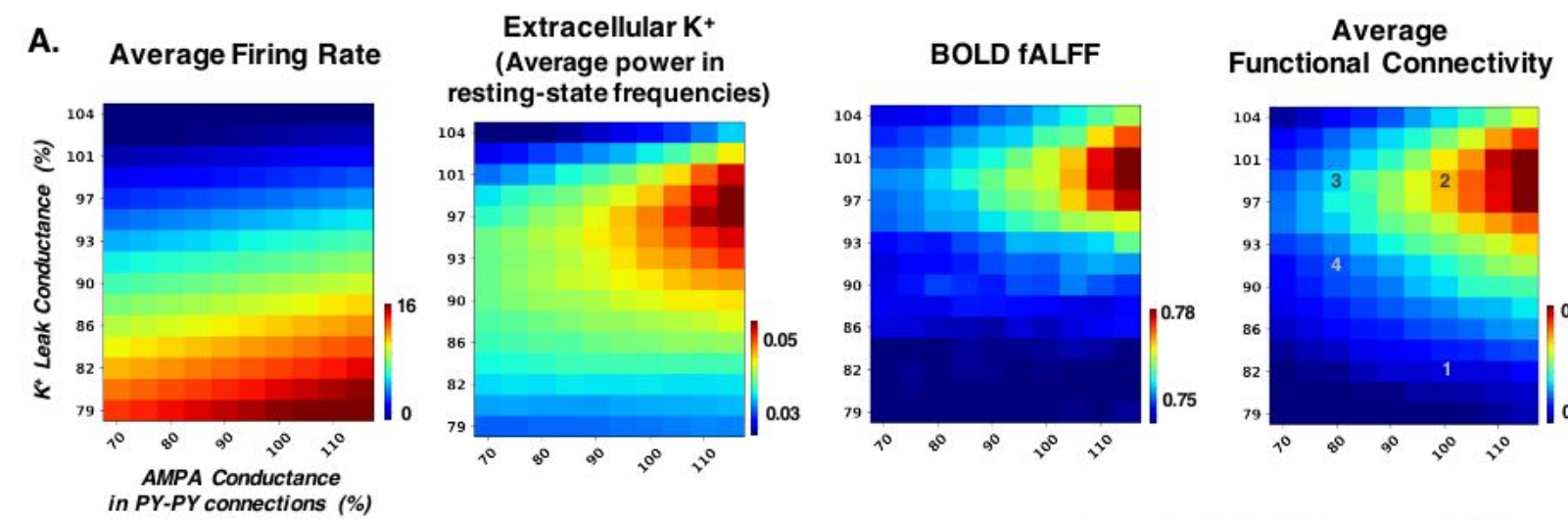
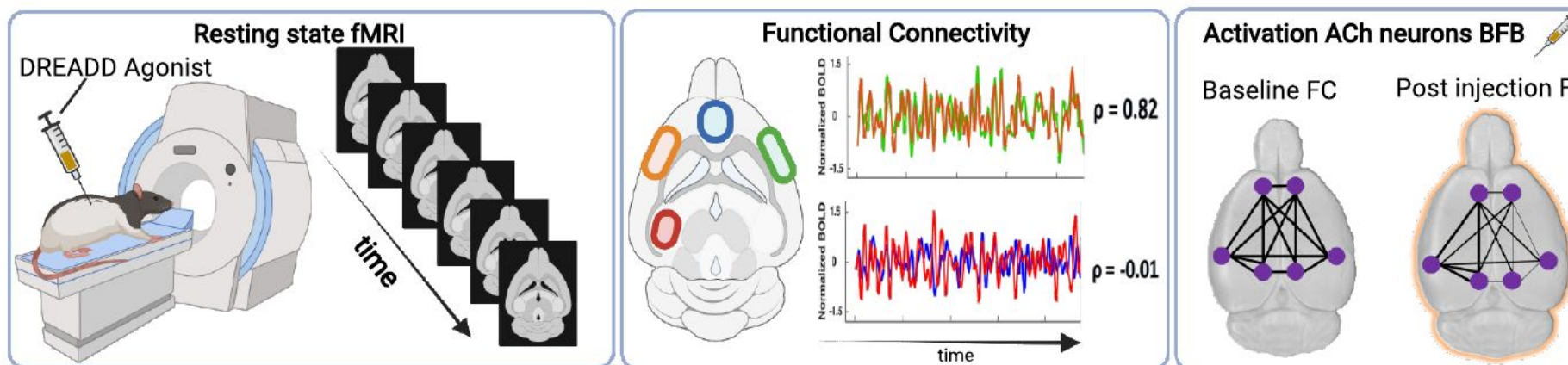


Sleep oscillations



COBRA v MRI a simulacích

Neuromodulation of resting state activity



The background of the slide is a photograph of a modern architectural complex. On the left, a building with a distinctive diagonal glass facade is visible. To its right stands a tall, slender tower topped with a large, spherical antenna or satellite dish. The sky above is filled with scattered, white clouds.

Laboratory Innovation

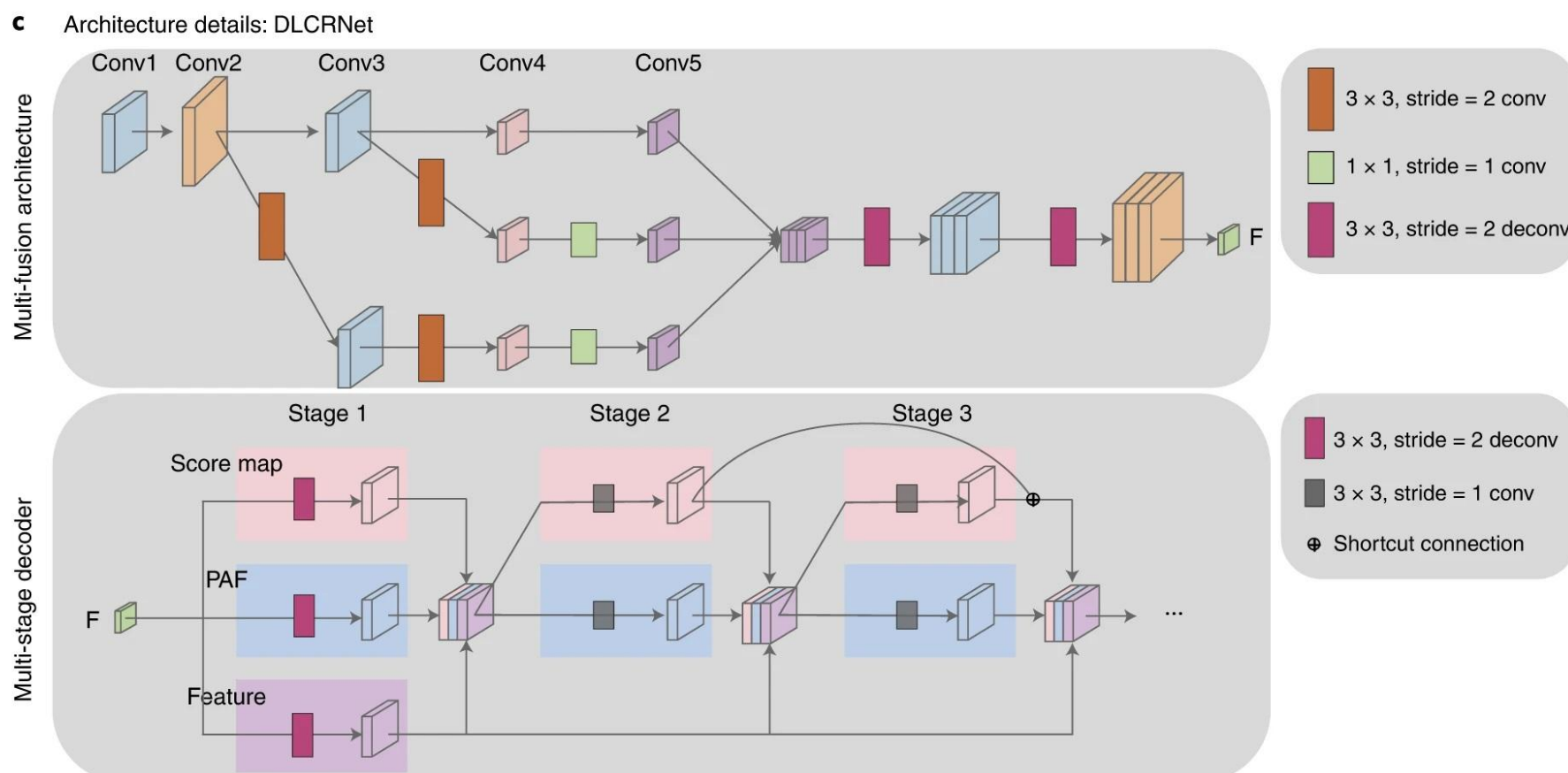
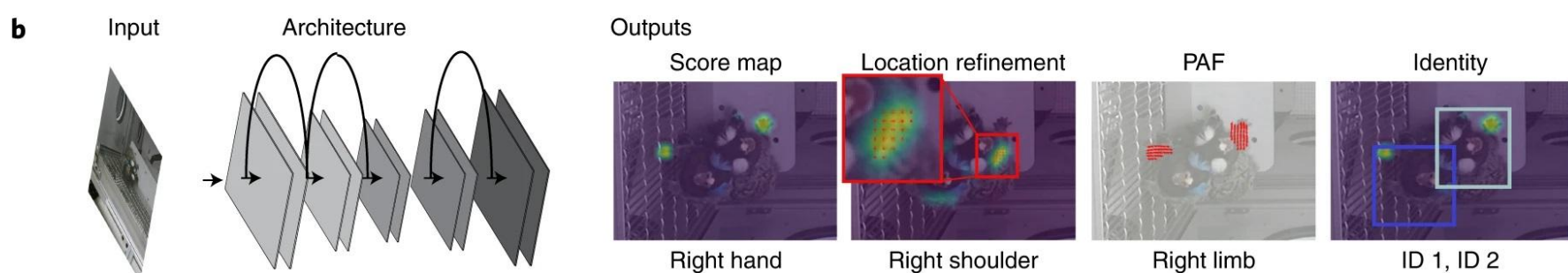
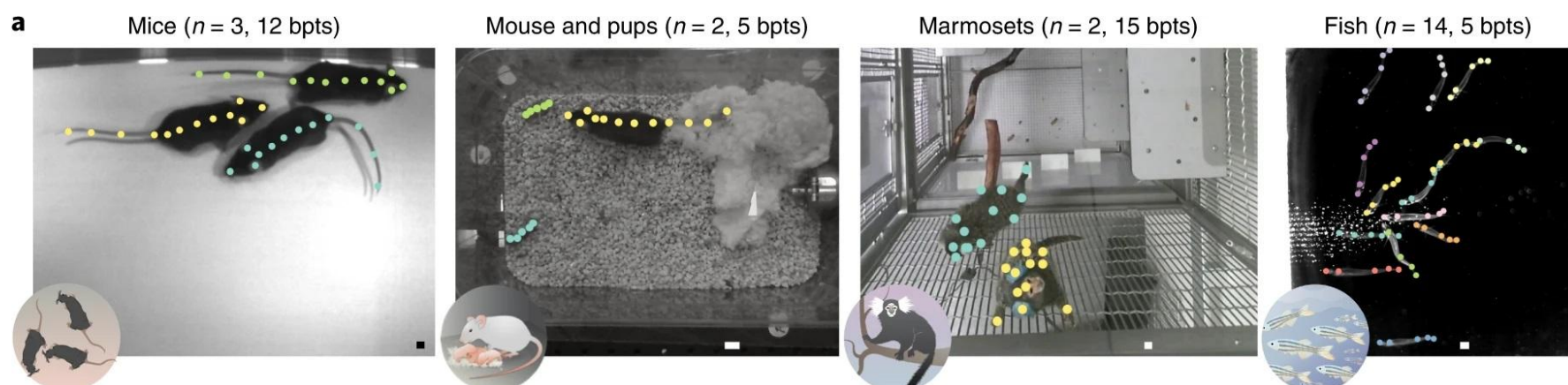
Jan Hubený

Téma 1

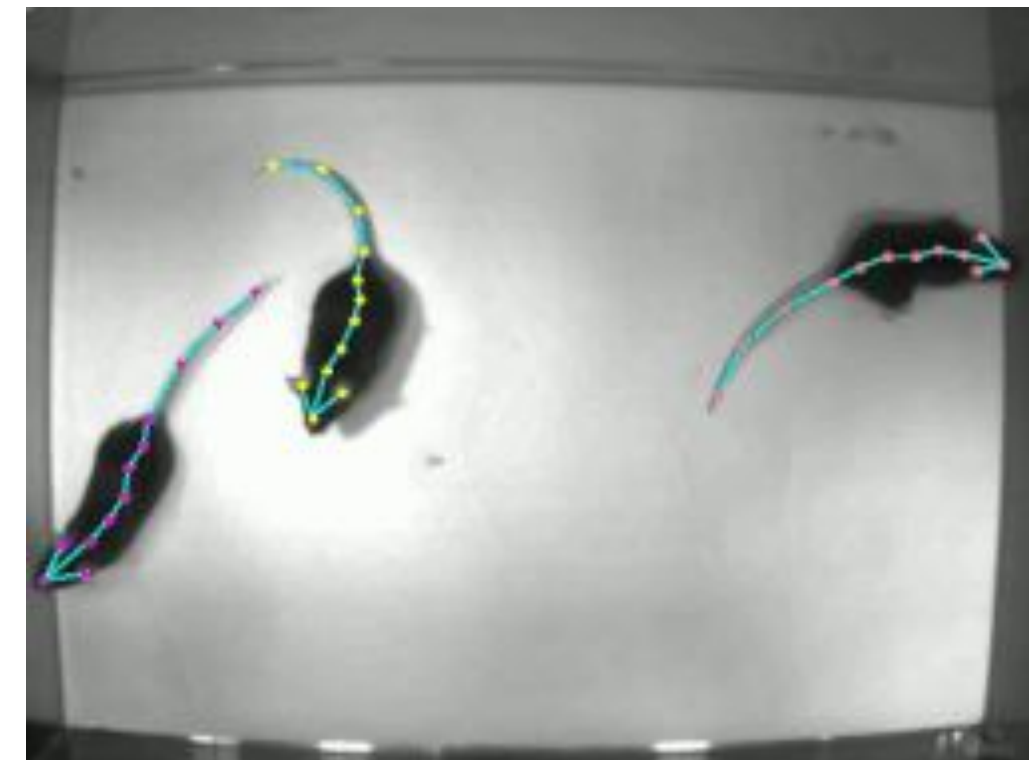
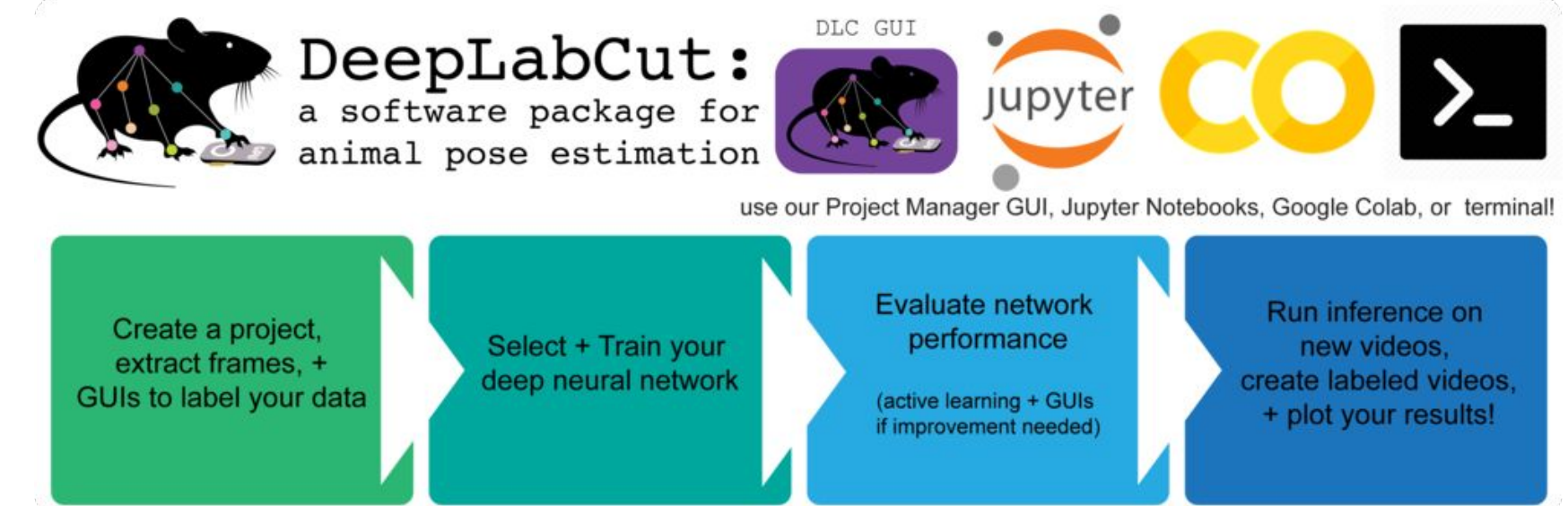
Hodnocení lokomoce potkana/ryby z videozáznamu pomocí open source toolboxu DeepLabCut™

Kvantifikace chování má zásadní význam pro mnoho aplikací v neurovědách, etologii, genetice, medicíně a biologii. Videografie poskytuje snadné metody pro pozorování a záznam chování zvířat v různých prostředích, avšak extrakce určitých aspektů chování pro další analýzu může být časově velmi náročná. DeepLabCut nabízí efektivní metodu pro 3D odhadování polohy bez markerů založenou na učení s hlubokými neuronovými sítěmi, která dosahuje vynikajících výsledků s minimem trénovacích dat (typicky 50-200 snímků). Balíček má otevřený zdrojový kód, je rychlý, robustní a lze jej použít k výpočtu odhadů 3D polohy. Cílem práce je optimalizovat a implementovat DeepLabCut toolbox pro videozáznamy sesbírané v průběhu animálních EEG studií.

1. A. Mathis et al., “DeepLabCut: markerless pose estimation of user-defined body parts with deep learning,” Nat. Neurosci., vol. 21, no. 9, pp. 1281–1289, 2018, doi: 10.1038/s41593-018-0209-y.



Téma 1



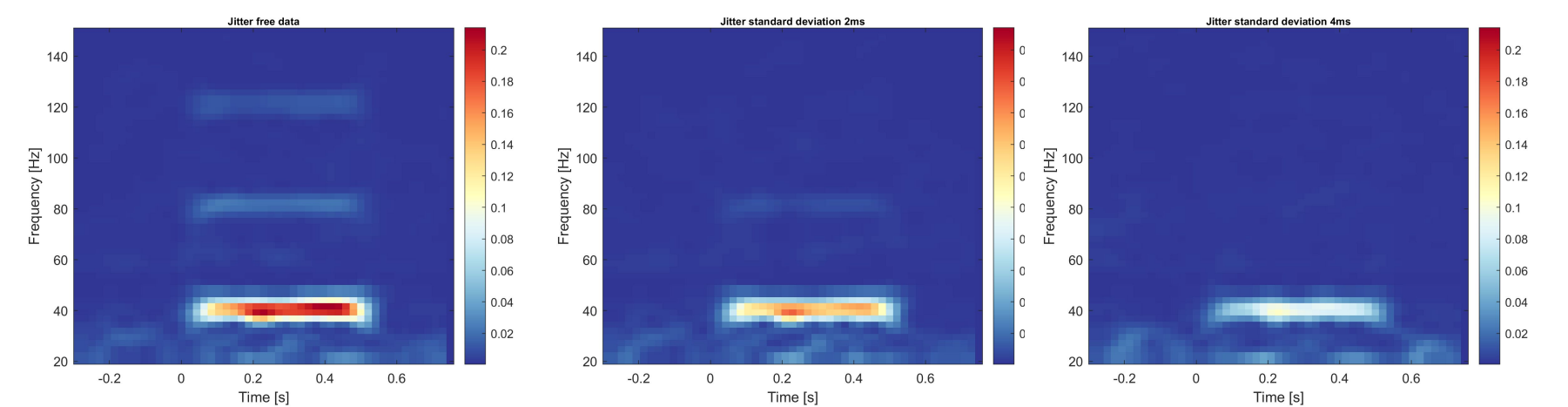
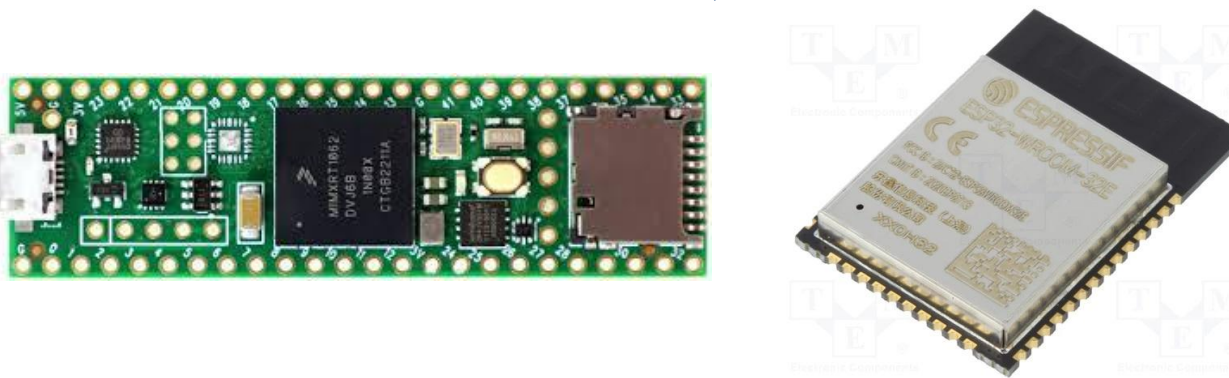
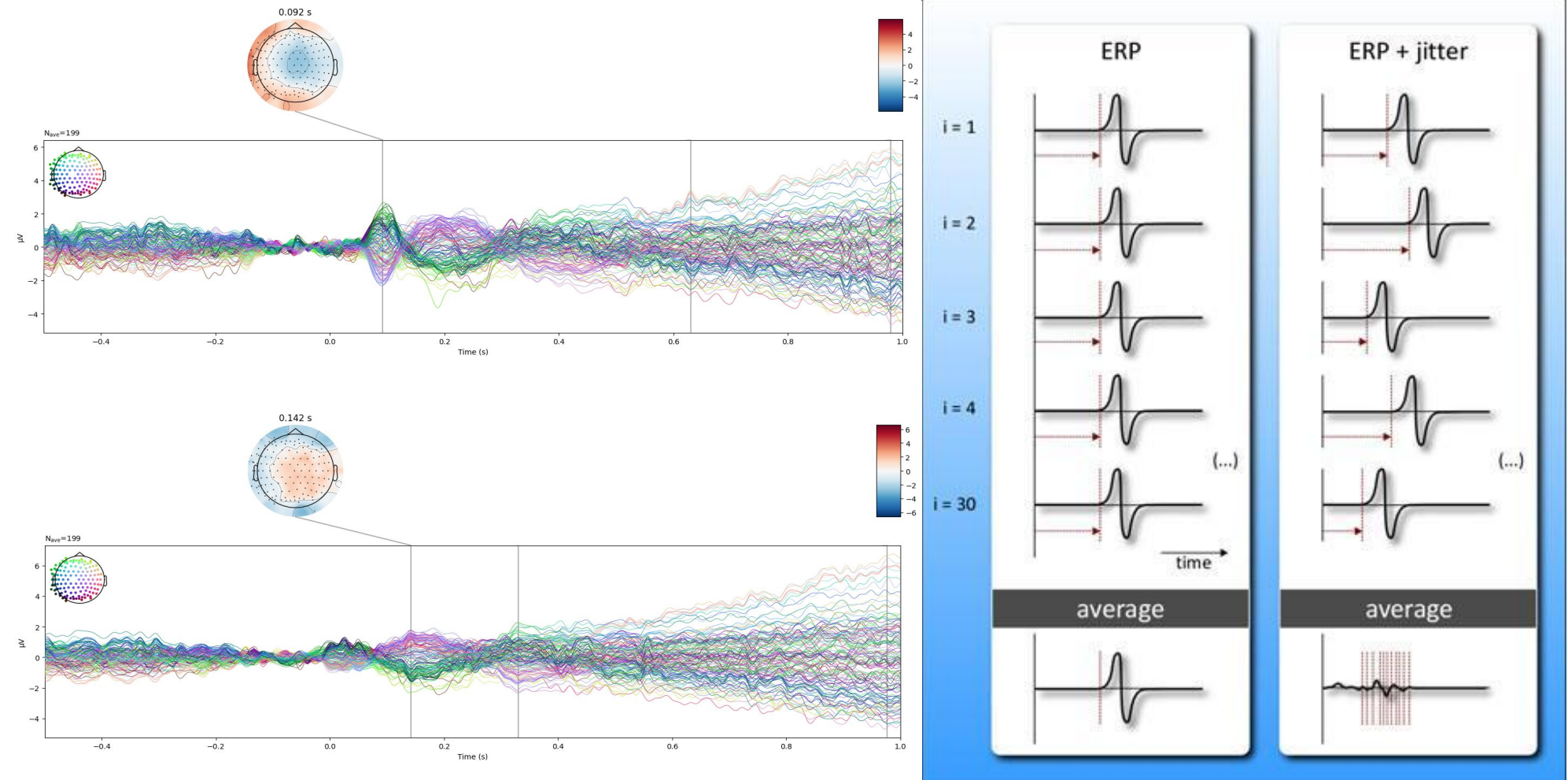
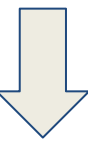
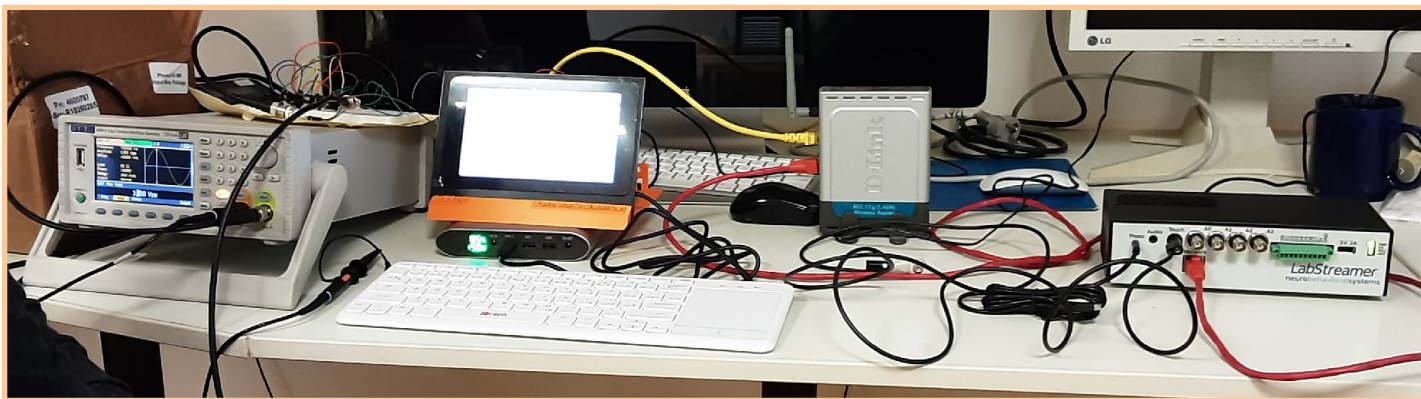
Téma 2

Embedded řešení pro synchronizaci biosignálů metodou lab streaming layer

V současném výzkumu mozku sílí potřeba simultánního nahrávání neurofyziologických a dalších biosignálů signálů v jednom okamžiku. Typickým příkladem může být kombinace signálů EEG, EKG, EMG, EYETRACKER a fMRI. S přibývající složitostí experimentů vzrůstá chyba způsobená nepřesnou synchronizací všech signálů. Lab streaming layer (LSL) protokol je určen k přesné synchronizaci toku různých biosignálů a je založen na fyzické vrstvě ethernet. Cílem bakalářské práce je implementovat LSL protokol na jednočipovou vývojovou desku Teensy 4.1, otestovat synchronizaci za pomocí generátoru, osciloskopu a zařízení LabStreamer a validovat na jednoduchém EEG experimentu na dobrovolníkovi v Národním Ústavu Duševního Zdraví.

1. <https://labstreaminglayer.readthedocs.io/info/intro.html>
2. MOULI, Surej; PALANIAPPAN, Ramaswamy. DIY hybrid SSVEP-P300 LED stimuli for BCI platform using EMOTIV EEG headset. *HardwareX*, 2020, 8: e00113.

Téma 2



Téma 3

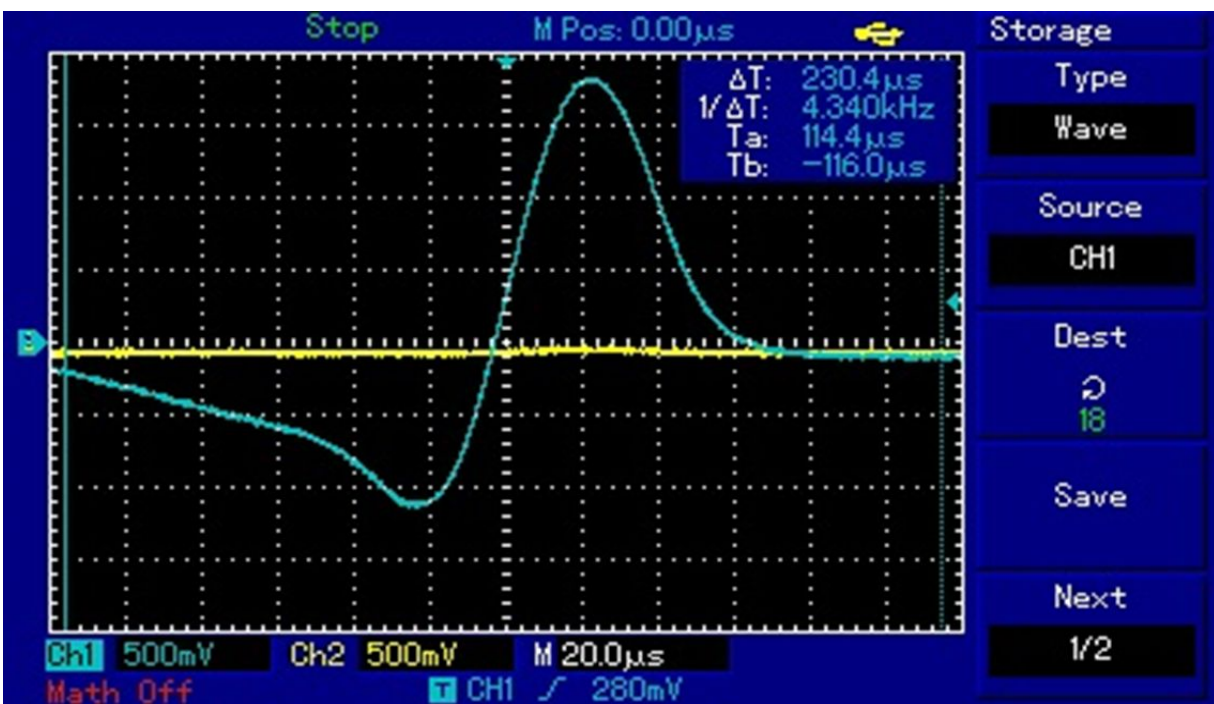
Metody pro zvýšení kvality snímaného signálu EOD u *Gnathonemus petersii* a optimalizace procesu akvizice dat

Gnathonemus petersii se vyznačuje unikátní schopností geneze elektrického signálu EOD (electric organ discharge) za účelem geolokace ale také i komunikace se svým druhem. *Gnathonemus petersii* má potenciál přinést inovační vhled do návrhu a aplikace animálních modelů v kontextu výzkumu duševního zdraví. Cílem práce je stanovit metodiku nahrávání EOD u *Gnathonemus petersii* a navrhnout a implementovat vlastní řešení. Součástí práce je také validace a ověření výsledků se stávající měřící aparaturou.

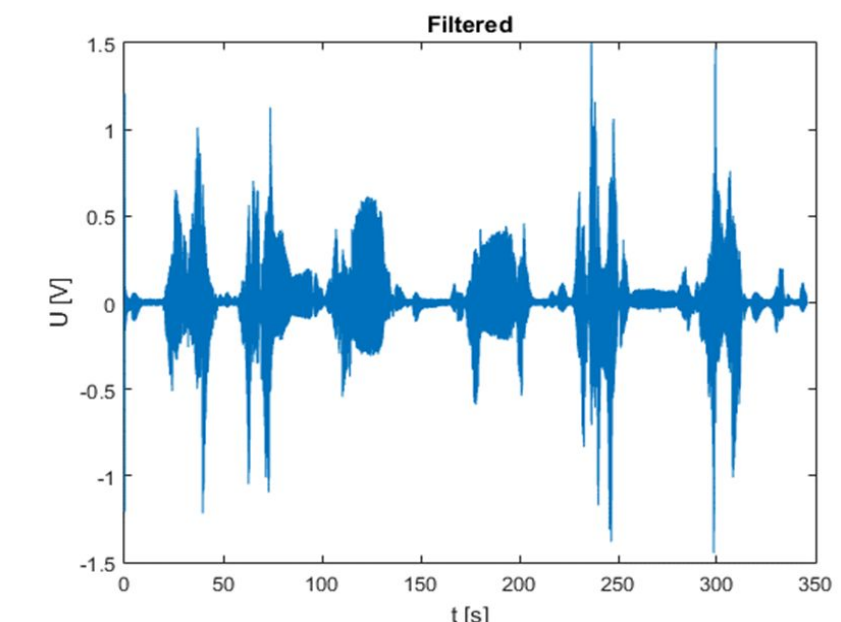
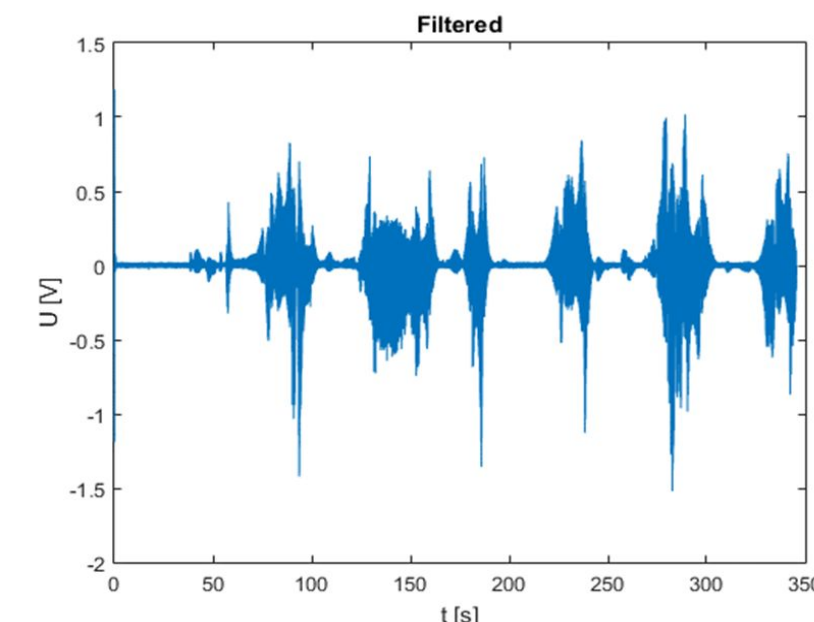
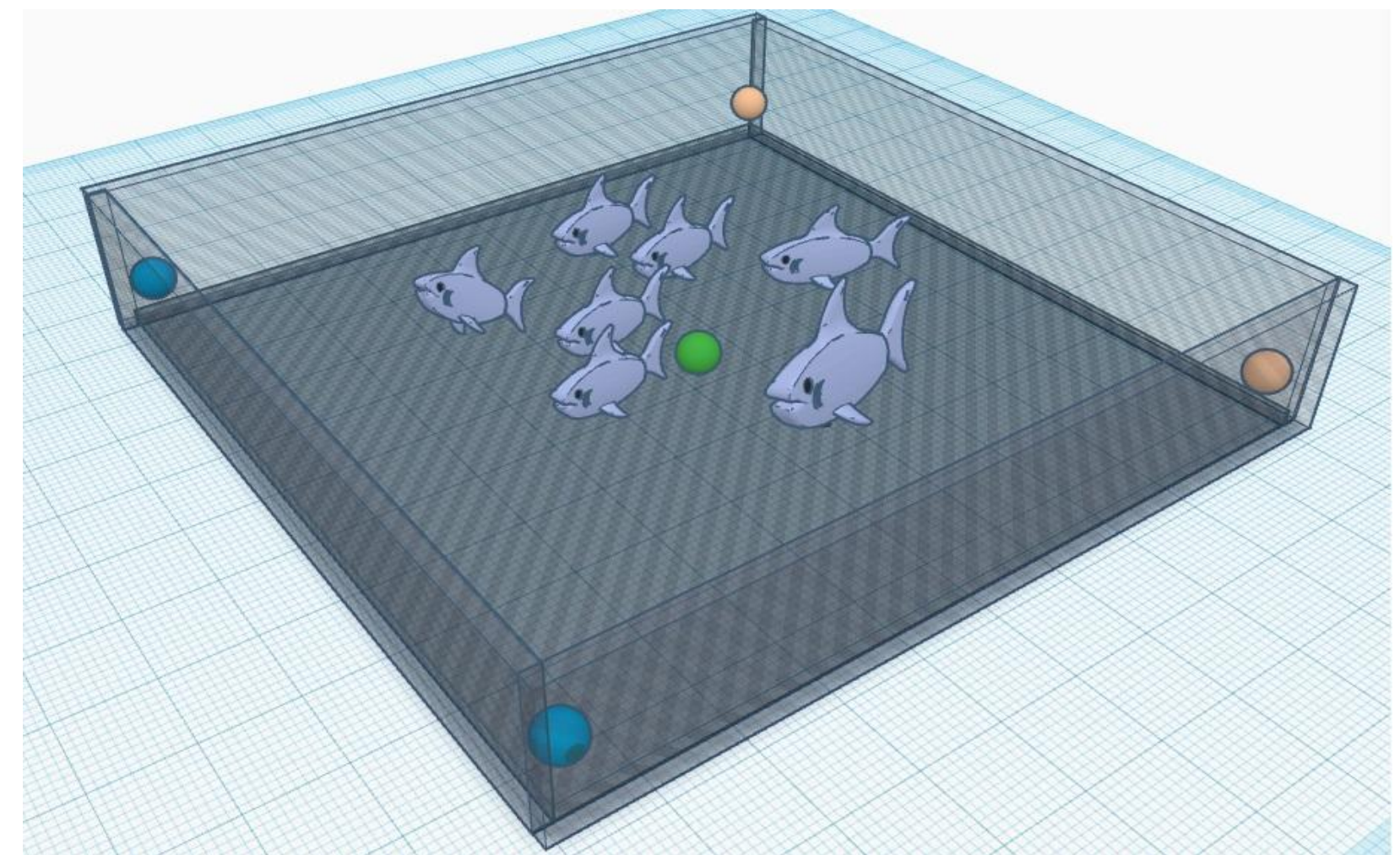
1. Langova, V., Horka, P., Hubeny, J., Novak, T., Vales, K., Adamek, P., Holubova, K., & Horacek, J. (2023). Ketamine disrupts locomotion and electrolocation in a novel model of schizophrenia, *Gnathonemus petersii* fish. *Journal of Neuroscience Research*, 101, 1098–1106. <https://doi.org/10.1002/jnr.25186>
2. Andrea Scapin. Electrocommunication for weakly electric fish. *Inverse Problems and Imaging*, 2020, 14(1): 97-115. doi: [10.3934/ipi.2019065](https://doi.org/10.3934/ipi.2019065)

Existující řešení

- 4 měřící elektrody -> 2 kanály
- 16 bit (kv. krok 0.3 mV), 50Khz, bipolární zapojení
- Synchronizace s videem
- NI USB 6003

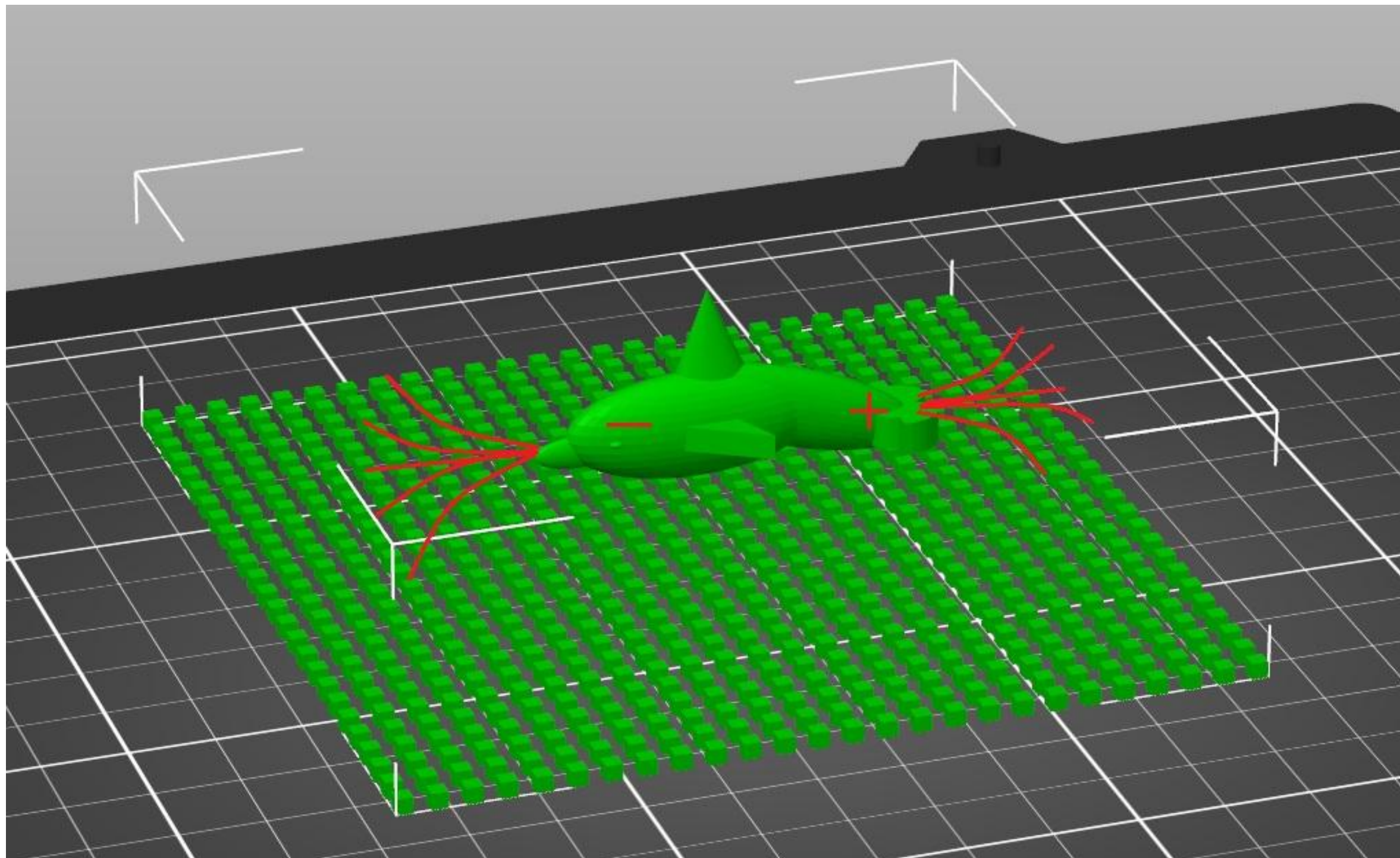


Téma 3



Koncept elektrodového pole

Téma 3



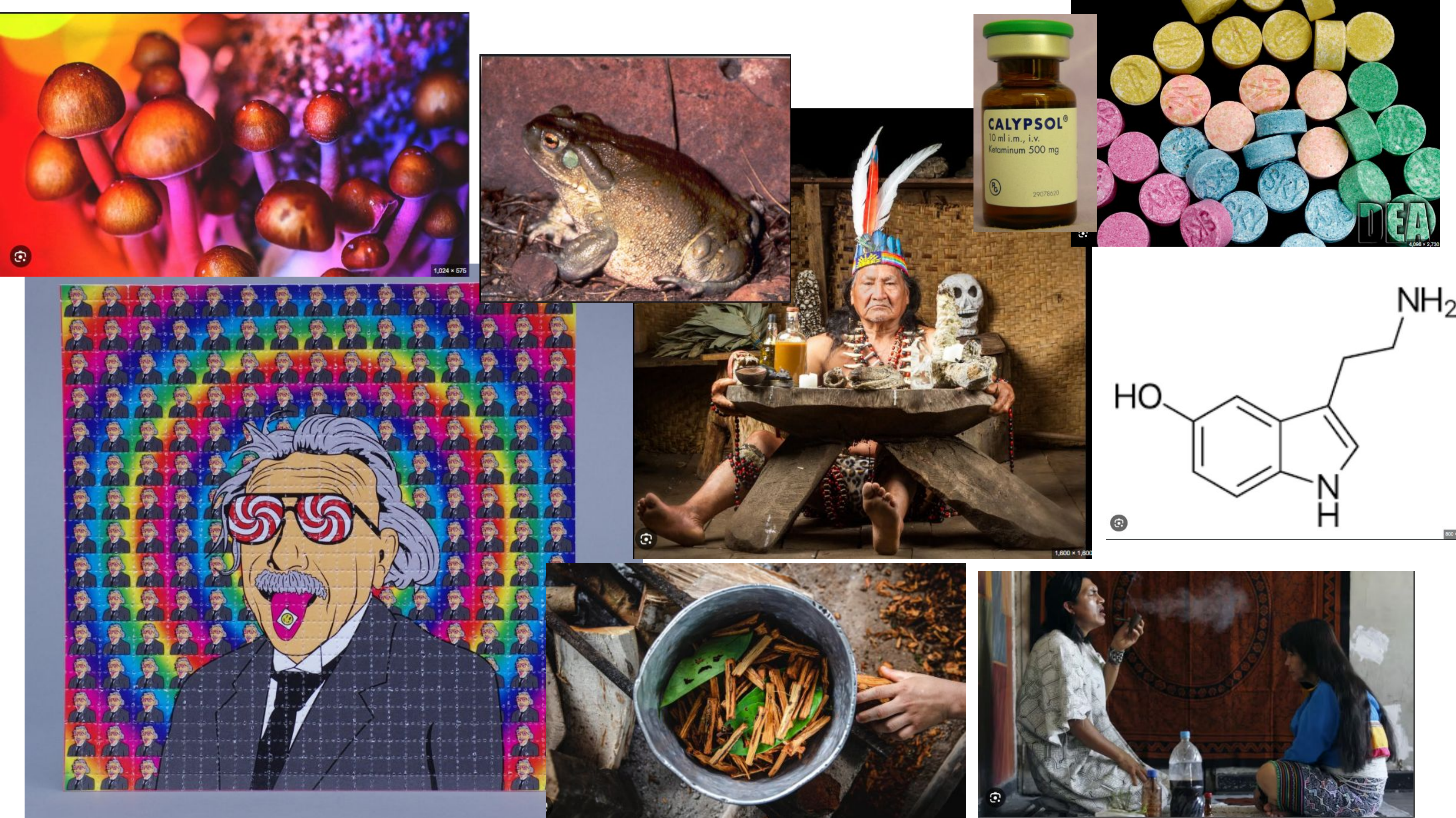
Psychedelics

Marek Nikolić

Téma 1

Multivariátní analýza prediktorů antidepresivní odpovědi na Psychedelika







Alex Grey, Copulation



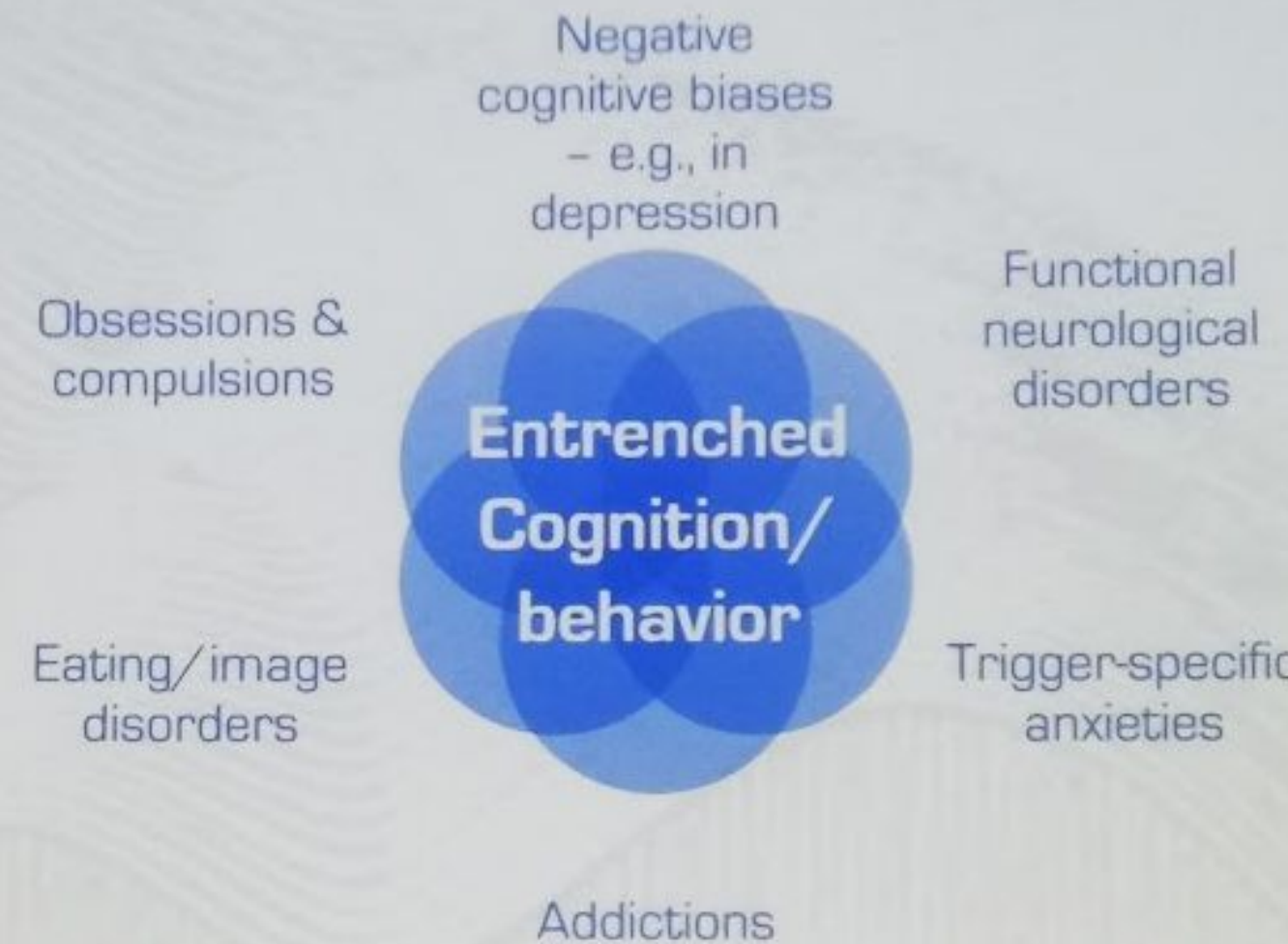


KOMU TÍM PROSPĚJETE, CO?!



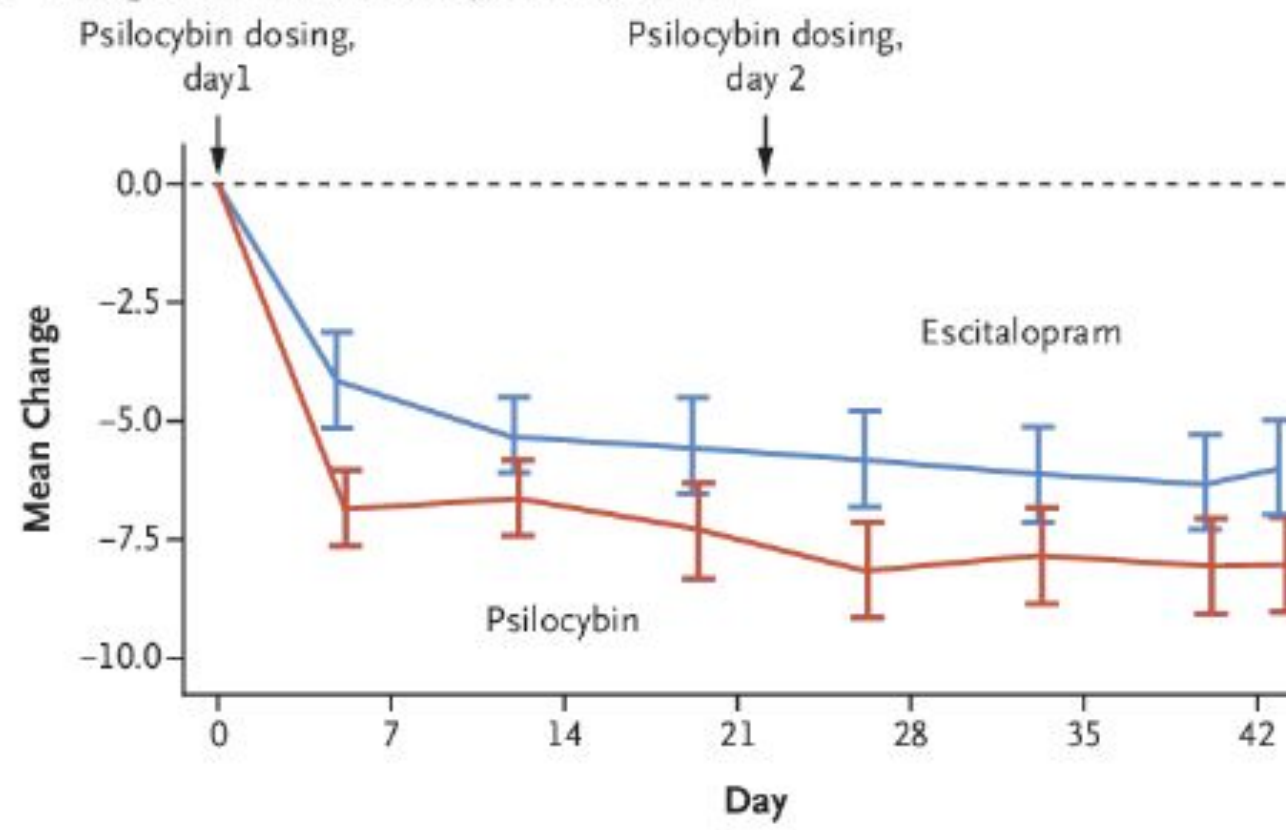
myfilm.com

‘Canalization’ #1 component of psychopathology?

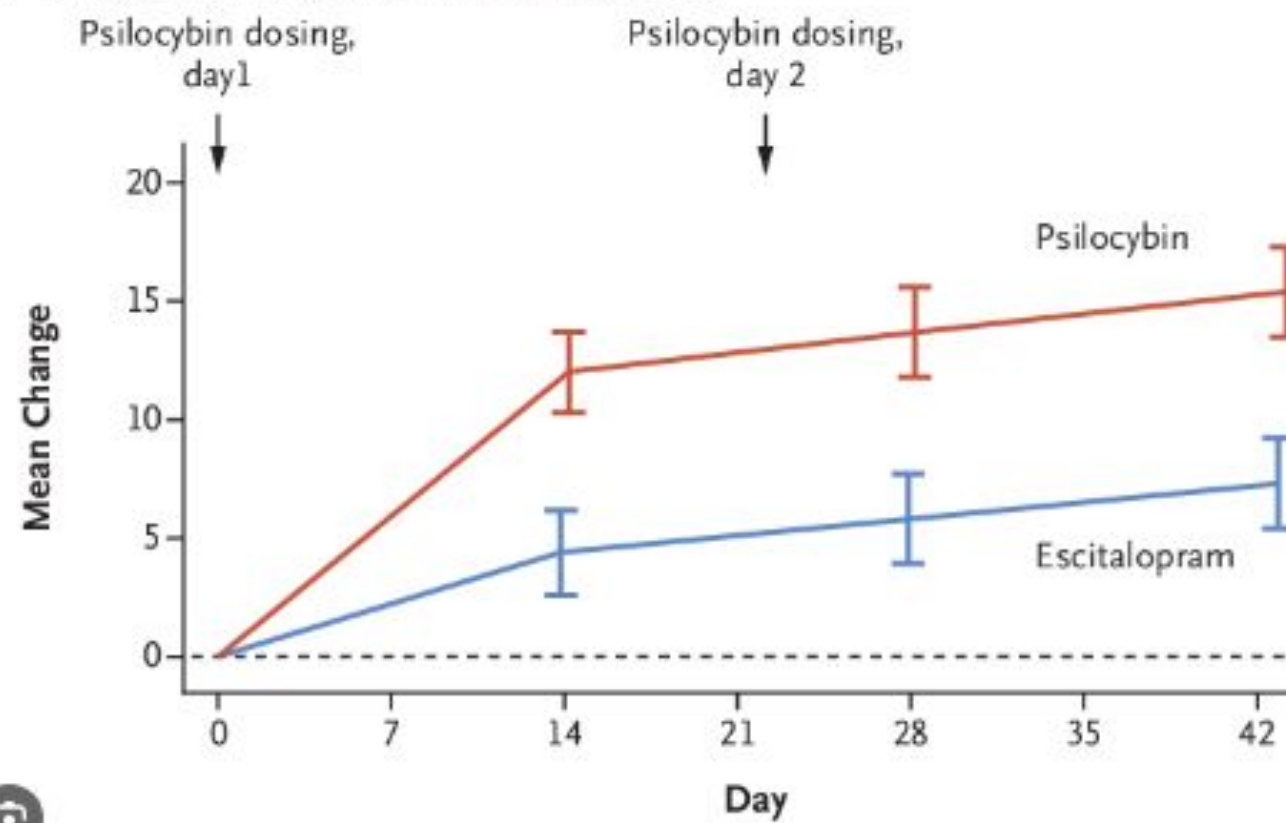


*CH et al. 23 – ‘Canalization & plasticity in psychopathology’. Frontiers in Pharmacology.

A Change from Baseline in QIDS-SR-16 Score



B Change from Baseline in WEMWBS Score



THE NEW ENGLAND JOURNAL OF MEDICINE

Psilocybin versus Escitalopram for Depression

PHASE 2, DOUBLE-BLIND, RANDOMIZED, CONTROLLED TRIAL

59

Adults with
moderate-to-severe
major depressive
disorder

N=30

Change in QIDS-SR-16
depressive symptom
score at 6 wk
(range, 0–27; higher
score = greater depression)

Psilocybin
(two 25-mg doses 3 wk apart)
+
placebo
(microcrystalline cellulose)



Escitalopram
(10 mg daily [3 wk], then 20 mg [3 wk])
+
placebo
(psilocybin, 1-mg doses 3 wk apart)

N=29

-8.0±1.0

-6.0±1.0

Difference, -2.0 points (95% CI, -5.0 to 0.9)

Overall incidence of adverse events was similar in the two groups.

No significant difference between psilocybin and escitalopram in QIDS-SR-16 score change from baseline.

Carhart-Harris et al. 10.1056/NEJMoa2032994

Copyright © 2021 Massachusetts Medical Society

Carhart-Harris, R.L., Giribaldi, B., Watts, R., Baker-Jones, M., Murphy-Beiner, A., Murphy, R., Martell, J., Blemings, A., Erritzoe, D., & Nutt, D.J. (2021). Trial of Psilocybin versus Escitalopram for Depression. *The New England journal of medicine*, 384 (15), 1402-1411.

God: *makes psychedelic plants*
Humans: *make psychedelic plants illegal*
God:





Image from a study of healthy subs treated with psilocybin

Figure 1. Illustrative Example of a Precision Psychiatry Approach

Heterogenous Disorders



Integrate Sources of Data



Symptoms



Circuits



Physiology



Cognition



Labs,
Genetics



Life
Experience

Výhody:

malé N

Noisy data

Spousty dostupných neotestovaných metod a modelů

Black-box modely s limitovanou interpretabilitou

The logo consists of the letters "NU" stacked above "DZ". The "U" has a vertical line extending upwards from its top, and the "D" has a vertical line extending downwards from its top.

NÁRODNÍ ÚSTAV
DUŠEVNÍHO ZDRAVÍ

Děkuji za pozornost

email@nudz.cz